

**UNIVERSIDADE FEDERAL DE PELOTAS**  
**Faculdade de Agronomia Eliseu Maciel**  
**Programa de Pós-Graduação em Ciência e Tecnologia de Alimentos**



**Tese**

Coproduto de *Ilex paraguariensis*: extração de ácidos clorogênicos, encapsulamento, estabilidade e aplicação em bolos

**Bruna Trindade Paim**

Pelotas, 2023.

**Bruna Trindade Paim**

Coproduto de *Ilex paraguariensis*: extração de ácidos clorogênicos, encapsulamento, estabilidade e aplicação em bolos

Tese apresentada ao Programa de Pós-Graduação em Ciência e Tecnologia de Alimentos da Faculdade de Agronomia Eliseu Maciel da Universidade Federal de Pelotas, como requisito parcial à obtenção do título de Doutor em Ciência e Tecnologia de Alimentos.

Orientadora: Prof<sup>a</sup> Dr<sup>a</sup> Adriana Dillenburg Meinhart

Co-orientadores: Prof<sup>a</sup> Dr<sup>a</sup> Vanessa Galli e Prof<sup>a</sup> Dr<sup>a</sup> Vania Zanella Pinto

Pelotas, 2023.

Universidade Federal de Pelotas / Sistema de Bibliotecas  
Catalogação da Publicação

P142c Paim, Bruna Trindade

Coproduto de *Ilex paraguariensis* [recurso eletrônico] : extração de ácidos clorogênicos, encapsulamento, estabilidade e aplicação em bolos / Bruna Trindade Paim ; Adriana Dillenburg Meinhart, orientadora ; Vanessa Galli, Vania Zanella Pinto, coorientadoras. — Pelotas, 2023.  
75 f.

Tese (Doutorado) — Programa de Pós-Graduação em Ciência e Tecnologia de Alimentos, Faculdade de Agronomia Eliseu Maciel, Universidade Federal de Pelotas, 2023.

1. Análise multivariada. 2. Eficiência de encapsulamento. 3. Erva-mate. 4. Preipcitação. 5. Bolos. I. Meinhart, Adriana Dillenburg, orient. II. Galli, Vanessa, coorient. III. Pinto, Vania Zanella, coorient. IV. Título.

CDD 633.77

Elaborada por Ubirajara Buddin Cruz CRB: 10/901

Bruna Trindade Paim

Coproduto de *Ilex paraguariensis*: extração de ácidos clorogênicos, encapsulamento, estabilidade e aplicação em bolos

Tese aprovada, como requisito parcial para obtenção do grau de Doutor em Ciência e Tecnologia de Alimentos, Programa de Pós-Graduação em Ciência e Tecnologia de Alimentos, Faculdade de Agronomia Eliseu Maciel Universidade Federal de Pelotas.

Data da defesa: 28/12/2023.

Banca examinadora:

Prof<sup>a</sup> Dr<sup>a</sup> Adriana Dillenburg Meinhart. Doutora em Ciência de Alimentos pela Universidade Estadual de Campinas.

Prof<sup>a</sup> Dr<sup>a</sup> Vania Zanella Pinto. Doutora em Ciência e Tecnologia de Alimentos pela Universidade Federal de Pelotas.

Prof<sup>a</sup> Dr<sup>a</sup> Elessandra da Rosa Zavareze. Doutadora em Engenharia e Ciência de Alimentos pela Universidade Federal do Rio Grande.

Prof. Dr Alexandre Lorini. . Doutor em Ciência e Tecnologia de Alimentos pela Universidade Federal de Pelotas.

Prof. Dr Milton de Jesus Filho. Doutor em Ciência de Alimentos pela Universidade Estadual de Campinas.

Dr<sup>a</sup> Sílvia Leticia Rivero Meza. Doutora em Ciências dos Alimentos pela Universidade de São Paulo.

## Agradecimentos

À Universidade Federal de Pelotas e ao Programa de Pós-Graduação em Ciência e Tecnologia de Alimentos, pela oportunidade de realização do mestrado.

À Prof<sup>a</sup> Dr<sup>a</sup> Adriana Dillenburg Meinhart, pelos ensinamentos e contribuições que foram fundamentais para que esse caminho fosse trilhado. Agradeço a orientação e atenção durante todas as etapas de execução do projeto, fazendo com que eu me tornasse uma profissional e pesquisadora melhor. Além de me receber em sua casa com a sua família.

À Prof<sup>a</sup> Dr<sup>a</sup> Vanessa Galli, por todos ensinamentos compartilhados.

À Prof<sup>a</sup> Dr<sup>a</sup> Vania Zanella Pinto, por me abrir as portas da sua casa, por disponibilizar seu conhecimento e laboratório para o desenvolvimento da pesquisa, tornando a jornada incrível.

Aos membros da banca examinadora, pela disponibilidade em avaliar, sugerir e contribuir para o engrandecimento desse trabalho.

Aos meus pais, em especial minha mãe Jaqueline e meu padrasto Nelcy, por estarem sempre ao meu lado, dando apoio e suporte para que eu conquiste meus sonhos. Obrigada pelo amor, carinho e dedicação para comigo. Amo vocês!

Aos meus irmãos Renan e Dimitri, por sempre me incentivar e vibrar junto com minhas conquistas.

Ao meu marido Pedro, pelo carinho e compreensão nos momentos mais difíceis da jornada, obrigada por entender minhas ausências e por me encorajar a seguir, mesmo distante se fazendo presente todos os dias, te amo!

À toda minha querida família, em especial *In memoriam* a minha amada avó Branca.

Aos colegas e amigos de laboratório, em especial Laura, Yasmin e Thamyres, por me ajudarem sempre que necessário e por tornarem os dias na bancada melhores.

Aos meus colegas de grupo, por cada meme, cada risada no dia, por casa louça lavada, por compartilhar os momentos de trabalho comigo, minha gratidão.

À CAPES, pelo apoio financeiro à pesquisa (Fonte de recursos 01) e bolsa de doutorado, à Associação dos Produtores de Erva Mate de Machadinho (APROMATE), à Barão Comércio e Indústria de Erva Mate LTDA pelo fornecimento de amostras à Fundação de Amparo à Pesquisa do Estado do Rio Grande do Sul (PQ Gaúcho 192551-0001637-9). A Universidade Federal da Fronteira Sul (Campos Laranjeiras do Sul), bem como a Universidade de São Paulo (Campus Piracicaba), pelas parcerias durante a realização do trabalho.

Esse trabalho aconteceu em grupo e com ajuda de diversas pessoas as quais eu tenho imenso agradecimento, laboratórios das universidades parceiras, familiares dos professores, amigos, me auxiliaram de diversas formas a chegar aqui.

Obrigada a todos que, de alguma forma, fizeram parte deste caminho percorrido e torceram por mim.

*“Se não houver frutos, valeu a beleza das flores; se não houver flores, valeu a sombra das folhas; se não houver folhas, valeu a intenção da semente”*- **Henfil**

## Resumo

PAIM, Bruna Trindade. Coproduto de *Ilex paraguariensis*: extração de ácidos clorogênicos, encapsulamento, estabilidade e aplicação em bolas. Orientadora: Adriana Dillenburg Meinhart. 2023. 75f.Tese (Doutorado em Ciência e Tecnologia de Alimentos) – Faculdade de Agronomia Eliseu Maciel, Universidade Federal de Pelotas, Pelotas, 2023.

Na colheita de *Ilex paraguariensis* são gerados resíduos agrícolas (talos grossos descartados durante a poda de colheita), os quais atualmente são depositados no solo. A parte externa deste resíduo (aqui denominado de coproduto de *Ilex paraguariensis* - IPC) tem elevada concentração de ácidos clorogênicos, mas ainda não é explorado comercialmente. Mostramos que é possível otimizar a extração de ácidos clorogênicos (17 min (-0,46), 82 °C (1,47) e 0,58 g de coproduto de *Ilex paraguariensis* (-0,09),) de IPC e encapsular o mesmo, pela técnica de precipitação antissolvente (zeína (1,36 g) gotejada (18,14mL/h ) sobre água sob agitação (4 rpm)) e spray-drying (10,1 vazão de alimentação (mL/h); 118,1 temperatura de entrada (°C); 86,8 quantidade de extrato adicionadas no polímero carreador (v/v)), obtendo extratos encapsulados com elevada eficiência de encapsulamento e melhor resistência térmica quando comparado ao extrato livre. Para tanto, três planejamentos multivariados 2<sup>3</sup> completos foram utilizados para encontrar as condições ótimas de extração e de encapsulamento. Os extratos apresentaram concentração de 10,16 g ácidos clorogênicos por 100 g de IPC e baixa toxicidade em modelos *in vivo* de *Galleria mellonella*. Os mesmos foram encapsulados por precipitação antissolvente com 94% de eficiência de encapsulamento e estabilidade térmica até 357,5 °C. Através da técnica de spray-drying foram obtidos encapsulados com 75,2% de eficiência de encapsulamento e estabilidade térmica até 338,1°C. A eficiência de carregamento foi superior pela técnica de spray-drying, enquanto o tempo para obtenção dos encapsulados foi menor. Por isso, os encapsulados obtidos por spray-drying foram escolhidos para aplicação em produtos forneados. Quando as cápsulas foram aplicadas em produtos forneados foram preservados 94% dos ácidos clorogênicos. Os métodos de extração e encapsulamento são simples e de fácil ampliação para escala industrial. Considerando a quantidade de ácidos clorogênicos extraídos do IPC e a resistência térmica das cápsulas em temperaturas de forneamento, os resultados do presente estudo evidenciam alta viabilidade para a incorporação do extrato de

IPC em alimentos e melhorar a qualidade funcional da dieta.

**Palavras-chave:** Análise multivariada, eficiência de encapsulamento, erva-mate, preipcitação, bolos.

## Abstract

PAIM, Bruna Trindade. *Ilex paraguariensis* co-product: extraction of chlorogenic acids, encapsulation, stability and application in cakes. Advisor: Adriana Dillenburg Meinhart. 2023. 75f.Thesis (Doctorate in Food Science and Technology) – Faculty of Agronomy Eliseu Maciel, Federal University of Pelotas, Pelotas, 2023.

When harvesting *Ilex paraguariensis*, agricultural residues are generated (thick stalks discarded during harvest pruning), which are currently deposited in the soil. The external part of this residue (here called *Ilex paraguariensis* co-product - IPC) has a high concentration of chlorogenic acids, but it is not yet commercially exploited. We show that it is possible to optimize the extraction of chlorogenic acids (17 min (-0.46), 82 °C (1.47) and 0.58 g of *Ilex paraguariensis* coproduct (-0.09),) from IPC and encapsulate the same, using the anti-solvent precipitation technique (zein (1.36 g) dripped (18.14mL/h) onto water under stirring (4 rpm)) and spray-drying (10.1 feed flow rate (mL/h); 118.1 inlet temperature (°C); 86.8 amount of extract added to the carrier polymer (v/v)), obtaining encapsulated extracts with high encapsulation efficiency and better thermal resistance when compared to the free extract. To this end, three complete 2<sup>3</sup> multivariate plans were used to find the optimal extraction and encapsulation conditions. The extracts had a concentration of 10.16 g chlorogenic acids per 100 g of IPC and low toxicity in in vivo models of *Galleria mellonella*. They were encapsulated by anti-solvent precipitation with 94% encapsulation efficiency and thermal stability up to 357.5 °C. Using the spray-drying technique, encapsulates were obtained with 75.2% encapsulation efficiency and thermal stability up to 338.1°C. The loading efficiency was higher using the spray-drying technique, while the time to obtain the encapsulates was shorter. Therefore, the encapsulates obtained by spray-drying were chosen for application in baked products. When the capsules were applied to baked products, 94% of the chlorogenic acids were preserved. The extraction and encapsulation methods are simple and easy to scale up to an industrial scale. Considering the amount of chlorogenic acids extracted from IPC and the thermal resistance of the capsules at baking temperatures, the results of the present study show high feasibility for incorporating the IPC extract into foods and improving the functional quality of the diet.

**Keywords:** Multivariate analysis, encapsulation efficiency, yerba mate, precipitation, cakes.

## **Sumário**

|   |    |
|---|----|
| <b>1.INTRODUÇÃO.....</b>                          | 13 |
| <b>2 REVISÃO DE LITERATURA.....</b>               | 16 |
| 2.1.Coproduto de <i>Ilex paraguariensis</i> ..... | 16 |
| 2.2 Ácidos clorogênicos .....                     | 17 |
| 2.3 Estabilidade e Encapsulamento .....           | 18 |
| <b>3.HIPÓTESES.....</b>                           | 22 |
| <b>4.OBJETIVOS.....</b>                           | 22 |
| 4.1.Objetivo geral .....                          | 22 |
| 4.2.Objetivos específicos .....                   | 22 |
| <b>5 CAPÍTULO 1 – ARTIGO 1.....</b>               | 23 |
| <b>6 CAPÍTULO 2 – ARTIGO 2.....</b>               | 33 |
| <b>7 CONSIDERAÇÕES FINAIS.....</b>                | 68 |
| <b>REFERÊNCIAS BIBLIOGRÁFICA.....</b>             | 69 |

## **1 Introdução**

*Ilex paraguariensis* é rica em ácidos clorogênicos, compostos fenólicos encontrados tanto em suas folhas como nos talos da planta (PAGLIOSA et al, 2009; LORINI et al, 2021). A planta é comumente consumida em bebidas como chá, chimarrão e tererê, especialmente nos países da América do Sul. Os ácidos clorogênicos são reconhecidos por possuírem propriedades bioativas (MEINHART et al, 2017). Seu consumo está associado a diversos benefícios à saúde, incluindo propriedades antioxidantes, anti-inflamatórias, redução do risco de tumores, propriedades antimicrobianas, diuréticas e hipocolesterolêmicas (PO et al., 2012; PRADO MARTIN et al., 2013; KIM et al., 2015; LOBO et al., 2020; KALTBACH et al., 2022).

Durante a colheita do herval para utilização das folhas e talos finos (menor que 10 mm) pela indústria ervateira, são realizadas podas nas árvores para redução da altura das mesmas, o que gera de 2 à 5 toneladas de talos grossos (diâmetro superior a 10 mm) por colheita, que ocorre a cada 12-18 meses. Recentemente, esse resíduo foi objeto de estudo, e foram identificados os compostos (ácidos clorogênicos, flavonoides, saponinas e outros não identificados) presentes na parte externa do material na concentração de 12,9 g/100 g (LORINI et al, 2021). O teor de compostos fenólicos totais e o potencial antioxidante presentes no resíduo foram maiores do que os encontrados nas folhas da planta (LORINI et al, 2022). No entanto, esse resíduo ainda é pouco explorado, e seus compostos bioativos podem ser transformados ou preservados para diversas aplicações dado o potencial funcional dos compostos presentes.

A extração dos ácidos clorogênicos é influenciada por diversos fatores, como a técnica de extração, a polaridade, seletividade, presença ou não de agitação, temperatura, saturação do meio extrator, tempo e tipo de solvente extrator (STREIT et al., 2007; MERCADO et al., 2018; FENOGLIO et al., 2021). Para ácidos clorogênicos, os quais são instáveis à presença de luz, calor, oxigênio e temperaturas brandas ou aquecimento, preservar os mesmos e incorporá-los em produtos para conferir funcionalidades à um produto alimentício é um aspecto desafiador (FENOGLIO et al., 2021; KAMALI et al., 2021; LOPES; SANTOS; PRENTICE-HERNÁNDEZ, 2021).

Existem várias técnicas para preservar compostos sensíveis à temperatura,

fotossensíveis e de fácil degradação (KAMALI et al., 2021). Uma delas é a microencapsulação, que envolve a incorporação de compostos por outro material mais resistente, resultando na formação de micropartículas capazes de liberar seu conteúdo sob condições específicas. A qualidade e as propriedades das micropartículas geradas durante o processo de encapsulação são influenciadas pelas condições experimentais empregadas no processo (KALTBACH et al., 2022).

A técnica de precipitação antissolvente se destaca como um método promissor e simples para a produção de nanopartículas (KRINGEL et al., 2020). Além dessa o método por spray-drying é uma abordagem tradicionalmente usada na produção de partículas em setores como alimentos, indústria química, bioquímica e farmacêutica (JIE et al., 2020; ELHAM; KALAJAHI; GHANDIHA, 2022).

A escolha do material de parede para a produção de cápsulas é de suma importância para garantir aplicações futuras bem-sucedidas. Nesse contexto, a zeína, uma prolamina derivada do milho, se destaca como uma matriz solúvel em solução aquosa de etanol 55% a 90% (v/v). Devido ao seu alto teor de aminoácidos hidrofóbicos, a zeína possui baixa solubilidade em água, o que torna possível utilizá-la como agente encapsulante, além de apresentar propriedades anfifílicas e força motriz para automontagem em micro e nanopartículas (JIE et al., 2020; LIU et al., 2020; COELHO et al., 2021). Essas características tornam a zeína promissora para a aplicação em revestimentos na indústria de alimentos e medicamentos.

O tipo de extrato (aquoso, hidroalcoólico, alcoólico) para aplicação em cápsulas pode interferir na eficiência do encapsulamento, afetando a formação das cápsulas de maneira positiva ou negativa. A opção por solventes considerados verdes, como água e etanol de baixa toxicidade ao consumo humano, oferece benefícios adicionais (PILATTI et al., 2019; LORINI et al., 2021; FENOGLIO et al., 2021).

A otimização das extrações para aplicações futuras é fundamental para estimar os efeitos de interações entre variáveis, permitindo estabelecer modelos matemáticos que descrevam o comportamento das variáveis analisadas e empregá-los para a predição de condições ótimas. Derringer e Suich desenvolveram um método para combinar modelos de diversas variáveis dependentes (como diversos compostos ou características dos encapsulados) que

permite prever as condições ideais para atender a desejabilidade global de todas as respostas e extrair o máximo de informação acerca das variáveis independentes. Esse método facilita a otimização de métodos ou processos que tenham muitas variáveis independentes e dependentes (BUNS et al, 1997).

Com esse propósito, este trabalho foi dividido em dois estudos. O primeiro tem como objetivo otimizar a obtenção do extrato rico em ácidos clorogênicos a partir do coproduto de *Ilex paraguariensis* e encapsular os mesmos por precipitação antissolvente. O seguindo estudo encapsulou os ácidos clorogênicos por outra técnica de spray drying, e sua aplicação do em produto forneado.

## 2 Revisão de Literatura

### 2.1 Coproduto de *Ilex paraguariensis*

Para produzir erva mate, erva para tererê, chá mate e outros produtos que contenham *Ilex paraguariensis*, as folhas e talos finos (talos com menos de 10 mm de diâmetro) são colhidos dos hervais a cada 12-18 meses. No entanto, durante essa colheita, os agricultores realizam a poda das plantas com o intuito de controlar a altura para viabilizar a próxima colheita. Dessa forma, ocorre uma poda durante a colheita, que resulta em talos com diâmetros superiores a 10 mm (talos que não são utilizados nos produtos comerciais) como subproduto agrícola (PAGLIOSA, 2009).

O resíduo resultante da poda de colheita é constituído por uma porção interna (xilema) e uma porção externa (floema), composta por uma camada de epiderme que continua crescendo juntamente com a planta (TAIZ et al., 2017). A Figura 1 mostra o processo da poda, resultando no resíduo da colheita da erva-mate.



Figura 1. Colheita da *Ilex paraguariensis*. Fonte: Autor, 2023.

PAGLIOSA (2009) foi o primeiro autor a realizar estudos e constatou que são geradas entre 2 e 5 toneladas de talos grossos (com diâmetro superior a 10 mm), os quais não são aproveitados pela indústria ervateira como produto comercial. Este subproduto ainda é pouco explorado pela indústria de erva-mate, pois não é viável para queima em caldeiras devido à sua baixa capacidade calorífica (valorização térmica) e não é utilizado como biomassa para produção de biocombustíveis, restando apenas a possibilidade de aproveitamento químico e biológico.

Outro autor que investigou o coproduto foi LORINI et al. (2021), que analisou os compostos presentes nesse resíduo agrícola, avaliou a diferença dos compostos em diferentes sistemas de cultivo (pleno sol e sombreado), além de analisar individualmente a parte interna e externa do material. Lorini e colaboradores constataram que a parte externa contém 35 compostos bioativos, que correspondem a 12,9 g 100 g<sup>-1</sup>, sendo que o cultivo em pleno sol apresentou maior teor de compostos fenólicos que o cultivo em ambiente sombreado. Constataram ainda, que a parte externa do coproduto é rica em ácidos fenólicos como o quínico, 3-cafeoilquínico, 5-cafeoilquínico, 3,5-dicafeoilquínico e 4,5-ácidos dicafeoilquínicos.

Em um novo estudo realizado por LORINI et al. (2022), otimizou-se o processo de extração dos compostos do coproduto, na condição ótima foram extraídos 55 compostos, sendo descobertos 8 compostos que não haviam sido identificados anteriormente. Por um método considerado verde de extração (à base de etanol:água), foi possível extrair 15,07 g de compostos fenólicos por 100 g de coproduto. Além disso, demonstrou capacidade de inibição de *Staphylococcus aureus*. HECK et al. (2021) utilizaram o coproduto de *Ilex paraguariensis* liofilizado na produção de seus hambúrgueres, apresentando um potencial antioxidante de um extrato natural em produtos cárneos, trazendo uma aplicação diferenciada ao coproduto.

Diante dos relatos dos poucos trabalhos realizados com coproduto de *Ilex paraguariensis*, novos estudos são necessários para uma aplicação do produto para uma comercialização.

## 2.2 Ácidos clorogênicos

Os ácidos clorogênicos são os mais abundantes no coproduto de *Ilex paraguariensis*, constituindo mais de 70% da concentração total de compostos bioativos (LORINI et al, 2022). Em sua estrutura, os ácidos clorogênicos contêm ácido cafeico e ácido quínico, unidos por uma reação de esterificação (Figura 2). Existem vários isômeros desses ácidos, dependendo da posição em que a reação entre os dois ácidos ocorre. Além disso, mais de um ácido cafeico pode ser incorporado à molécula, formando assim os ácidos di-cafeoilquínicos ou tri-cafeoilquínicos, que também pertencem à classe dos ácidos clorogênicos. Ele é formado por grupos alifáticos e aromáticos e é um dos principais componentes polifenólicos que existem em muitas culturas frutíferas, como maçãs, (BOYER & LIU, 2004) pêssegos, (ANDREOTTI et al., 2008) abacaxis, (CAMPOS et al., 2020) mirtilos, (RODRIGUEZ-MATEOS et al., 2012) sementes de café e folhas de tabaco (YONEYAMA et al., 2008).

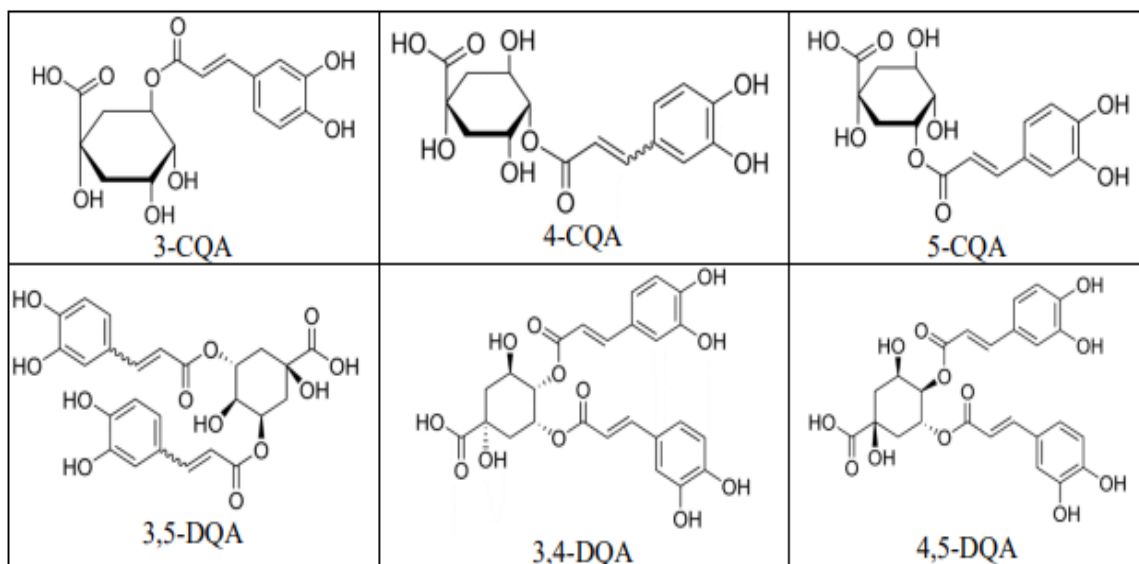


Figura 2. Estrutura geral da classe dos ácidos clorogênicos, 3-cafeiolquímico (3-CQA), 4-cafeiolquímico (4-CQA), 5-cafeiolquímico (5-CQA), 3,5-dicafeiolquímico (3,5-DQA), 3,4-dicafeiolquímico (3,4-DQA) e 4,5-dicafeiolquímico (4,5-DQA). Fonte: Autor, 2023.

Esses ácidos clorogênicos principais (Figura 2 ) o cafeiolquímico com os isômeros 3-CQA, 4-CQA e 5-CQA dicafeiolquímico, com os isômeros 3,5-DQA, 3,4-DQA e 4,5- DQA (Figura 1) e menos frequentes, o ferruloilquimico com 3 isomeros 3-FQA, 4-FQA e 5- FQA, o p-coumaroilquinico com 3 isomeros 3-pCoQA,

4-pCoQA e 5-pCoQA, além de 6 mixes de di-ésters de ferruloilquímico (CFAQ) (CLIFFORD et al., 2003).

## 2.3 Encapsulamento

A estabilidade dos ácidos clorogênicos é diminuída pela presença de luz, temperatura branda ou aquecimento, presença de oxigênio e outras substâncias catalisadoras que podem estar na planta ou no método de extração (LÓPEZ-CÓRDOBA et al., 2014; NIU et al., 2022). Técnicas como a encapsulação consistem no aprisionamento de um determinado composto com o objetivo de protegê-lo contra condições de degradação, ou para manter as características sensoriais da substância encapsulada, ou permitir uma liberação controlada desse composto no trato gastrointestinal (DELADINO; NAVARRO; MARTINO, 2013; LIU et al., 2020; ESPEJO-CARPIO; GUADIX; GUADIX, 2023).

As cápsulas podem ser classificadas de acordo com o seu tamanho: macro ( $\geq 5000 \mu\text{m}$ ), micro (entre  $0,2\text{-}5000 \mu\text{m}$ ) ou nanocápsulas (menos de  $0,2 \mu\text{m}$ ). Se o núcleo estiver claramente ligado ao centro da cápsula, rodeado por uma película contínua de material de parede, é considerada uma microcápsula, enquanto que se o núcleo estiver uniformemente disperso na matriz, é denominada microesfera. São utilizados materiais de revestimento específicos, que incluem uma variedade de carboidratos, lipídios e proteínas (NUNES et al., 2015; PILATTI-RICCIO et al., 2019; TCHABO et al., 2019).

Inúmeras técnicas podem ser empregadas para o encapsulamento. A principal diferença entre elas está no tipo de aprisionamento do material a ser encapsulado pelo agente encapsulante, seja pela natureza física, química ou físico-química (CÓRDOBA; DELADINO; MARTINO, 2014; FENOGLIO et al., 2021; OIKONOMOPOULOU et al., 2022). A escolha do método de encapsulamento depende das propriedades do material a ser encapsulado (principalmente solubilidade) e do tipo de partícula, além da finalidade desejada (proteção e/ou liberação) e aplicação, se houver (JIE et al., 2020; HUANG; LI; LI, 2023).

A precipitação antissolvente (Figura 3) torna a zeína insolúvel e precipita para formar nanopartículas quando a concentração de etanol diminui, formando estruturas menos ordenadas (KRINGEL et al., 2020). A zeína contém propriedades hidrofílicas e hidrofóbicas que podem ser convertidas em nanopartículas coloidais

esféricas. O encapsulamento por precipitação antissolvente é bem descrito para compostos apolares, utilizando zeína como carreador ou material encapsulante.(SHUKLA; CHERYAN, 2001; LIU et al., 2020; YUAN et al., 2022).



Figura 3. Figura do processo de encapsulamento por precipitação antissolvente. Fonte: Autor, 2023.

O spray-drying (Figura 4) é uma técnica amplamente utilizada na indústria de alimentos para a produção de pós e partículas secas a partir de soluções ou suspensões líquidas. Esse processo é essencial para a encapsulação de compostos bioativos, como ácidos clorogênicos, visando preservar suas propriedades funcionais e protegê-los de condições adversas. Por meio do spray-drying, as soluções são atomizadas em uma câmara de secagem com ar quente, resultando na rápida evaporação do solvente e na formação de partículas secas. Esse método oferece vantagens significativas, incluindo alta eficiência de encapsulamento, além da preservação das propriedades funcionais dos compostos encapsulados (RIBEIRO et al, 2019).

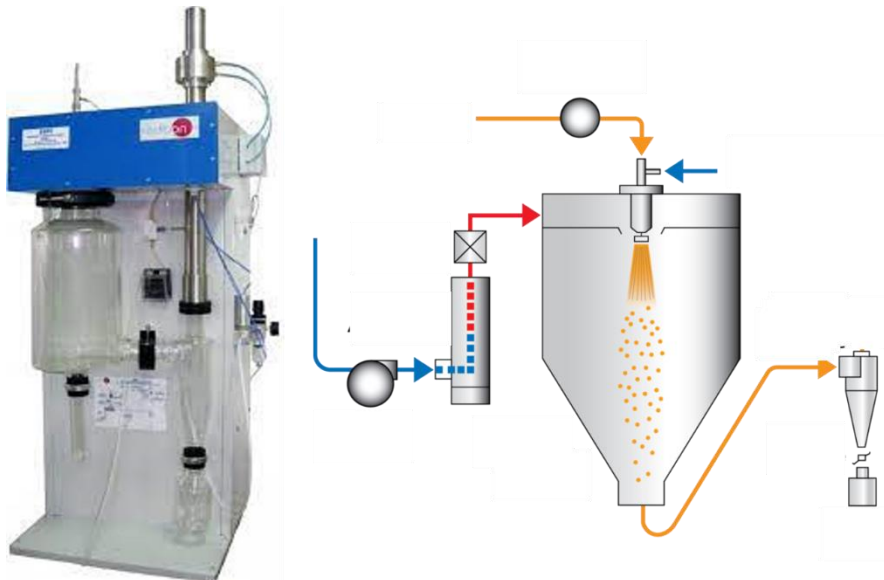


Figura 4. Spray-drying. Fonte: Autor, 2023.

A técnica de spray-drying tem sido investigada e aplicada com sucesso para a produção de cápsulas contendo bioativos. ELHAM; KALAJAHI; GHANDIHA, (2022) otimizar as condições de secagem do spray drying em extrato de urtiga, aumentando a estabilidade quando encapsulamento. O emprego da técnica de atomização em extrato de noz pecã, apresentou grande potencial para conservação dos compostos (KURECK et al., 2018). Para preservar os compostos presentes no cupuaçu, uma otimização da técnica foi empregada, resultando em microesferas com em condições simuladas de fluido intestinal 76,7 %, promissor na preservação e liberação controlada após o encapsulamento (FRANCIS et al., 2023). Esta abordagem é promissora na indústria de alimentos, pois permite a incorporação controlada de compostos bioativos em uma variedade de produtos alimentícios, oferecendo benefícios funcionais e nutricionais aos consumidores.

Diante do exposto, nessa pesquisa se destaca a importância dos ácidos clorogênicos para a saúde humana, o que gera perspectivas promissoras para a indústria alimentícia, especialmente no desenvolvimento de produtos funcionais. Adicionalmente, através da extração, encapsulamento e aplicação é enfatizado o potencial social de valorização de produtos oriundos de pequenos agricultores por meio da exploração desse coproduto, o qual ainda não foi explorado pela indústria alimentícia.

### **3. Hipóteses**

O coproduto de *Ilex paraguariensis* é uma fonte para extração de alto teor de ácidos clorogênicos que, após encapsulados, podem ser incorporados em produtos forneados como em bolos, o que resultará em alimentos com elevada preservação dos ácidos clorogênicos em relação aos ácidos clorogênicos não encapsulado, tal como a melhor qualidade funcional desses produtos.

### **4. Objetivos**

#### **4.1 Objetivo Geral**

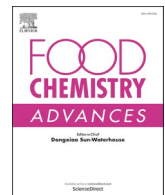
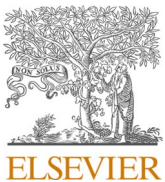
Avaliar o processo de extração dos ácidos clorogênicos, bem como aos processos de encapsulamentos por técnicas diferentes, com o propósito de preservar os ácidos e investigar sua estabilidade, assim como uma aplicação.

#### **4.2 Objetivos Específicos**

- Otimizar a extração de um extrato rico em ácidos clorogênicos, a partir do coproduto de *Ilex paraguariensis*, utilizando técnicas multivariadas.
- Obter a melhor condição de extração para encapsular os ácidos clorogênicos do coproduto de *Ilex paraguariensis*.
- Avaliar o extrato encapsulado em relação a quantidade de ácidos clorogênicos totais presentes no coproduto de *Ilex paraguariensis*.
- Encapsular o extrato do coproduto de *Ilex paraguariensis* por precipitação antissolvente, por técnicas multivariadas.
- Encapsular por spray drying o extrato do coproduto de *Ilex paraguariensis*, por técnicas militarizadas
- Aplicar os encapsulados e o extrato de coproduto de *Ilex paraguariensis* ricos de ácidos clorogênicos por spray drying e avaliar em bolos.

## **5 Capítulo 1 Artigo 1**

PAIM, B. T. et al. Exploring the Potential of *Ilex Paraguariensis* Coproduct: High Concentration of Chlorogenic Acids and Enhanced Thermal Stability. **Food Chemistry Advances**, v. 3, tn. September, p. 100524, 2023.



## Exploring the potential of *Ilex paraguariensis* coproduct: High concentration of chlorogenic acids and enhanced thermal stability

Bruna Trindade Paim <sup>a</sup>, Alexandra Lizandra Gomes Rosas <sup>a</sup>, Alexandre Lorini <sup>a</sup>, Vania Zanella Pinto <sup>b</sup>, Gisele Louro Peres <sup>b</sup>, Elessandra da Rosa Zavareze <sup>a</sup>, Vanessa Galli <sup>a</sup>, Helen Cristina dos Santos Hackbart <sup>a</sup>, Dianini Hüttner Krügel <sup>c</sup>, Adriana Dillenburg Meinhart <sup>a,\*</sup>

<sup>a</sup> Department of Food Science and Agrotechnology, Federal University of Pelotas (UFPel), Pelotas, RS 96105-900, Brazil

<sup>b</sup> Federal University of Federal da Fronteira Sul (UFFS), Laranjeiras do Sul, PR 85301-970, Brazil

<sup>c</sup> University of Passo Fundo (UPF), Passo Fundo, RS 99001-970, Brazil

### ARTICLE INFO

#### Keywords:

Multivariate analysis  
Encapsulation efficiency  
Yerba mate  
Precipitation  
Carrier material

### ABSTRACT

Five tons, per hectare, of thick stems of *Ilex paraguariensis* are generated each harvest the external part of these (IPC) has a high concentration of chlorogenic acids but is not yet commercially exploited. Thus, it is hypothesized that the coproduct of *I. paraguariensis* when submitted to optimized extraction conditions will result in extracts rich in chlorogenic acids. Furthermore, optimized encapsulation by anti-solvent precipitation with zein ensures improved thermal stability. Multivariate strategies were successfully employed to obtain extraction of 10.16 g chlorogenic acids per 100 g IPC in 75 % ethanol. The mixture of IPC extract (15 mL) and zein (1.36 g) dripped (18.14 mL h<sup>-1</sup>) on the water under stirring (4 rpm) results in encapsulated with 94 % efficiency and thermal stability of up to 357.5 C. We show that it is possible to optimize the extraction of chlorogenic acids and encapsulate them in a fast and efficient way for easy industrial expansion. The high amount of chlorogenic acids and the thermal resistance of the encapsulates indicate that applications in foods exposed to heat are highly promising for the valorization of this natural resource not commercially exploited, in line with the concepts of the circular economy.

### 1. Introduction

The production of *Ilex paraguariensis* in South America has economic and cultural importance, with 506 thousand tons produced, only in Brazil, in 2021 (IBGE, 2021). *I. paraguariensis* has several compounds of interest in its chemical composition, with an outstanding concentration of chlorogenic acids in the leaves (~10 % w/w) (Lorini et al., 2021). During the harvest of leaves and fine stems (<10 mm), which are raw materials to produce yerba mate for *chimarrão*, mate tea and yerba mate for *tereré*, are generated about 5 tons per hectare of stems thicker than 10 mm. These wastes have no commercial use and are left on the harvest ground. The epidermis of these branches represents about 30 % of the total weight and has chlorogenic acid concentration similar to that found in the leaves, which makes this epidermis an unexplored coproduct source of bioactive compounds. Among the major compounds of this coproduct, between 11.1 and 11.8 % are chlorogenic acids (m/m), in addition to the presence of other acids, sugars, saponins,

alkaloids and others (Lorini et al., 2021, 2022).

Chlorogenic acids (3-caffeoylequinic Acid (3-CQA), 4-caffeoylequinic Acid (4-CQA), 5-caffeoylequinic Acid (5-CQA), 3,4-dicaffeoylquinic Acid, 3,5-dicaffeoylquinic (3,4-DQA), 3,5-dicaffeoylquinic (4-CQA)) present in *I. paraguariensis* have several properties ranging from antioxidant activity by free radical scavenging (DPPH and ABTS), *in vitro* antiviral, antibacterial activities, inhibition of tumor cells, blood glycemic control and dyslipidemia, and anti-inflammatory action (Pinto et al., 2023). Thus, maximizing and optimizing the extraction of these compounds from different residues or agroindustrial coproducts promotes the recovery, and diversification of products and applications (Jovanović et al., 2022) and ensures the rational use of natural resources in the context of the circular economy. However, chlorogenic acids are extremely unstable when in solutions even upon refrigeration and room temperature storage (Luo et al., 2023). So, the encapsulation is a promising alternative for increase their stability allowing applications in food and drugs (Chacon et al., 2023).

\* Corresponding author.

E-mail address: [adrianadille@gmail.com](mailto:adrianadille@gmail.com) (A.D. Meinhart).

**Table 1**Coded and decoded variables and responses of the multivariate design to obtain an extract from the coproduct of *I. paraguariensis* (IPC).

| Coded variables and levels <sup>(1)</sup> |       |       | Decoded variables and levels |                  |                | Concentration of compounds (g 100 <sup>-1</sup> ) <sup>(2)</sup> |       |       |         |         |         |       |
|---|-------|-------|------------------------------|------------------|----------------|--|-------|-------|---------|---------|---------|-------|
| A   | B     | C     | Time (min)                   | Temperature (°C) | IPC Weight (g) | 5-CQA  | 3-CQA | 4-CQA | 3,4-DQA | 3,5-DQA | 4,5-DQA | Sum   |
| -1  | -1    | -1    | 12.1                         | 41.1             | 0.3            | 0.99   | 1.81  | 0.85  | 0.25    | 1.87    | 2.21    | 7.98  |
| 1   | -1    | -1    | 32.9                         | 41.1             | 0.3            | 1.22   | 2.21  | 1.07  | 0.37    | 2.32    | 2.71    | 9.90  |
| -1  | 1     | -1    | 12.1                         | 73.9             | 0.3            | 1.26   | 2.35  | 1.14  | 0.58    | 2.71    | 2.95    | 10.99 |
| 1   | 1     | -1    | 32.9                         | 73.9             | 0.3            | 1.32   | 2.54  | 1.18  | 0.36    | 2.19    | 2.92    | 10.53 |
| -1  | -1    | 1     | 12.1                         | 41.1             | 0.8            | 0.91   | 1.64  | 0.77  | 0.20    | 1.51    | 1.88    | 6.91  |
| 1   | -1    | 1     | 32.9                         | 41.1             | 0.8            | 1.10   | 2.00  | 0.99  | 0.29    | 1.86    | 2.35    | 8.59  |
| -1  | 1     | 1     | 12.1                         | 73.9             | 0.8            | 1.14   | 2.16  | 1.00  | 0.30    | 2.03    | 2.64    | 9.28  |
| 1   | 1     | 1     | 32.9                         | 73.9             | 0.8            | 1.22   | 2.33  | 1.07  | 0.34    | 1.99    | 2.76    | 9.72  |
| -1.68                                     | 0     | 0     | 5                            | 57.5             | 0.6            | 1.11   | 2.00  | 0.93  | 0.27    | 2.11    | 2.52    | 8.94  |
| 1.68                                      | 0     | 0     | 40                           | 57.5             | 0.6            | 1.22   | 2.30  | 1.07  | 0.54    | 2.26    | 2.58    | 9.98  |
| 0   | -1.68 | 0     | 22.5                         | 30               | 0.6            | 1.03   | 1.85  | 0.91  | 0.45    | 2.10    | 2.25    | 8.59  |
| 0   | 1.68  | 0     | 22.5                         | 85               | 0.6            | 1.19   | 2.28  | 1.02  | 0.32    | 1.82    | 2.59    | 9.23  |
| 0   | 0     | -1.68 | 22.5                         | 57.5             | 0.1            | 1.26   | 2.49  | 1.09  | 0.56    | 2.61    | 2.75    | 10.75 |
| 0   | 0     | 1.68  | 22.5                         | 57.5             | 1              | 1.10   | 2.03  | 0.99  | 0.51    | 2.04    | 2.37    | 9.05  |
| 0   | 0     | 0     | 22.5                         | 57.5             | 0.6            | 1.15   | 2.11  | 1.03  | 0.54    | 2.54    | 2.63    | 10.01 |
| 0   | 0     | 0     | 22.5                         | 57.5             | 0.6            | 1.23   | 2.30  | 1.13  | 0.57    | 2.70    | 2.91    | 10.84 |
| 0   | 0     | 0     | 22.5                         | 57.5             | 0.6            | 1.13   | 2.22  | 1.02  | 0.54    | 2.46    | 2.64    | 10.00 |
| 0   | 0     | 0     | 22.5                         | 57.5             | 0.6            | 1.20   | 2.28  | 1.07  | 0.34    | 2.38    | 2.91    | 10.17 |

<sup>(1)</sup> A: Time (min); B: Temperature (°C); C: IPC weight (g); <sup>(2)</sup> 5-CQA: 5-caffeoylequinic acid; 3-CQA: 3-caffeoylequinic acid; 4-CQA: 4-caffeoylequinic acid; 3,4-DQA: 3,4-dicaffeoylequinic acid; 3,5-DQA: 3,5-dicaffeoylequinic acid; 4,5-DQA: 4,5 caffeoylequinic acid.

The encapsulation by anti-solvent precipitation is well described for non-polar compounds using zein as the carrier or encapsulating material. The encapsulation of orange essential oil in zein resulted in 35 % encapsulation efficiency (%EE) and thermal stability of up to 180 °C (Kringel et al., 2020). Zein is a prolamine with good solubility in binary solutions of water and ethanol (70–90 %) (Calliari et al., 2020; Chacon et al., 2023; Kasai, 2018) which, when in contact with water, precipitates and traps some compounds. The anti-solvent precipitation of zein and gliadin was used for the encapsulation of resveratrol and resulted in particles of average diameters of 120–260 nm. The process using the mixture of the biopolymers improved the%EE by 50 times (Davidov-Pardo et al., 2015). Nanoparticles of *Hibiscus Sabdariffa* extract by anti-solvent precipitation with zein as carrier material with high stability, an average diameter of 137.9 nm and efficiency between 66.1 –100 % (Calliari et al., 2020).

The%EE of chlorogenic acids in chitosan nanoparticles (210 nm) obtained by ionic gelling was 59 % and increased thermal stability (Nallamuthu et al., 2015). The chlorogenic acid-loaded on micro-emulsion for delivery system shown >98 % of self-emulsifying rate and good stability and delivering (Chen et al., 2017). Liposomes-chlorogenic acid complex revels an increased thermal stability and reduced releasing in water, acid solution (pH 1.0) and phosphate buffer saline (pH 6.8) (Li et al., 2018). Encapsulation offers several advantages, especially enhanced stability through the isolation of active ingredients, precise and targeted release of these components, while preserving the fundamental bioactivity and bioavailability of the active ingredients upon different food and drug processing (Chacon et al., 2023).

The simplicity of application and ease of industrial expansion of anti-solvent precipitation are relevant objects of study. The ellagic acid encapsulated by anti-solvent precipitation presented a%EE of 96.6 and a total yield of 75 % (Li et al., 2022). Anti-solvent processing can give economic importance and functional potential for extracts with high content of chlorogenic acids such as those from *I. paraguariensis*. Thus, our hypothesis is that the coproduct of *I. paraguariensis* when submitted to optimized extraction conditions will result in extracts rich in chlorogenic acids. Thus, when using adequate and optimized conditions of encapsulation with zein by anti-solvent precipitation, the process will present high encapsulation efficiency, which results in improved thermal stability. Therefore, the challenge of this work was to employ multivariate optimization techniques for efficient encapsulation in order to increase the stability of bioactive compounds of a commercially unexplored matrix: the *I. paraguariensis* coproduct (IPC).

## 2. Material and methods

### 2.1. Obtaining plant material (IPC)

The IPC from cultivar Cambona 4 was collected in Machadinho/RS (Brazil) (27 °S 32'35.5" S and 51 °W 39'46.9" W), in the area of one hectare (100 plants, randomly), in herbal cultivated in full sun system, with 13 years of age. The botanical identification was carried out, for verification purposes, through the deposit in the herbarium of the Institute of Biology of the Federal University of Pelotas, under # 26.978 (SISGEN).

Ten kg of thick branches were collected in January 2020. The skin (epidermis) and the internal part (cortex and medulla) of the thick branches (>10 mm) were manually separated using a knife. Only the epidermis (bark), here called *I. paraguariensis* harvest coproduct - IPC, was dried in a tea dryer (Schifel, Erechim, Brazil) at 135 °C to 5 % moisture. Then, it was ground (50 mesh) and stored (-18 °C) until use.

### 2.2. Reagents

The reagents used ethanol (Neon, Suzano, Brazil), hexane and trichloroacetic acid (Dinâmica, Indaiatuba, Brazil) were analytical grade P; formic acid (Sigma-Aldrich, Darmstadt, Germany) and methanol (Honeywell, Wabash, USA) were chromatographic grade. The standards of chorogenic acids (3-caffeoylequinic acid (3-CQA), 4-caffeoylequinic acid (4-CQA), 5-caffeoylequinic acid (5-CQA), 3,4-dicaffeoylequinic acid (3,4-DQA), 3,5-dicaffeoylequinic acid (3,5-DQA), 4,5-dicaffeoylequinic acid (4,5-CQA)) were obtained from Biopurify (Chengdu, China). The water was purified using a MegaPurity® system (MecLab, Jacareí, Brazil). The standards were diluted in methanol and stored in an ultrafreezer (-70 °C) for a maximum of two weeks. All solutions and mobile phases were filtered using nylon membranes with a porosity of 0.22 µm (Analítica, São Paulo, Brazil).

### 2.3. Multivariate optimization of chlorogenic acid extraction

#### 2.3.1. 2Obtaining the extracts

Obtaining the extract was optimized using a central composite multivariate design 2<sup>3</sup>, with central ( $n = 3$ ) and axial points. The experimental matrix is shown in Table 1. The effects of time (5–40 min), extraction temperature (30–85 °C) and amount of dry IPC (0.1–1.0 g) were investigated - these values corresponding to the axial points -1.68 and 1.68 of the coded matrix variables. All experiments were performed randomly and in triplicate experimentally.

**Table 2**

Independent variables and multivariate design responses for encapsulation efficiency (%EE) and thermal stability.

| Coded variables and levels<br>( <sup>1</sup> ) |       |       | Decoded variables and levels |                |             | Encapsulation Efficiency (%) <sup>(2)</sup> |       |        |         |         |         |         |         | Thermal stability (°C) |        |
|--|-------|-------|------------------------------|----------------|-------------|---|-------|--------|---------|---------|---------|---------|---------|------------------------|--------|
| A  | B     | C     | Zein (g)                     | Stirring (rpm) | Flow (mL/h) | 5-CQA                                       | 3-CQA | 4-CQA  | 3,4-DQA | 3,5-DQA | 4,5-DQA | Sum CQA | Sum DQA | Total                  |        |
| -1   | -1    | -1    | 0.7                          | 5.2            | 14          | 33.00                                       | 46.38 | 15.47  | 57.71   | 73.95   | 77.49   | 39.05   | 74.83   | 64.88                  | 167.20 |
| 1  | -1    | -1    | 1.3                          | 5.2            | 14          | 66.80                                       | 76.12 | 43.71  | 90.76   | 92.61   | 93.40   | 67.40   | 92.90   | 90.99                  | 184.00 |
| -1   | 1     | -1    | 0.7                          | 8.8            | 14          | 32.29                                       | 56.82 | -10.63 | 72.18   | 82.56   | 81.49   | 43.14   | 81.19   | 75.75                  | 174.50 |
| 1  | 1     | -1    | 1.3                          | 8.8            | 14          | 60.32                                       | 78.21 | 35.68  | 90.55   | 92.69   | 92.40   | 69.29   | 92.38   | 91.19                  | 169.30 |
| -1   | -1    | 1     | 0.7                          | 5.2            | 26          | 14.51                                       | 42.44 | -18.62 | 66.94   | 81.47   | 85.49   | 27.88   | 83.12   | 73.78                  | 211.00 |
| 1  | -1    | 1     | 1.3                          | 5.2            | 26          | 58.96                                       | 82.34 | 44.57  | 90.79   | 94.21   | 93.79   | 73.81   | 93.75   | 92.93                  | 201.80 |
| -1   | 1     | 1     | 0.7                          | 8.8            | 26          | -2.34                                       | 52.90 | -24.00 | 68.19   | 80.10   | 79.82   | 33.15   | 79.11   | 71.24                  | 181.40 |
| 1  | 1     | 1     | 1.3                          | 8.8            | 26          | 34.90                                       | 76.35 | 16.65  | 86.75   | 92.45   | 91.78   | 63.13   | 91.69   | 89.92                  | 191.60 |
| -1.68  | 0     | 0     | 0.5                          | 7              | 20          | 51.33                                       | 70.84 | 15.89  | 85.19   | 89.80   | 90.53   | 59.83   | 89.91   | 87.56                  | 170.80 |
| 1.68   | 0     | 0     | 1.5                          | 7              | 20          | 46.36                                       | 67.96 | 19.57  | 90.91   | 92.22   | 92.98   | 56.73   | 92.51   | 88.46                  | 156.20 |
| 0  | -1.68 | 0     | 1                            | 4              | 20          | 32.10                                       | 56.63 | -4.43  | 79.96   | 86.74   | 86.10   | 44.17   | 85.90   | 81.12                  | 211.70 |
| 0  | 1.68  | 0     | 1                            | 10             | 20          | 40.40                                       | 63.65 | -5.90  | 84.50   | 88.92   | 87.77   | 50.29   | 87.93   | 86.12                  | 182.10 |
| 0  | 0     | -1.68 | 1                            | 7              | 10          | 67.04                                       | 76.57 | 29.60  | 88.37   | 92.02   | 92.61   | 68.21   | 92.14   | 90.09                  | 165.70 |
| 0  | 0     | 1.68  | 1                            | 7              | 30          | 71.67                                       | 78.65 | 24.43  | 86.04   | 91.39   | 92.38   | 71.04   | 91.63   | 89.11                  | 191.40 |
| 0  | 0     | 0     | 1                            | 7              | 20          | 36.61                                       | 76.95 | 28.25  | 84.51   | 92.39   | 92.39   | 64.26   | 91.89   | 90.24                  | 183.50 |
| 0  | 0     | 0     | 1                            | 7              | 20          | 52.08                                       | 57.86 | 65.08  | 87.48   | 90.98   | 90.52   | 58.61   | 90.45   | 88.82                  | 186.70 |
| 0  | 0     | 0     | 1                            | 7              | 20          | 66.55                                       | 71.85 | 28.37  | 83.37   | 89.37   | 91.46   | 63.74   | 90.20   | 86.83                  | 185.40 |

<sup>(1)</sup> A: Zein weight (g). B: Stirring (rpm). C: Flow rate (mL/h); <sup>(2)</sup> 5-CQA: 5-caffeoylequinic acid; 3-CQA: 3-caffeoylequinic acid; 4-CQA: 4-caffeoylequinic acid; 3,4-DQA: 3,4-dicaffeoylquinic acid; 3,5-DQA: 3,5-dicaffeoylquinic acid; 4,5-DQA: 4,5 dicaffeoylquinic acid.

The IPC samples were weighed (Table 1) in an amber flask, added to 15 mL of 75 % (v/v) ethanol, and submitted to stirring (400 rpm) in a water bath (Velp Scientifica, Enzymatic Digester-GDE, Italy) at temperature and time according to the experimental design (Table 1). Then, the extracts were filtered in Whatmann® filter paper and had their volume adjusted to 100 mL and analyzed by liquid chromatography. The evaluated responses were the concentration of chlorogenic acid isomers (5-CQA, 3-CQA, 4-CQA, 3,4-DQA, 3,5-DQA e 4,5-DQA).

### 2.3.2. Analysis of chlorogenic acids

The analyzes were performed by high-performance liquid chromatography with a diode array detector (UFLC, Shimadzu, Japan) at 325 nm, equipped with an automatic injector, quaternary pump, Cogent 2.0 Bidentate C18 column (MicroSolv Technology Corp., Leland, NC, USA), 2.1 mm i.d., 100 mm long and 2.2 µm particle size, with an oven at 40 °C (Lorini et al., 2022).

Elution was conducted in a gradient system starting with 99 % A (acidified water with 0.1 % formic acid) and 1 % B (methanol), with linear variation until 36 % B was reached at 35 min. This composition was maintained for 2.5 min. Between 37.5 min and 40 min reached 100 % B, condition maintained for 1 min for cleaning the column. Then, the column was reconditioned with the initial mobile phase composition for 5 min. The flow rate of the mobile phase was 0.2 mL·min<sup>-1</sup>, and the injection volume was 10 µL. The identification of chlorogenic acids was performed by comparison with analytical standards through retention time, absorption spectrum and co-chromatography. The mobile phases and samples were filtered thought a nylon membrane 0.22 µm.

The validation of the method was performed using the parameters of the limit of detection, quantification, linearity, and accuracy (on the day and between days), following the guidelines of the International Union of Pure and Applied Chemistry (Thompson, Ellison, & Wood, 2002) presented adequate results for the analyzes in question.

### 2.4. Optimization of encapsulation by anti-solvent precipitation

The hydroalcoholic extract of IPC (ethanol 75 %, v/v) obtained in 2.3 was added zein and homogenized in vortex for 2 min for complete solubilization. The solution containing zein and IPC extract was packed in a 20 mL syringe with a 13 mm long, 0.45 µm thick needle. The solution was dripped into water (pH 6.7) under constant stirring with the aid of an infusion pump (K100, KD Scientific, Germany). Then, the precipitated material was filtered with Whatmann type filter paper medium

porosity and lyophilized (Wong et al., 2020).

A central composite multivariate design 2<sup>3</sup>, with central points (*n* = 3) and axial, was used to optimize the zein weight used as carrier component (0.5–1.5 g of zein per 15 mL of IPC extract, which corresponds to 3.33 % to 10.00 % zein (w/v)), the stirring speed of the coagulant medium (4–10 rpm) and the dripping flow rate of the solution to be precipitated (10–30 mL h<sup>-1</sup>), as experimental matrix presented in Table 2.

The responses investigated were the%EE and%LC of the isomers of chlorogenic acids (5-CQA, 3-CQA, 4-CQA, 3,4-DQA, 3,5-DQA and 4,5-DQA individually), the sum of the moncaffeoylequinic and the dicaffeoylquinic, and the sum of all compounds, the encapsulated size and thermal stability (DSC).

The results were evaluated for the possibility of adjustment to mathematical models using Analysis of Variance (ANOVA), with 95 % confidence, to perform the prediction of optimal encapsulation conditions. The optimal condition of chlorogenic acid extraction was obtained with the aid of the desirability function of Derringer and Suich (Derringer & Suich, 1980). Then the optimal condition was performed experimentally, in triplicate.

The IPC extract encapsulated in the optimum conditions was characterized as%EE,%LC, thermal stability (TG), morphology (SEM) and infrared spectroscopy with Fourier transform (ATR-FTIR).

### 2.5. Analysis of encapsulated IPC extracts from multivariate design

#### 2.5.1. Encapsulation efficiency (%EE) and loading capacity (%LC)

The%EE was determined by the total chlorogenic acid concentration (TC - inner concentration + outer surface concentration) and the chlorogenic acid concentration on the surface of the encapsulates (S) (Eq. (1)).

$$\%EE = \frac{TC - S}{TC} \times 100 \quad (1)$$

To determine the TC in the encapsulates, 100 mg of sample was added 10 mL of 75 % (v/v) ethanol and vortexed for 5 min. Then 50 µL of saturated trichloroacetic acid was added, followed by gentle shaking and centrifugation for 10 min at 5000 rpm (543 R Eppendorf, Hamburg, Germany) at 20 °C. To evaluate the concentration of chlorogenic acids on the outer surface (S) of the encapsulates, 100 mg of sample was added to 10 mL of 20 % (v/v) ethanol, subjected to vortex stirring for 5 min. Next, 50 µL of saturated trichloroacetic acid was added, followed by

gentle stirring and centrifugation for 10 min at 5000 rpm at 20 °C. The TC and S supernatant was collected, filtered in 0.22 µm porosity PVDF membrane and subjected to high performance liquid chromatography analysis (item 2.3.3).

#### 2.5.2. Loading capacity (%LC)

The %LC was determined considering the ratio of (A) weight of chlorogenic acids (mg) present in the lyophilized encapsulates, considering the internal concentration + concentration on the external surface, by the (B) weight of chlorogenic acids (mg) present in the IPC extract (3-CQA, 4-CQA, 5-CQA, 3,4-DQA, 3,5-DQA, 4,5-DQA and sum) submitted to encapsulation (Equation 2).

$$\% LC = \frac{A}{B} \times 100 \quad (2)$$

#### 2.5.3. Thermal stability

The thermal stability of the encapsulates obtained in the multivariate design (Section 2.4) was determined by differential scanning calorimetry (DSC) (Polyma 204, Netzch, Selb, Germany). Approximately 2 mg of each encapsulated IPC extract was weighed into hermetically sealed aluminum crucibles. The crucibles were heated from 20 to 300 °C, with heating rate of 10 °C min<sup>-1</sup>, underflow of N<sub>2</sub> of 40 mL min<sup>-1</sup>. An empty crucible was used as a reference. The peak temperature (T<sub>m</sub>) was determined by the maximum thermal event of the thermogram.

#### 2.5.4. Size of the encapsulated

The size of the encapsulates was determined by dynamic light scattering (DLS) after dilution of the samples in 10 % ethanol (Zetasizer Nano ZS, Malvern Instruments Limited, UK), using water as a dispersant medium (using refractive index 1.33). The samples were shaken until complete dispersion before scanning, in triplicate. The results obtained are the average hydrodynamic radius of the lyophilized material after encapsulation.

#### 2.6. Characterization of optimized encapsulated IPC extract

The %EE and %LC were determined according to 2.5.1 and 2.5.2, respectively. Pure zein, lyophilized IPC extract and encapsulated IPC extract were subjected to thermogravimetric (TG) analysis (SDT Q600, TA Instruments, USA). The samples were weighed (5–10 mg) in a platinum crucible and heated from 30 to 600°C, with a heating rate of 10 °C min<sup>-1</sup>, under a nitrogen flow of 50 mL min<sup>-1</sup>. An empty platinum crucible was used as a reference. The weight loss (%) and degradation temperatures were recorded for each sample, and the derivative was used to determine the average temperature.

The morphology of the encapsulated IPC extract was examined using coupled scanning electron microscope (SEM) (Jeol, JSM - 6610LV, USA). The dried samples were deposited on a stub and analyzed under an accelerating voltage of 15 kV. Pure zein, lyophilized IPC extract and encapsulated IPC extract were analyzed by infrared spectroscopy with Fourier transform under attenuated total reflectance (ATR-FTIR) (IRTracer-100, Shimadzu Corp., Kyoto, Japan). The spectra were obtained between 4000 and 800 cm<sup>-1</sup> at room temperature in transmission mode with 45 scans and a resolution of 4 cm<sup>-1</sup>.

#### 2.7. Statistical analysis

The results for chlorogenic acids were expressed as relative means and subjected to analysis of variance (ANOVA), with a confidence level of 95 %. The data were processed using the software Desing Expert 6.0 (Minneapolis, USA) and Statistica 6.0 from StatSoft (Tulsa, USA).

### 3. Results and Discussion

#### 3.1. Multivariate optimization of *I. paraguariensis* extract

The multivariate design used to produce extracts rich in chlorogenic acids from IPC resulted in the extraction of monocaffeoylquinic acids (CQAs: 3-CQA, 4-CQA, 5-CQA) and dicaffeoylquinic acids (DQAs: 3,4-DQA, 3,5-DQA, 4,5-DQA) with a sum that varied from 6.9 to 11 g 100 g<sup>-1</sup> (Table 1). The validation of mathematical models that describe the behavior of variables (time (5–40 min), temperature (30–85 °C) extraction and sample weight (0.1–1.0 g)) on the concentration of each of the six quantified compounds and their sum are presented in Table S1 of the Supplementary Material.

The behavior of the three variables investigated on the seven responses can be adequately described by models without lack of adjustment since all F values for lack of adjustment were lower than the critical F values, with 95 % confidence (Table S1). The relative standard deviation of the central point of the experimental conditions studied varied between 3.83 and 21.30 %, showing that the extraction method is reliable and that the lack of adjustment test did not have a false result. All models had significant regression and random residual dispersion. The behavior of the variables on the extraction of monocaffeoylquinic acids (5-CQA, 3-CQA and 4-CQA) and dicaffeoylquinic acid 4,5-DQA was described by linear models. On the other hand, for the dicaffeoylquinic acid 3,5-DQA and for the sum of all the compounds the behavior was described by quadratic models. The 3,4-DQA acid extraction had its model described only by the intercept, indicating that none of the variables significantly affected the extraction of this compound (Table S1).

The CQAs were significantly influenced by the variables in a similar way to each other. The extraction temperature was the most significant variable, followed by time. The increase of both caused an increase in the concentration of chlorogenic acids (Table 1). Other authors found that the effect of temperature resulted in greater extraction of chlorogenic acids in the preparation of chimarrão (Silveira et al., 2021). Elevated temperatures enhance the breakdown of vegetable cell walls, thereby improving chlorogenic acids extraction. However, they are unstable (Luo et al., 2023) when in solutions under refrigeration or room temperature storage. The time and temperature extraction optimization aids in recovering high concentrations of these compounds but does not guarantee its after-extraction stabilization. Its increase caused the extraction reduction. This sample weight had a negative linear effect on the CQA extraction, indicating that effect is possibly related to the saturation of the extracting solution (Othman et al., 2011; Villar Blanco et al., 2022).

Dicaffeoylquinic acid 4,5-DQA was influenced in a similar way as monocaffeoylquinic, except for the time variable, which was not significant. However, the 3,5-DQA acid had the variables temperature and time with significant negative effects in quadratic terms (Table S1). The increase in these variables increased extraction up to intermediate levels. However, when higher levels were employed, a reduction in extraction was observed. This behavior indicates intermediate conditions of temperature and time for the extraction of 3,5-DQA. Furthermore, the interaction of the variables time and temperature showed a significant negative effect, evidencing that the simultaneous increase of the two impacted on the reduction of extraction (Table S1).

The observed effects suggest that 3,5-DQA is more susceptible to degradation during extraction compared to the other CQAs and DQAs. DQAs are highly susceptible to intramolecular isomerization, transesterification, and degradation, which enables the disruption of the structure to generate fragments, such as CQAs.

This result corroborates the result observed by Filip et al. (2017) in the study of polyphenol extraction from basil. In the extraction of total phenols, total flavonoids and antioxidant activity from *Myrtus communis* leaves the intermediate levels of time also increased the concentration. It is suggested that faster extractions may be insufficient, and too long extractions may cause degradation of some compounds (Dahmoune

**Table 3**

Independent variables and multivariate design responses for loading capacity (%LC) and package size.

| Coded variables and levels<br>( <sup>1</sup> ) |       |       | Decoded variables and levels |                   |                 | Loading capacity (%) <sup>(2)</sup> |           |           |             |             |             |            |            |       | Size<br>(radius.<br>nm) |
|--|-------|-------|------------------------------|-------------------|-----------------|-------------------------------------|-----------|-----------|-------------|-------------|-------------|------------|------------|-------|-------------------------|
| A  | B     | C     | Zein<br>(g)                  | Stirring<br>(rpm) | Flow (mL/<br>h) | 5-<br>CQA                           | 3-<br>CQA | 4-<br>CQA | 3,4-<br>DQA | 3,5-<br>DQA | 4,5-<br>DQA | Sum<br>CQA | Sum<br>DQA | Total |                         |
| -1   | -1    | -1    | 0.7                          | 5.2               | 14              | 9.99                                | 14.61     | 7.40      | 24.79       | 20.95       | 24.71       | 11.56      | 23.19      | 17.39 | 204                     |
| 1  | -1    | -1    | 1.3                          | 5.2               | 14              | 3.43                                | 3.13      | 2.67      | 29.27       | 29.89       | 31.33       | 3.10       | 30.60      | 16.89 | 204                     |
| -1   | 1     | -1    | 0.7                          | 8.8               | 14              | 3.03                                | 4.04      | 2.07      | 15.32       | 12.13       | 16.75       | 3.27       | 14.78      | 9.04  | 407                     |
| 1  | 1     | -1    | 1.3                          | 8.8               | 14              | 1.39                                | 2.09      | 0.97      | 21.51       | 21.18       | 27.18       | 1.62       | 24.33      | 13.01 | 814                     |
| -1   | -1    | 1     | 0.7                          | 5.2               | 26              | 5.38                                | 6.82      | 3.72      | 15.53       | 16.03       | 21.34       | 5.65       | 18.76      | 12.23 | 1629                    |
| 1  | -1    | 1     | 1.3                          | 5.2               | 26              | 1.39                                | 2.64      | 1.12      | 34.46       | 33.83       | 41.09       | 1.92       | 37.66      | 19.85 | 1118                    |
| -1   | 1     | 1     | 0.7                          | 8.8               | 26              | 4.14                                | 6.41      | 3.41      | 17.99       | 14.56       | 19.93       | 5.05       | 17.61      | 11.35 | 295                     |
| 1  | 1     | 1     | 1.3                          | 8.8               | 26              | 2.14                                | 4.11      | 1.77      | 33.39       | 31.06       | 39.79       | 3.00       | 35.78      | 19.44 | 270                     |
| -1.68  | 0     | 0     | 0.5                          | 7                 | 20              | 0.92                                | 1.24      | 0.62      | 9.65        | 7.11        | 10.76       | 1.00       | 9.20       | 5.11  | 229                     |
| 1.68   | 0     | 0     | 1.5                          | 7                 | 20              | 4.87                                | 6.62      | 3.52      | 38.03       | 29.26       | 32.03       | 5.37       | 31.35      | 18.40 | 301                     |
| 0  | -1.68 | 0     | 1                            | 4                 | 20              | 6.28                                | 8.97      | 4.25      | 39.68       | 35.11       | 43.33       | 7.06       | 39.73      | 23.45 | 289                     |
| 0  | 1.68  | 0     | 1                            | 10                | 20              | 1.68                                | 2.35      | 1.20      | 27.43       | 22.97       | 31.49       | 1.88       | 27.74      | 14.85 | 254                     |
| 0  | 0     | -1.68 | 1                            | 7                 | 10              | 2.31                                | 2.59      | 1.38      | 17.27       | 16.40       | 21.65       | 2.21       | 19.20      | 10.73 | 238                     |
| 0  | 0     | 1.68  | 1                            | 7                 | 30              | 4.70                                | 5.12      | 2.41      | 23.31       | 22.47       | 28.90       | 4.33       | 25.88      | 15.14 | 273                     |
| 0  | 0     | 0     | 1                            | 7                 | 20              | 1.30                                | 2.48      | 1.22      | 21.19       | 19.86       | 25.76       | 1.85       | 23.04      | 12.47 | 271                     |
| 0  | 0     | 0     | 1                            | 7                 | 20              | 1.79                                | 1.89      | 2.15      | 28.96       | 23.02       | 31.05       | 1.93       | 27.64      | 14.82 | 315                     |
| 0  | 0     | 0     | 1                            | 7                 | 20              | 5.43                                | 4.64      | 3.32      | 23.26       | 21.83       | 27.39       | 4.52       | 24.83      | 14.71 | 207                     |

<sup>(1)</sup> A: Zein weight (g). B: Stirring (rpm). C: Flow rate (mL/h); 5-CQA: 5-caffeoquinic acid; 3-CQA: 3-caffeoquinic acid; 4-CQA: 4-caffeoquinic acid; 3,4-DQA: 3,4-dicaffeoquinic acid; 3,5-DQA: 3,5-dicaffeoquinic acid; 4,5-DQA: 4,5 dicaffeoquinic acid.

et al., 2015). In the study on *I. paraguariensis* coproduct with another extracting solvent (41.1 % ethanol in water), a negative effect of extraction time was also observed (Lorini et al., 2022).

The quadratic model described the behavior of the three variables for the sum of chlorogenic acids, indicating a positive linear effect for increasing time and temperature and a negative linear effect for increasing IPC weight. The negative quadratic effect of temperature was also significant, indicating that at intermediate conditions favor extraction. Similarly, the interaction effect between the variables time and temperature was also negative on the extraction of the sum of compounds (Table S1). The quadratic behavior for this response is highly associated with the significant effects for 3,5-DQA.

The optimal point was obtained by adopting as criteria the maximum extraction of the individual compounds and the total sum of chlorogenic acids, the minimization of the extraction time and the use of the highest possible amount of IPC weight (Table S2). These desirability criteria aim to get the extract quickly rich in chlorogenic acids. Thus, the optimal condition was 17 min (-0.46), 82 °C (1.47) e 0.58 g de IPC (-0.09), with total predicted extraction of 10.17 g chlorogenic acids per 100 g IPC. The experimentally obtained concentrations were statistically similar to the predicted concentrations (*t*-test with 95 % confidence) (Table S2). The coproduct of *I. paraguariensis* was also used to produce extracts rich in chlorogenic acids employing a multivariate design by Lorini et al. (2022). The optimum extraction of all polar compounds was when 33.8 min, 85 °C with a hydroalcoholic solvent of 41.1 % (v/v) ethanol. Under these conditions, 11.8 g of total chlorogenic acids were extracted from 100 g of the sample. The concentration of chlorogenic acids was similar, with a variation of only 14 %. The main advantage of using 75 % ethanol (v/v) for the extraction of chlorogenic acids is the compatibility of the hydroalcoholic extract in the solubilization of zein, without the need for drying and resuspension for subsequent encapsulation, in addition to the extraction time, which was 50 % lower.

### 3.2. Multivariate optimization of obtaining encapsulates

The%EE,%EC, thermal stability, and size of the encapsulates from themultivariate design are presented in Tables 2 and 3, as well as the mathematical models describing the variables zein weight (0.5–1.5 g), stirring speed (4–10 rpm) and dripping flow rate (10–30 mL/h) as a function of the analyzed responses in Table S3.

The%EE of the CQAs was not significantly influenced by any of the variables investigated. On the other hand, for the DQAs the zein weight

was significant and positive in linear terms (Table S3), indicating that the increase of zein promoted the increase of%EE. Zein is a protein in which, about 50 % of its amino acids are apolar, and is classified as a prolamine with an amphiphilic character (Kasai, 2018). Although zein is amphiphilic, it showed a higher affinity for DQAs than for CQAs. In parallel, the more polar CQAs have a higher affinity for aqueous solution (Table 2). The non-covalent bonds of proteins and polyphenols include hydrophobic bonds, hydrogen bonds, electrostatic attractions, and van der Waals interactions.

When considering the encapsulation of the sum of the six chlorogenic acids, it was possible to obtain a mathematical model with an adequate fit, and only the weight of zein was significant, whose increase improved the%EE of the total sum of the compounds (Table S3). This behavior is a consequence of the increased zein/IPC extract ratios and consequence, high functional groups available from zein for interaction with the chlorogenic acids of the extract. In the encapsulation of epigallocatechin gallate, using the encapsulation by anti-solvent precipitation also observed the same effect (Liang et al., 2017). In another study, the increase of zein weight in the encapsulation of α-tocopherol resulted in higher encapsulation efficiency of the compound (Luo et al., 2011).

The%LC of the sum of the three CQAs varied between 1.00 and 11.56 % (Table 3), proving the higher affinity of these compounds by the aqueous medium. The%LC of the CQAs was also not significantly influenced by any of the variables investigated (Table S3). Although the mathematical models presented adequate adjustment and regression indicating that none of the variables had a significant effect, the experimental error obtained is high (47–79.5 % in relative standard deviation). Thus, the models do not present reliability to describe the experimental data. This can be observed through the experimental results obtained in the first experimental condition (all variables are at levels -1), which presented better loading than the others. The high relative standard deviation for loading the isomers can be putatively explained by a possible isomerization of the position of the compounds to each other during encapsulation. This possibility requires future studies for more substantial conclusions.

The sum of%LC of the DQAs varied between 9.20 and 37.66 % (Table 3), indicating better interaction between the carrier and the molecules that have two caffeoic acids in the structure. For these compounds it was possible to establish quadratic models with no lack of fit and good dispersion of the residues to describe the behavior of the variables as a function of the responses (Table S3). The positive linear effect for zein weight was the most significant, the increase of which

improved the%LC. The zein weight also showed a negative quadratic effect, which indicates that the increase in%LC was evidenced only up to certain levels, indicating that the intermediate levels are the best conditions. In contrast, the second most important variable was the stirring speed, which when increased, reduced the%LC. This variable had a positive quadratic effect suggesting that its behavior is concave, with better%LC at the two extremes of the stirring speed range studied, but not in the intermediate regions (Table S3).

The dripping flow rate had a positive effect on the%LC of DQAs, with the higher the dripping flow rate, the higher the loading capacity. The interaction effect between zein weight and dripping flow rate as well as the interaction effect between stirring speed and dripping flow rate caused the%EC to increase (Table S3). This behavior suggests that the highlighted variables can be used simultaneously at the higher levels to obtain a high%EC. The model describing the loading of the sum of all chlorogenic acids showed the same behavior as for the DQAs (Table S3).

The interaction between zein weight and flow rate (AC) as well as between stirring and flow rate (BC) resulted in positive coefficients (Table S3). This result reveals that when both variables are increased simultaneously, it is possible to obtain more capacity loading for the sum of the DQAs in addition to the 3,5-DQA. For the individual compounds, 3,4-DQA and the 4,5-DQA, only the AC interaction was significant. The solution feed flow rate in anti-solvent precipitation was studied by Patil et al. (2021), which varied from 2 to 8 mL/min. When the flow rate was fixed at 2 mL/min this was considered optimal to obtain lovastatin nanoparticles with hydroxypropylmethylcellulose and pluronic as stabilizers.

Thermal stability ( $T_m$ ) and encapsulate size (DLS) showed models with a slight lack of fit, indicating that they should be used with caution to obtain assertiveness in predicting the optimal conditions (Table S3). High  $T_m$  is a good indicator of thermal stability (Pilatti-Riccio et al., 2019). Thermal stability increased with increasing dripping flow rate. On the other hand, it decreased when the stirring speed was increased. The zein weight exerted a negative quadratic effect on  $T_m$ , indicating that an improvement occurred in the intermediate conditions of this variable in detriment to the extreme points (axial) the hydrodynamic radius size of the encapsulates ranged from 204 to 1.629 mm. The size showed a reduction when stirring speed and dripping flow rate were simultaneously employed at high levels (Table 3 and S3).

The precipitation of zein in the anti-solvent process forms a structure similar to micelles when in solution. After precipitation can still occur particle agglomeration, due to increased hydrophobic interactions between the particles, leading to an increase in their size. Lyophilization can also cause agglomeration (Kasai, 2018). Thus, there is some variability in the size of the encapsulates that can be partially explained by the molecular weight and high hydrophobicity of zein, as well as its insolubility in water. Their reduced water solubility leads to rapid supersaturation and increase in protein nucleation with the formation of encapsulates. These interactions can occur even during resuspension and preparation of the samples for the DLS assay. Thus, it is hypothesized that this behavior is responsible for the lack of fit of the mathematical models (Table S3).

To define the optimum condition of encapsulation through the combination of mathematical models were employed the models of%EE of total compounds,%LC of total compounds, thermal stability and size. Some authors were successful when using models with a slight lack of adjustment for extraction optimizations or chromatographic separation (Alves Filho et al., 2020; dos Santos et al., 2022; Silveira et al., 2021) models of thermal stability and size of the encapsulated. So, we assumed the hypothesis that it could work in encapsulation processes. After adopting the criteria of the desirability of increase of%EE,%LC, thermal stability and reduction of encapsulated size (Table S4) it was possible to obtain a combination of the optimal conditions when employing 1.36 g of zein, with stirring of 4 rpm and dripping flow rate of 18,14 mL h<sup>-1</sup> as independent variables. The desirability was 90 %.

### 3.3. Validation of optimized encapsulated IPC extract

Under the experimental optimum conditions, the%EE of 94 % and%LC of 16 % of the IPC extract were observed. This behavior is a result of the combination of variables zein weight (1.36 g), stirring speed of coagulant medium (4 rpm) and dripping flow rate (18.14 mL h<sup>-1</sup>) of zein solution solubilized in IPC extract. Anti-solvent precipitation of zein results in a high%EE of both polar (Davidov-Pardo et al., 2015) and apolar compounds (Kringel et al., 2020) due to its amphiphilic characteristic (Kasai, 2018). Furthermore, encapsulation with zein is promising to preserve chlorogenic acids during the digestive process, as this protein is robust against water solubilization and is not degraded in the buccal mucosa and by stomach acids, and thus enables the delivery of the compounds through the intestinal mucosa as it can be degraded by enzymes present in the intestine, mainly trypsin (Yan et al., 2022). The%EE resulted in 89 % in zein nanoparticles with *Hibiscus sabdariffa* extract by anti-solvent precipitation, indicating the possibility of polyphenol trapping (Calliari et al., 2020).

The  $T_p$  of the encapsulated IPC extract was 185.1 °C, which proves that the prediction of the mathematical models was similar to the predicted conditions with 95 % confidence (Table S4). The extract of *I. paraguariensis* also showed thermal stability when encapsulated with fructooligosaccharide was 201.6 °C (Pilatti-Riccio et al., 2019). This behavior indicates the thermal stability of the compounds present in the encapsulated extract.

### 3.4. Characterization of optimized encapsulated IPC extract

#### 3.4.1. Morphology

The encapsulated IPC extract produced under optimal and lyophilized conditions has an undefined and uneven morphology, with the presence of agglomerates (Fig. 2). These structures are probably the result of the anti-solvent precipitation process. Lyophilization also contributes to the formation of these agglomerated structures, which are formed due to the shrinkage of the solid material when water is removed during drying (Davidov-Pardo et al., 2015). The morphology is dependent on the whole encapsulation process, from the choice of the carrier material, the compound to be encapsulated, as well as the method (Chacon et al., 2023). This undefined morphology does not affect the encapsulation and loading capacity of the compounds as well as their stability (Rosário et al., 2021), as also demonstrated in the results of this study.

On the other hand, the encapsulation by anti-solvent precipitation of *Hibiscus sabdariffa* extract with zein resulted in spherical nanoparticles (138–257 nm), in addition to the formation of aggregates resulting from lyophilization. In this same study, the diameter of the particles increased the greater the weight of zein (Calliari et al., 2020). The encapsulation of orange essential oil with zein by the modified anti-solvent method resulted in spherical and regular particles, with sizes of 1.781 μm (Kringel et al., 2020). Also, zein particles with lyophilized sodium caseinate presented spherical and agglomerated morphology, probably due to the high hydrophobic attraction, during lyophilization, which may have dehydrated the particles leading to these characteristics (Davidov-Pardo et al., 2015).

Lignocellulosic nanoparticles of yerba mate had a size around 500 nm, which was related to the formation of agglomerates during the lyophilization process (Arrieta et al., 2018). This fact can be due to the strong hydrogen bonds, as the water sublimates during freezing-drying (Beltrán et al., 2020). Another influential factor is the stirring speed during the precipitation process, which results in larger particles in the preparation of Pickering emulsions through anti-solvent precipitation (Cuthill et al., 2021).

#### 3.4.2. Optimized encapsulation thermal behavior

Zein, lyophilized IPC extract, and encapsulated IPC extract presented a predominant thermal event of weight loss when evaluated by

**Table 4**

Thermal properties of the optimal conditions for the encapsulation of the co-product extract of *I. paraguariensis* (IPC).

| Description      | Thermal Properties   |                       |                    |
|------------------|----------------------|-----------------------|--------------------|
|                  | T <sub>on</sub> [°C] | T <sub>end</sub> [°C] | D <sub>m</sub> [%] |
| Extract IPC      | 246.6                | 326.3                 | 52.2               |
| Zein             | 290.0                | 350.0                 | 68.1               |
| Encapsulated IPC | 294.0                | 357.5                 | 67.1               |

T<sub>on</sub>: Initial temperature; T<sub>end</sub>: Final temperature; D<sub>m</sub>: Weight Loss.

thermogravimetry (TG). Lyophilized IPC extract has thermal decomposition in 246,6 °C (T<sub>on</sub>) up to 326, 3 °C (T<sub>end</sub>), and consequent 52,2 % weight loss. The encapsulated IPC extract showed enhanced thermal stability evidenced by T<sub>on</sub> at 294 °C and T<sub>end</sub> at 357.5 °C, and weight loss of 67.1 %. Zein showed characteristic thermal event with T<sub>on</sub> at 290 °C and T<sub>end</sub> at 350 °C, with weight loss of 68.1 % (Table 4). Thus, it can be confirmed that the improved effect of thermal stability of IPC extract is due to encapsulation with zein. These results can be related to the %LC of 94 %, which demonstrates that interaction occurred between zein and the chlorogenic acids in the IPC extract. The thermal stability of encapsulated compounds is influenced by the encapsulation process, the compounds to be encapsulated and especially the carrier or encapsulating material used (Bodbodak et al., 2022; Nunes et al., 2015). The strong interaction between the phenolic compounds and the carrier system proteins may be responsible for the increased encapsulation efficiency and consequent thermal protection of the compounds

(Bodbodak et al., 2022). Therefore, the thermal protection of chlorogenic acids was proven by the 47 °C increase in thermal decomposition (T<sub>on</sub>) of the IPC extract after encapsulation (Table 4) and demonstrates that the anti-solvent precipitation of zein is effective in this optimized condition. The thermal stability of folic acid encapsulated in ultrafine zein fibers also increased from 47 to 57 °C after encapsulation, and when heated at 180 °C for 45 min, the concentration of folic acid reduced by ~9 % (Evangelho et al., 2019). The thermal stability of nanoparticles, increased by 13 % when produced with zein and octenyl succinate starch (Lai et al., 2021).

The thermal stability measured by thermogravimetric analysis assists in understanding the behavior of the compounds against thermal exposure, such as cooking and food baking. High thermal stability is desired when applying these encapsulated compounds to products that have undergone heating, such as cooking and baking.

### 3.4.3. Fourier Transform infrared spectroscopy (FTIR)

Zein, lyophilized and encapsulated IPC extract were analyzed by FTIR to verify the presence of functional groups and interactions between zein and chlorogenic acids present in IPC extract. All spectra showed characteristic bands in the region of 4000 cm<sup>-1</sup> - 800 cm<sup>-1</sup> (Fig. 1).

The FTIR spectrum of zein showed a band in the region of 3500 to 3000 cm<sup>-1</sup>, which refers to νO—H stretching overlapped by asymmetric and symmetric N—H and C—H stretching (3309 cm<sup>-1</sup> and 2954 cm<sup>-1</sup> corresponding to νN—H and C—H vibrations, respectively), related to the presence of free fatty acids present in zein (Evangelho et al., 2019).

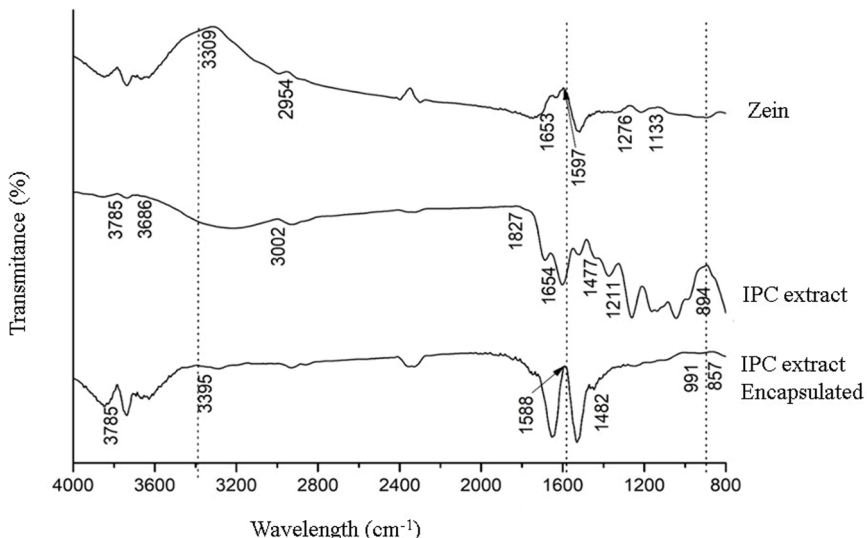


Fig. 1. Fourier Transform Infrared Spectrum (ATR-FTIR) of *I. paraguariensis* coproduct extract (IPC), zein and encapsulated IPC extract.

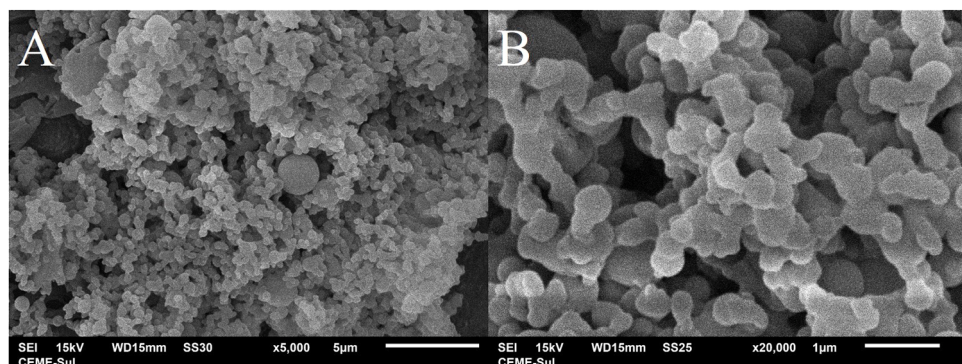


Fig. 2. Scanning electron microscopy (SEM) of encapsulated *I. paraguariensis* coproduct extract (IPC) (A: x5000 and B:x20000).

Also, the band  $1654\text{ cm}^{-1}$  corresponds to the elongation of C=O (amide I),  $1597\text{ cm}^{-1}$  to the elongation of C—N (amide II) and  $1276\text{--}1133\text{ cm}^{-1}$  to the elongation of N—H (amide III) characteristic of the acidic amines present in proteins.

The spectrum of the freeze-dried IPC extract shows bands at  $3000\text{--}3600\text{ cm}^{-1}$ , attributed to  $\nu\text{O-H}$ ,  $3000$  and  $2800\text{ cm}^{-1}$  elongation, which relates to symmetric and asymmetric vibrations of methyl and methylene groups, indicating metabolites such as caffeine in beverages and infusions (Paradkar & Irudayaraj, 2002; Pilatti-Riccio et al., 2019). The bands  $1800\text{--}1550\text{ cm}^{-1}$  assigned the C=C ester bands, which represents the aromatic group of compounds such as antioxidants and phenolic acids (Silva et al., 2014).

For IPC extract encapsulated with zein, the bands related in  $3309$  and  $1654\text{ cm}^{-1}$  were displaced to  $3395$  and  $1588\text{ cm}^{-1}$ , respectively. In addition, the intensity of these bands showed change in the encapsulated material, probably due to the reduction of the number of free functional groups (C—N and C=O groups) as a result of electrostatic interactions and hydrogen bonds, hydrophobic forces and electrostatic forces between zein and IPC extract (Chen et al., 2012; Davidov-Pardo et al., 2015; Luo et al., 2011). Zein can undergo conformational transformations from  $\alpha$ -helix to  $\beta$ -sheet structures after antisolvent by the changes in polarities and driving force (Lai et al., 2021). Resveratrol and proteins (zein and gliadin) can be physically bound to each other without any chemicals in nanoparticles (Wu et al., 2012). Given this, the region of dislocations could indicate the presence of hydrophobic attraction between the proteins and chlorogenic acids and confirm the encapsulation.

#### 4. Conclusions

This work presents a simple, fast and successful method of producing extract rich in chlorogenic acids from a commercially unexplored matrix (IPC). The IPC (0.58 g), when extracted with 75 % ethanol ( $82\text{ }^\circ\text{C}$  for 17 min in stirring) results in extract with high concentration of chlorogenic acids ( $10.16\text{ g }100\text{ g}^{-1}$ ). The mixture of IPC extract (15 mL) and zein (1.36 g) dripped ( $18.14\text{ mL h}^{-1}$ ) on water under stirring (4 rpm) results in encapsulated with 94 % efficiency and thermal stability of up to  $357.5\text{ }^\circ\text{C}$ . The combination of optimized processes encourages the development of foods supplemented with chlorogenic acids that require heat treatment. These results highlight that the use of IPC ensures the rational use of natural resources in the context of the circular economy.

#### Funding

ACKThis study was funded by Fundação de Amparo à Pesquisa do Estado do Rio Grande do Sul (FAPERGS) PQ Gaúcho 19/2551-0001637-9, Edital 05/2019. The author VZP thanks the Universidade Federal da Fronteira Sul (UFFS) for the financial support (PES-2022-0184).

#### CRediT authorship contribution statement

**Bruna Trindade Paim:** Methodology, Investigation, Formal analysis, Validation, Data curation, Writing – original draft, Writing – review & editing, Visualization. **Alexandra Lizandra Gomes Rosas:** Methodology, Formal analysis. **Alexandre Lorini:** Data curation, Writing – review & editing. **Vania Zanella Pinto:** Methodology, Investigation, Formal analysis, Validation, Writing – original draft, Writing – review & editing. **Gisele Louro Peres:** Methodology, Writing – review & editing, Formal analysis. **Elessandra da Rosa Zavareze:** Methodology, Formal analysis, Writing – review & editing. **Vanessa Galli:** Methodology, Investigation, Formal analysis, Validation, Writing – original draft, Writing – review & editing. **Helen Cristina dos Santos Hackbart:** Methodology, Formal analysis, Writing – review & editing. **Dianini Hüttner Kringsel:** Methodology, Formal analysis, Writing – review & editing. **Adriana Dillenburg Meinhart:** Conceptualization, Methodology, Validation, Investigation, Resources, Data curation, Writing –

original draft, Writing – review & editing, Visualization, Supervision, Project administration.

#### Declaration of Competing Interest

The authors declare no conflicts of interest with this publication, and there has been no significant financial support for this work that could have influenced its outcome.

#### Data availability

Data will be made available on request.

#### Acknowledgments

The authors thank the Machadinho city association, yerba mate producers (APROMATE) and Barão Trade and Yerba Mate Industry LTDA who kindly contributed by donating the samples of *I. paraguariensis*. We also would like to thank CEME-Sul at FURG for the support of SEM images.

#### Supplementary materials

Supplementary material associated with this article can be found, in the online version, at doi:[10.1016/j.foodcha.2023.100524](https://doi.org/10.1016/j.foodcha.2023.100524).

#### References

- Alves Filho, E. G., Sousa, V. M., Rodrigues, S., de Brito, E. S., & Fernandes, F. A. N. (2020). Green ultrasound-assisted extraction of chlorogenic acids from sweet potato peels and sonochemical hydrolysis of caffeoquinic acids derivatives. *Ultrasonics Sonochemistry*, 63, Article 104911. <https://doi.org/10.1016/j.ulsonch.2019.104911>. October 2019.
- Arrieta, M. P., Peponi, L., López, D., & Fernández-García, M. (2018). Recovery of yerba mate (*Ilex paraguariensis*) residu for the development of PLA-based bionanocomposite films. *Industrial Crops and Products*, 111, 317–328. [https://doi.org/10.1016/j.indrop.2017.10.042](https://doi.org/10.1016/j.indcrop.2017.10.042). June 2017.
- Beltrán, F. R., Arrieta, M. P., Gaspar, G., de la Orden, M. U., & Urreaga, J. M. (2020). Effect of lignocellulosic nanoparticles extracted from yerba mate (*Ilex paraguariensis*) on the structural, thermal, optical and barrier properties of mechanically recycled poly(lactic acid). *Polymers*, 12(8). <https://doi.org/10.3390/polym12081690>
- Bodboldak, S., Nejatian, M., Yazdi, A. P. G., Rousta, L. K., Zahra Rafiee, M. J. J., Kharazmi, M. S., et al. (2022). Improving the thermal stability of natural bioactive ingredients via encapsulation technology. *Critical Reviews in Food Science and Nutrition*, 1–23. <https://doi.org/10.1080/10408398.2022.2127145>
- Calliari, C. M., Campardelli, R., Pettinato, M., & Perego, P. (2020). Encapsulation of hibiscus sabdariffa extract into zein nanoparticles. *Chemical Engineering and Technology*, 43(10), 2062–2072. <https://doi.org/10.1002/ceat.202000194>
- Chacon, W. D. C., Verruck, S., Monteiro, A. R., & Valencia, G. A. (2023). The mechanism, biopolymers and active compounds for the production of nanoparticles by anti-solvent precipitation: A review. *Food Research International*, 168. <https://doi.org/10.1016/j.foodres.2023.112728>. September 2022.
- Chen, L., Liu, C. S., Chen, Q. Z., Wang, S., Xiong, Y. A., Jing, J., et al. (2017). Characterization, pharmacokinetics and tissue distribution of chlorogenic acid-loaded self-microemulsifying drug delivery system. *European Journal of Pharmaceutical Sciences*, 100, 102–108. <https://doi.org/10.1016/j.ejps.2017.01.011>
- Chen, Q., Guo, Z., Zhao, J., & Ouyang, Q. (2012). Comparisons of different regressions tools in measurement of antioxidant activity in green tea using near infrared spectroscopy. *Journal of Pharmaceutical and Biomedical Analysis*, 60, 92–97. <https://doi.org/10.1016/j.jpba.2011.10.020>
- Cuthill, H., Elleman, C., Curwen, T., & Wolf, B. (2021). Colloidal particles for pickering emulsion stabilization prepared via antisolvent precipitation of lignin-rich cocoa shell extract. *Foods*, 10(2). <https://doi.org/10.3390/foods10020371> (Basel, Switzerland).
- Dahmoune, F., Nayak, B., Moussi, K., Remini, H., & Madani, K. (2015). Optimization of microwave-assisted extraction of polyphenols from *Myrtus communis* L. leaves. *Food Chemistry*, 166, 585–595. <https://doi.org/10.1016/j.foodchem.2014.06.066>
- Davidov-Pardo, G., Joye, I. J., & McClements, D. J. (2015). Encapsulation of resveratrol in biopolymer particles produced using liquid antisolvent precipitation. Part 1: Preparation and characterization. *Food Hydrocolloids*, 45, 309–316. <https://doi.org/10.1016/j.foodhyd.2014.11.023>
- Derringer, G., & Suich, R. (1980). Simultaneous optimization of several response variables. *Journal of Quality Technology*, 12(4), 214–219. <https://doi.org/10.1080/00224065.1980.11980968>

- dos Santos, F. N., de Souza, E. J. D., Jéssica Siebeneichler, T., Buchveitz Pires, J., Hüttner Kringel, D., Dillenburg Meinhart, A., et al. (2022). Multivariate analysis as tool for optimization of anthocyanins extraction from jambolan (Syzygium cumini L.). *Food Analytical Methods*, 15(9), 2524–2536. <https://doi.org/10.1007/s12161-022-02313-3>
- Evangelho, J. A., Crizel, R. L., Chaves, F. C., Prietto, L., Pinto, V. Z., Miranda, M. Z.de, et al. (2019). Thermal and irradiation resistance of folic acid encapsulated in zein ultrafine fibers or nanocapsules produced by electrospinning and electrospraying. *Food Research International*, 124, 137–146. <https://doi.org/10.1016/j.foodres.2018.08.019>. August 2018.
- Filip, S., Pavlić, B., Vidović, S., Vladić, J., & Zeković, Z. (2017). Optimization of microwave-assisted extraction of polyphenolic compounds from ocimum basilicum by response surface methodology. *Food Analytical Methods*, 10(7), 2270–2280. <https://doi.org/10.1007/s12161-017-0792-7>
- IBGE. (2021). Produção da extração vegetal e silvicultura. Estatísticas. <https://www.ibge.gov.br/Estatisticas/Economicas/Agricultura-e-pecuaria/9105-producao-da-extra-cao-vegetal-e-da-silvicultura.html>.
- Jovanović, A. A., Vajić, U. J. V., Mijin, D. Z., Zdunić, G. M., Šavikin, K. P., Branković, S., et al. (2022). Polyphenol extraction in microwave reactor using by-product of Thymus serpyllum L. and biological potential of the extract. *Journal of Applied Research on Medicinal and Aromatic Plants*, 31. <https://doi.org/10.1016/j.jarmap.2022.100417>. July.
- Kasaai, M. R. (2018). Zein and zein-based nano-materials for food and nutrition applications: A review. *Trends in Food Science and Technology*, 79, 184–197. <https://doi.org/10.1016/j.tifs.2018.07.015>. October 2017.
- Kringel, D. H., da Silva, W. M. F., Biduski, B., Waller, S. B., Lim, L. T., Dias, A. R. G., et al. (2020). Free and encapsulated orange essential oil into a  $\beta$ -cyclodextrin inclusion complex and zein to delay fungal spoilage in cakes. *Journal of Food Processing and Preservation*, 44(5), 1–10. <https://doi.org/10.1111/jfpp.14411>
- Lai, C., Hu, L., Tu, J., Li, M., Cui, Q., & Wu, L. (2021). Effects of different alcohol and ultrasonic treatments on thermal and structural properties of zein-starch sodium octenyl succinate composite nanoparticles. *Journal of Food Science*, 86(8), 3574–3588. <https://doi.org/10.1111/1750-3841.15845>
- Li, Q., Xu, J., Shi, J., Chu, J., & Shi, Q. (2022). Preparation of pure ellagic acid from waste pomegranate peel by supramolecular solvent based heat assisted extraction followed by liquid-liquid liquid-liquid extraction and antisolvent precipitation. *Environmental Technology and Innovation*, 28, Article 102916. <https://doi.org/10.1016/j.eti.2022.102916>
- Li, Y., Ren, X., Lio, C., Sun, W., Lai, K., Liu, Y., et al. (2018). A chlorogenic acid-phospholipid complex ameliorates post-myocardial infarction inflammatory response mediated by mitochondrial reactive oxygen species in SAMP8 mice. *Pharmacological Research*, 130, 110–122. <https://doi.org/10.1016/j.phrs.2018.01.006>
- Liang, J., Yan, H., Wang, X., Zhou, Y., Gao, X., Puligundla, P., et al. (2017). Encapsulation of epigallocatechin gallate in zein/chitosan nanoparticles for controlled applications in food systems. *Food Chemistry*, 231, 19–24. <https://doi.org/10.1016/j.foodchem.2017.02.106>
- Lorini, A., Damin, F. M., de Oliveira, D. N., Crizel, R. L., Godoy, H. T., Galli, V., et al. (2021). Characterization and quantification of bioactive compounds from Ilex paraguariensis residue by HPLC-ESI-QTOF-MS from plants cultivated under different cultivation systems. *Journal of Food Science*, 86(5), 1599–1619. <https://doi.org/10.1111/1750-3841.15694>
- Lorini, A., Damin, F. M., de Oliveira, D. N., Ramires, T., Rombaldi, C. V., Zavareze, E., et al. (2022). Multivariate optimization results in an edible extract from Ilex paraguariensis unexplored residues with a high amount of phenolic compounds. *Journal of Environmental Science and Health - Part B Pesticides, Food Contaminants, and Agricultural Wastes*, 57(1), 23–38. <https://doi.org/10.1080/03601234.2021.2020530>
- Luo, Y., Li, Y. C., Meng, F. B., Wang, Z. W., Liu, D. Y., Chen, W. J., et al. (2023). Simultaneously enhanced stability and biological activities of chlorogenic acid by covalent grafting with soluble oat  $\beta$ -glucan. *Food Chemistry: X*, 17, Article 100546. <https://doi.org/10.1016/j.fochx.2022.100546>. October 2022.
- Luo, Y., Zhang, B., Whent, M., Yu, L. L., & Wang, Q. (2011). Colloids and Surfaces B : Biointerfaces Preparation and characterization of zein /chitosan complex for encapsulation of  $\alpha$ -tocopherol, and its in vitro controlled release study. *Colloids and Surfaces B: Biointerfaces*, 85(2), 145–152. <https://doi.org/10.1016/j.colsurfb.2011.02.020>
- Nallamuthu, I., Devi, A., & Khanum, F. (2015). Chlorogenic acid loaded chitosan nanoparticles with sustained release property, retained antioxidant activity and enhanced bioavailability. *Asian Journal of Pharmaceutical Sciences*, 10(3), 203–211. <https://doi.org/10.1016/j.ajps.2014.09.005>
- Nunes, G. L., Boaventura, B. C. B., Pinto, S. S., Verruck, S., Murakami, F. S., Prudêncio, E. S., et al. (2015). Microencapsulation of freeze concentrated Ilex paraguariensis extract by spray drying. *Journal of Food Engineering*, 151, 60–68. <https://doi.org/10.1016/j.jfoodeng.2014.10.031>
- Othman, N., Mili, N., & Wong, Y. M. (2011). Liquid-liquid extraction of black b dye from liquid waste solution using tridecylamine. In *Journal of Environmental Science and Technology* (Vol. 4, Issue 3), 324–331. <https://doi.org/10.3923/jest.2011.324.331>
- Paradkar, M. M., & Irudayaraj, J. (2002). A rapid FTIR spectroscopic method for estimation of caffeine in soft drinks and total methylxanthines in tea and coffee. *Journal of Food Science*, 67(7), 2507–2511. <https://doi.org/10.1111/j.1365-2621.2002.tb08767.x>
- Patil, A. S., Hegde, R., Gadad, A. P., Dandagi, P. M., Masareddy, R., & Bolmal, U. (2021). Exploring the solvent-anti-solvent method of nanosuspension for enhanced oral bioavailability of lovastatin. *Turkish Journal of Pharmaceutical Sciences*, 18(5), 541–549. <https://doi.org/10.4274/tjps.galenos.2020.65047>
- Pilatti-Riccio, D., Fernando, D., Dillenburg, A., Antonio, M., Cristina, H., & Zanella, V. (2019). Impact of the use of saccharides in the encapsulation of Ilex paraguariensis extract. *Food Research International*, 125, Article 108600. <https://doi.org/10.1016/j.foodres.2019.108600>. June.
- Pinto, V.Z., Pilatti-Riccio, D., Paim, B.T., Costa, L.D.V., Amorin, S.G.De, Dillenburg, A., & Meinhart. (2023). Ilex paraguariensis – green gold from South America. In T. Pillaia (ed.), *Phytochemistry and pharmacology of medicinal plants* (Vol. 1). Apple Academic Press.
- Rosário, F. M., Biduski, B., Santos, D. F. D., Hadlish, E. V., Tormen, L., Santos, G. H. F. D., et al. (2021). Red aracá pulp microencapsulation by hydrolyzed pinhão starch, and tara and arabic gums. *Journal of the Science of Food and Agriculture*, 101(5), 2052–2062. <https://doi.org/10.1002/jsfa.10825>
- Silva, S. D., Feliciano, R. P., Boas, L. V., & Bronze, M. R. (2014). Application of FTIR-ATR to Moscatel dessert wines for prediction of total phenolic and flavonoid contents and antioxidant capacity. *Food Chemistry*, 150, 489–493. <https://doi.org/10.1016/j.foodchem.2013.11.028>
- Silveira, T. F. F., Meinhart, A. D., de SOUZ, T. C. L., Cunha, E. C. E., de MORAES, M. R., Lorini, A., et al. (2021). Impact of water temperature of chimarrão on phenolic compounds extraction. *Food Science and Technology*, 41(4), 856–863. <https://doi.org/10.1590/fst.23720> (Brazil).
- Villar Blanco, L., González Sas, O., Sánchez, P. B., Domínguez Santiago, Á., & González de Prado, B. (2022). Congo red recovery from water using green extraction solvents. *Water Resources and Industry*, 27. <https://doi.org/10.1016/j.wri.2021.100170>. October 2021.
- Wong, J. J. L., Wong, A. I. C., Xu, Y., & Yuliarti, O. (2020). Zein as a water insoluble excipient for spray dry encapsulation of hydrophilic bioactives. *Journal of Food Engineering*, 283, Article 110054. <https://doi.org/10.1016/j.jfoodeng.2020.110054>. July 2019.
- Wu, Y., Luo, Y., & Wang, Q. (2012). Antioxidant and antimicrobial properties of essential oils encapsulated in zein nanoparticles prepared by liquid-liquid dispersion method. *LWT*, 48(2), 283–290. <https://doi.org/10.1016/j.lwt.2012.03.027>
- Yan, T., Wang, H., Song, X., Yan, T., Ding, Y., Luo, K., et al. (2022). Fabrication of apigenin nanoparticles using antisolvent crystallization technology: A comparison of supercritical antisolvent, ultrasonic-assisted liquid antisolvent, and high-pressure homogenization technologies. *International Journal of Pharmaceutics*, 624. <https://doi.org/10.1016/j.ijpharm.2022.121981>. July.

## **6 Capítulo 2 Artigo 2**

Submetido para Food Biophysics

### **O encapsulamento de ácidos clorogênicos de coproduto de *Ilex paragüaiensis* por “spray-drying” aumenta a estabilidade dos compostos em produtos forneados**

Bruna Trindade Paim<sup>1</sup>, Cristina Jansen-Alves<sup>1</sup>, Alexandra Lizandra Gomes Rosas<sup>1</sup>, Thamyres Cesar de Albuquerque Sousa<sup>1</sup>, Yasmin Völz Bezerra Massaut<sup>1</sup>, Vandressa Alves<sup>2</sup>, Gustavo Henrique Fidelis do Santos<sup>2</sup>, Vinícius Gonçalves Deon<sup>3</sup>, Vania Zanella Pinto<sup>2</sup>, Adriana Dillenburg Meinhart<sup>1\*</sup>

<sup>1</sup> Department of Food Science and Agrotechnology, Federal University of Pelotas (UFPEL), 96105-900, Pelotas, RS, Brazil

<sup>2</sup> Graduate Program of Food Science and Technology, Federal University of Federal da Fronteira Sul (UFFS), 85301-970, Laranjeiras do Sul, PR, Brazil

<sup>3</sup> Instituto Federal de Santa Catarina (IFSC), Campus Xanxerê, CEP 89820-000

## **Destaques**

O encapsulamento por spray-drying resultou em 75,2% de eficiência para os ácidos clorogênicos

A estabilidade térmica do extrato encapsulado foi ampliada em 41 °C

94% dos ácidos clorogênicos foram preservados no forneamento

O armazenamento por 12 meses não causou degradação nos compostos encapsulados

\* Autora correspondente: adrianadille@gmail.com

1      **Resumo**

2      O coproduto de *Ilex paraguariensis* (IPC) é pouco explorado comercialmente,  
3      sendo gerado 5 ton/há anualmente e possui alta concentração de ácidos  
4      clorogênicos. A sua preservação é necessária para aplicações diversas,  
5      especialmente os produtos de panificação. Objetivou-se otimizar as condições de  
6      encapsulamento por “spray-drying” do extrato obtido do IPC, com a finalidade de  
7      aumentar a estabilidade dos ácidos clorogênicos para aplicação em produtos  
8      forneados. Por meio de uma otimização multivariada foi encontrada a condição  
9      ótima de encapsulamento que resultou em 75% de eficiência de encapsulamento  
10     (%EE), 66.5 % de capacidade de carregamento (%LC), aumento de 40°C na  
11     estabilidade térmica e partículas com diâmetro médio de até 5 µm. Nos bolos  
12     formulados com o extrato de IPC encapsulado (IPCE), em média 94,4% dos ácidos  
13     clorogênicos foram preservados, ao passo que apenas 69,3% foram preservados  
14     nos bolos quando se utilizou extrato de IPC livre. Além disso, os ácidos  
15     clorogênicos presentes no IPCE apresentaram excelente estabilidade durante 12  
16     meses armazenados 4°C. O encapsulamento por “spray-drying” é rápido, com um  
17     excelente custo-benefício para a indústria alimentícia, além de preservar os ácidos  
18     clorogênicos durante pelo menos 1 ano, durante a estocagem, em condições que  
19     naturalmente sofreriam degradação. Tais resultados encorajam a aplicação dos  
20     encapsulados para aumentar a funcionalidade de alimentos e valorizar um produto  
21     natural ainda negligenciado comercialmente.

22

23     **Palavras-chave:** cafeoilquínicos, eficiência de encapsulamento, estabilidade  
24     térmica, produtos de panificação.

25

26     **1 Introdução**

27

28         As folhas de *Ilex paraguariensis*, árvore nativa da América do Sul, são  
29         matérias-primas para produção de erva-mate para chimarrão, tererê e chá mate,  
30         bebidas muito apreciadas na América do Sul (Fayad et al., 2020), além de alguns  
31         alimentos e cosméticos. No entanto, aproximadamente 5 ton/ha de talos grossos  
32         são descartados como resíduo no solo a cada colheita (Heck et al., 2021). Estes  
33         resíduos não possuem destino comercial até o momento e não são eficientes para  
34         a geração de energia (queima).

35         A parte externa destes talos grossos, aqui denominado como coproduto de  
36         *Ilex paraguariensis* (IPC), bem como as folhas, possuem elevada concentração de  
37         ácidos clorogênicos, sendo aproximadamente de 10 a 12%, em base seca (Lorini  
38         et al., 2022; Meinhart et al., 2017). Os principais isômeros de ácidos clorogênicos  
39         presentes em *I. paraguariensis* são o ácido 3-cafeoilquínico (3-CQA), o ácido 4-  
40         cafeoilquínico (4-CQA), o ácido 5-cafeoilquínico (5-CQA), o ácido 3,4-  
41         dicaffeoylquinico (3,4-DQA), o ácido 3,5-dicaffeoylquinico (3,5-DQA) e o ácido 4,5-  
42         dicapheoylquinico (4,5-DQA) (Lorini et al., 2021). Tais compostos tem sido cada  
43         vez mais associado aos efeitos benéficos do consumo de produtos contendo *I.*  
44         *paraguariensis*.

45         O consumo regular de bebidas à base de *I. paraguariensis* proporciona  
46         efeito anti-inflamatório e antioxidante (Kungel et al., 2018), redução da lipoproteína  
47         de baixa densidade (LDL), aumento da lipoproteína de alta densidade (HDL),  
48         modulação da microbiota (Yuan et al., 2019) e controle glicêmico, dentre outros  
49         (Petroselli et al. 2019). No entanto, os ácidos clorogênicos presentes nos extratos  
50         da planta são altamente suscetíveis à degradação quando na presença de  
51         oxigênio, luz, variações de pH e aquecimento, o que leva a busca por técnicas de  
52         proteção dos compostos (Paim et al., 2023).

53         O encapsulamento é uma técnica eficiente para melhorar a estabilidade  
54         desses compostos durante o seu processamento e armazenamento. A geleificação  
55         iônica empregando alginato de sódio como material encapsulante de extrato de *I.*  
56         *paraguariensis* resultou em micropartículas de 92 µm com 65% de eficiência de  
57         encapsulamento (%EE) (Vargas et al., 2021). Ainda, a secagem por “spray-drying”  
58         de extrato de *I. paraguariensis* utilizando quitosana reticulada com 1% de trifosfato  
59         de sódio pentabásico como carreador resultou em microesferas com %EE próxima

60 de 100% e estabilidade de 88% após 3 meses (Harris et al., 2011; Penalva et al.,  
61 2015; Wong et al., 2020). A secagem por “spray-drying” também foi utilizada para  
62 o encapsulamento de extrato aquoso de “green jelly leaf” (*Cyclea barbata* Miers)  
63 usando zeína como carreador e resultou entre ~50 and 70% de %EE (Wong et al.,  
64 2020).

65 Além disso, o uso de zeína, a principal proteína do milho (*Zea mays* L.),  
66 resultou na %EE de 94% dos ácidos clorogênicos de extrato de coproduto de *I.*  
67 *paraguariensis*, apesar da sua limitada capacidade de carregamento (LC) (<23%),  
68 quando precipitada em sistema antisolvante (Paim et al., 2023). Extrato de vitexin-  
69 rhamnoside nanoencapsulado com zeína-pectina (Huang, Li, and Li 2023) e  
70 curcumin encapsulada com zeína e e recoberta com dextrina sulfatada (Yuan et  
71 al., 2019) apresentaram elevada eficiência de encapsulamento. A zeína também  
72 foi empregada no encapsulamento, por “spray-drying”, de extrato aquoso rico em  
73 compostos fenólicos de casca de noz pecan e resultou em micropartículas com  
74 estabilidade até 200 °C (Kureck et al., 2018). A zeína também é aprovada para uso  
75 como ingrediente de grau alimentício pela Food and Drug Administration (FDA) e  
76 tem sido amplamente utilizada para desenvolver sistemas de encapsulamento com  
77 melhora da resistência à passagem no trato gastrointestinal e aumento da  
78 resistência à degradação térmica (Jiang & Zhu, 2019; Zhang et al., 2019). Além  
79 disso, os resultados indicam o potencial da zeína para encapsular compostos  
80 solúveis em água, sugerindo a sua aplicabilidade em produtos alimentares com  
81 elevado teor de água (Wong et al., 2020).

82 Desta forma, a nossa hipótese é de que o encapsulamento por “spray-  
83 drying” de extrato rico em ácidos clorogênicos, obtido de IPC, utilizando zeína  
84 como carreador, resultará em elevada %EE e %LC, bem como compostos estáveis  
85 tanto aplicados em produto de panificação forneado, utilizando-se bolo “pão de ló”  
86 como modelo de estudo, quanto durante o armazenamento. Assim, objetivou-se  
87 estudar as condições de “spray-drying” (vazão de alimentação, temperatura de  
88 entrada do ar e concentração de extrato na solução carreadora) de extrato rico em  
89 ácidos clorogênicos, por meio de otimização multivariada, seguido do estudo da  
90 estabilidade durante o armazenamento e quando aplicadas em bolos.

91

92

93

94       **2 Material e métodos**

95       **2.1 Reagentes**

96       Os solventes etanol (Neon, Suzano, Brasil), ácido tricloroacético e hexano  
97       (Dinâmica, Indaiatuba, Brazil) foram todos de grau PA. O ácido fórmico (Sigma-  
98       Aldrich, Darmstadt, Germany) e acetonitrila (Honeywell, Wabash, EUA) foram de  
99       grau HPLC. O padrão de ácido 3-caffeoilquinic foi obtido da Sigma Aldrich  
100      (Darmstadt, Germany). Os padrões de 4-caffeoylquinic, 5-caffeoylquinic, 3,4-  
101      dicaffeoylquinic, 3,5-dicaffeoylquinic and 4,5-dicaffeoylquinic were obtained from  
102      Biopurity (Chengdu, China). A água foi ultrapurificada em um sistema MegaPurity®  
103      (MecLab, Jacareí, Brasil).

104      Os padrões foram diluídos em metanol/água (50:50) (1 mg mL<sup>-1</sup>) e  
105      armazenado em ultrafreezer (-70 °C) por, no máximo, duas semanas. Todas as  
106      soluções e fases móveis foram filtradas utilizando membranas de nylon com  
107      porosidade de 0,22 µm (Analítica, São Paulo, Brazil).

108       **2.2 Obtenção do coproduto de *Ilex paraguariensis* e produção do extrato**

109      O resíduo da colheita de *Ilex paraguariensis* (cultivar Cambona 4) foi  
110      coletado em herval cultivado no sistema de pleno sol (Machadinho, RS, Brazil -  
111      27°32'35,5" S e 51°39'46,9" W), em 2021. Foram coletados trinta quilos de talos  
112      grossos (com espessura maior que 10 mm), que foram descartados durante a  
113      colheita de *I. paranguarisis*. A casca (epiderme) dos talos grossos foi separada da  
114      parte interna (côrte e medula) com faca comercial. A parte externa (coproduto de  
115      *I. paranguarisis* - IPC) foi seca em secador comercial de chás (Schifel, Erechim,  
116      Brasil), à 130°C, por cerca de 30 minutos, até atingir 5% de umidade, triturada até  
117      50 mesh e armazenada em sacos de polietileno (-20 °C).

118      Para o preparo do extrato foram pesados 9,6 g de IPC, adicionados de 250  
119      mL de etanol 75% (v/v) e agitados em banho-maria por 17 min à 82°C, seguindo o  
120      método otimizado (Paim et al., 2023). Por fim, o extrato foi filtrado em filtro tipo  
121      Whatmann, de porosidade média, e submetido ao encapsulamento.

122       **2.3 Otimização multivariada do encapsulamento por “spray-drying”**

123      A obtenção dos encapsulados foi otimizada empregando um planejamento  
124      multivariado composto central 2<sup>3</sup>, com pontos centrais (n=3) e axiais. O efeito da  
125      vazão de alimentação (5 a 30 mL/h), temperatura de entrada do ar (110 a 150°C)

128 e a concentração do extrato de IPC na solução carreadora de zeína (35 a 100%,  
129 v/v) foram otimizados, totalizando 17 ensaios (Tabela 1). Para tanto, alíquotas do  
130 extrato obtido foram coletadas quantitativamente (nos diferentes percentuais de  
131 IPC, conforme o delineamento) e tiveram seu volume aferido até 100 mL com  
132 etanol 75%. Em seguida, foram adicionados de 5% zeína, m/v e foram agitados  
133 em vórtex por 5 min. A solução foi seca em “spray-drier” (Computer Controlled  
134 Spray Drier, Edibon, Madrid, ESPAÑA), com a vazão de alimentação e temperatura  
135 de entrada do ar de acordo com o delineamento experimental. Os particulados  
136 coletados foram armazenados em frascos hermeticamente fechados e  
137 conservadas sob refrigeração (4°C) até o momento das análises.

138 As respostas avaliadas foram a eficiência de encapsulamento (%EE) dos  
139 seis isômeros de ácidos clorogênicos (3-CQA, 4-CQA, 5-CQA, 3,4-DQA, 3,5-DQA  
140 e 4,5-DQA, soma dos ácidos cafeoilquínicos – CQAs, soma dos ácidos  
141 dicafeoilquínicos – DQA e soma dos ácidos clorogênicos), a capacidade de  
142 carregamento (%LC), a estabilidade térmica e o tamanho de partícula.

143 Os resultados obtidos foram avaliados estatisticamente quanto aos ajustes  
144 e significância da regressão dos modelos matemáticos por Análise de Variância  
145 (ANOVA), com 95% de confiança para avaliar sua qualidade para a predição da  
146 condição ótima. Em seguida a condição ótima foi executada experimentalmente,  
147 em triplicata, e foi validada através do teste *t* (95% de confiança). Os dados foram  
148 tratados através dos softwares *Desing Expert* 6.0 (Menneapolis, EUA) e *Statistica*  
149 6.0 da StatSoft (Tulsa, EUA).

150

#### 151 **2.4 Estabilidade dos ácidos clorogênicos do extrato de IPC livre e IPC 152 encapsulado (IPCE) em produto forneado.**

153 Para produção dos bolos, os ingredientes secos (farinha de trigo, sal e  
154 açúcar cristal) foram previamente pesados, misturados e reservados. Os demais  
155 ingredientes (ovos, água e margarina) foram adicionados gradativamente a mistura  
156 dos ingredientes secos e misturados por 2,5 min em velocidade baixa utilizando  
157 batedeira planetária (Arno, SX15, Brazil). Na sequência, o extrato de IPC livre e o  
158 IPCE foram e misturados de manualmente por 30 segundos em diferentes  
159 concentrações (Tabela S2) ao final da homogeneização da massa. Por fim, o  
160 fermento em pó foi adicionado e misturado por 30 s, em baixa velocidade. A massa  
161 (30 g) foi distribuída em formas de alumínio de 4x7 cm (largura x comprimento),

162 untadas com margarina, e assada em forno elétrico (Prática, Industrial Miniconv,  
163 Brazil) pré-aquecido, por 10 min à 200 °C (Kringel et al., 2020). Os bolas foram  
164 resfriados por 30 min à temperatura ambiente (20°C ± 5), acondicionados em  
165 sacos de polipropileno e armazenados à -18°C até as análises.

166

## 167       **2.5 Métodos de análise: Caracterização do ICP, ICPE e bolas**

168

### 169       2.5.1 Análise de ácidos clorogênicos

170       A quantificação dos ácidos clorogênicos foi realizada através da  
171 cromatografia líquida de alta eficiência, com detector de arranjo de diodos (UFLC,  
172 Shimadzu, Japão) operando em 325 nm, equipado com injetor automático e bomba  
173 quaternária, coluna Zorbax eclipse plus C18 (Agilent, Technologies, Califórnia,  
174 EUA) de 2,1 mm de i.d., 100 mm de comprimento e 3,5 µm de tamanho de  
175 partícula, mantida sob temperatura de 35 °C, conforme método descrito por (Paim  
176 et al., 2023).

177       A fase móvel composta de A (água acidificada com 0,1% de ácido fórmico)  
178 e B (acetonitrila), em um sistema de eluição gradiente. A eluição do sistema inicial  
179 de fase móvel foi de 10% de B, com aumento linear até 20% de B em 5 min. Em 8  
180 min, foi aumentado até 40% de B. De 8,1 a 9,5 min, a composição foi de 100% de  
181 B para limpeza da coluna de 9,6 a 15 min. Então a coluna foi recondicionada com  
182 10% de B. A vazão da fase móvel foi mantida em 0,2 mL·min<sup>-1</sup> e o volume de  
183 injeção foi de 10 µL. A identificação dos ácidos clorogênicos foi realizada por  
184 comparação com padrão analítico através do tempo de retenção, espectro de  
185 absorção do DAD e por co-cromatografia.

186       O extrato livre de IPC foi diluído em água ultrapura, filtrado em membrana  
187 de nylon de porosidade de 0.22 µm e analisado. Para análise dos ácidos  
188 clorogênicos presentes na parte externa e na superfície de IPCE, foram pesados  
189 (100 mg) em tubos de centrífuga de 50 mL. Em seguida foi adicionado 10 mL de  
190 etanol: água (75:25) para rompimento dos IPCE, agitado em vórtex por 5 min,  
191 adicionado de 50 µL de ácido tricloroacético saturado, homogeneizado levemente  
192 e centrifugado durante 10 minutos em 5000 g, à 20 °C. O sobrenadante foi  
193 recolhido, filtrado em membrana de nylon de porosidade de 0.22 µm e submetido  
194 à análise. Para análise dos ácidos clorogênicos presentes na superfície dos IPCE  
195 (compostos não encapsulados), foram pesados (100 mg) em tubos de centrífuga

196 de 50 mL. Então, foi adicionado 10 mL de etanol: água (20:80) para lavagem da  
197 parte externa dos IPCE, agitado em vórtex por 5 min, adicionado de 50 µL de ácido  
198 tricloroacético saturado, homogeneizado levemente e centrifugadas durante 10  
199 minutos em 5000 g, à 20 °C. O sobrenadante foi recolhido, filtrado em membrana  
200 de nylon de porosidade de 0.22 µm e submetido à análise. Para análise do teor de  
201 ácidos clorogênicos presente em bolos assados, foram pesados (1 g) de amostra  
202 em tubos de centrífuga de 50 mL e adicionou-se 10 mL de etanol: água (75:25),  
203 seguido de agitação em vórtex por 5 min. Na sequência, foi adicionado 5 mL de  
204 hexano e 50 µL de ácido tricloroacético saturado à mistura, homogeneizado  
205 levemente e centrifugado durante 10 minutos a 5000 g, à 20 °C. A fração contendo  
206 etanol:água foi cuidadosamente coletada, filtrada em membrana de nylon de  
207 porosidade de 0.22 µm e submetida à análise cromatográfica.

208 Para a quantificação dos ácidos 3-CQA, 4-CQA, 5-CQA, 3,4-CQA, 3,5-DQA  
209 e 4,5-DQA foi utilizada a curva analítica do padrão 3-CQA. O método foi validado  
210 através dos parâmetros de limite de detecção, quantificação, linearidade, precisão  
211 no dia e entre dias, seguindo as orientações da International Union of Pure and  
212 Applied Chemistry (Thompson, Ellison, & Wood, 2002), e apresentou resultados  
213 adequados para as análises em questão.

214

## 215 2.5.2 Eficiência de Encapsulamento (%EE) e Capacidade de Carregamento (%LC)

216 A %EE foi calculada conforme a equação 1, considerando a concentração  
217 de cada ácido clorogênico (TC) e a concentração destes compostos na superfície  
218 do IPCE (S), corrigida pela massa seca dos encapsulados (Paim et al., 2023).

$$219 \%EE = \frac{TC - S}{TC} \times 100 \quad \text{Equação 1}$$

220

221 A %LC foi calculada pela razão entre a massa de ácidos clorogênicos  
222 presente nos IPCE (A) e a concentração de ácidos clorogênicos presentes no  
223 extrato livre de IPC submetido ao encapsulamento (B) utilizando a equação 2 (Paim  
224 et al., 2023).

$$225 \%LC = \frac{A}{B} \times 100 \quad \text{Equação 2}$$

## 226 2.5.3 Morfologia

227 Os IPCE foram suspensos em água destilada 1% (p/v) e mantidos em banho  
228 de ultrassom por 30 minutos. Uma fração foi retirada e depositada em um “stub” e  
229 seca em estufa por 2h a 30°C. A morfologia foi examinada utilizando um

230 microscópio eletrônico de varredura (VEGA3- TESCLAN ANALYTICS, Fuveau,  
231 França), sob tensão aceleradora de 5.9K. O diâmetro médio dos IPCE foi estimado  
232 a partir da medição de 50 partículas usando o software ImageJ (versão 2015,  
233 EUA).

234

#### 235 2.5.4 Estabilidade Térmica

236 A estabilidade térmica dos ácidos clorogênicos presentes no extrato de IPC  
237 e nos IPCE foi determinada utilizando Calorimetria Diferencial de Varredura (DSC)  
238 (Polyma 204, Netzch, Selb, Alemanha) (Paim et al., 2023). Aproximadamente 2 mg  
239 de cada amostra foi pesada diretamente em cadinhos de alumínio e seladas  
240 hermeticamente. As amostras foram aquecidas de 20 à 300 °C a 10 °C min<sup>-1</sup>, sob  
241 fluxo de N<sub>2</sub> a 40 mL min<sup>-1</sup>. Um cadinho vazio foi usado como referência. A  
242 temperatura de pico foi determinada pelo evento térmico máximo do termograma.

243 A análise de termogravimétrica (TGA) foi realizada na zeína em pó, no  
244 extrato livre de IPC e no IPCE da condição ótima experimental. Utilizou-se um  
245 analisador termogravimétrico (DTG 60, Shimadzu, Japão). As amostras (5-10 mg)  
246 foram aquecidas em cápsulas de platina entre 30 e 600°C, sob fluxo de N<sub>2</sub> a 50  
247 mL min<sup>-1</sup>, com taxa de aquecimento de 10°C min<sup>-1</sup> empregando uma cápsula de  
248 platina vazia como referência.

249

#### 250 2.5.5 Espectroscopia de infravermelho por transformada de Fourier com refletância 251 total atenuada (ATR-FTIR)

252 Os espectros da zeína em pó, do IPC e do IPCE da condição ótima  
253 experimental foram obtidos por espectroscopia de infravermelho com transformada  
254 de Fourier sob refletância total atenuada (ATR-FTIR) (IRTracer-100, Shimadzu  
255 Corp., Kyoto, Japão). Os espectros foram obtidos entre 4000–800 cm<sup>-1</sup> no modo  
256 de transmissão por 45 varreduras com resolução de 4 cm<sup>-1</sup>.

257

#### 258 2.6 Estabilidade dos ácidos clorogênicos encapsulados durante o armazenamento

259 O IPCE da condição ótima experimental foi armazenado a 4°C em frascos  
260 hermeticamente fechados e tiveram o teor de ácidos clorogênicos determinados  
261 logo após a produção (início), após 6 e 12 meses. Os seis isômeros de ácidos  
262 clorogênicos 3-CQA, 4-CQA, 5-CQA, 3,4-CQA, 3,5-DQA e 4,5-DQA foram  
263 quantificados por cromatografia líquida de alta eficiência conforme o método

264        descrito no item 2.5.1.

265

266

267 **3 Resultados e discussão**

268

269 **3.1 Otimização multivariada do encapsulamento**

270 The %EE, %LC dos seis isômeros de ácidos clorogênicos (3-CQA, 4-CQA,  
271 5-CQA, 3,4-DQA, 3,5-DQA e 4,5-DQA), a soma dos ácidos cafeoilquínicos –  
272 CQAs, ácidos dicafeoilquínicos – DQA e da soma total dos ácidos clorogênicos,  
273 assim como a estabilidade térmica e o tamanho dos IPCE, conforme otimização  
274 multivariada, estão apresentados nas Tabelas 1 e 2. Os modelos matemáticos que  
275 descrevem o comportamento das variáveis vazão de alimentação (5 a 30 mL/h),  
276 temperatura do ar de entrada (110 a 150 °C) e concentração do extrato na solução  
277 carreadora (35 a 100%, v/v) estão descritos na Tabela S1. Dos 20 modelos  
278 matemáticos, apenas 1 apresentou falta de ajuste significativa (%EE para o 3,5-  
279 DQA). O teste de falta de ajuste pode apresentar falsos resultados quando os  
280 desvios padrão relativos são muito baixos ou muito elevados, o que indica que não  
281 correspondem à realidade experimental. Quando o erro experimental é  
282 demasiadamente pequeno os resultados de falta de ajuste significativa são  
283 favorecidos, por outro lado, quando o erro experimental é demasiadamente  
284 grande, é favorecido o erro de ausência de falta de ajuste.

285 Nos dados apresentados nas tabelas 1 e 2 observamos que os desvios  
286 padrão relativos do ponto central do delineamento variaram entre 0,21 e 10,66%  
287 para %EE, %LC e estabilidade térmica. Estes desvios padrões são totalmente  
288 aceitáveis quando consideradas as inúmeras etapas entre o preparo do extrato de  
289 IPC, obtenção do IPCE e análise cromatográfica. O tamanho dos IPCE apresentou  
290 variação de 25,3%, que também é esperado, dada a robustez do processo. Essas  
291 variações experimentais são consistentes com os processos envolvidos. Dessa  
292 forma, pode-se dizer que a ausência de falta de ajuste não ocorreu por um falso  
293 resultado do teste. No entanto, com os graus de liberdade disponíveis nesse  
294 delineamento experimental, somente foi possível estabelecer regressões  
295 significativas (lineares ou quadráticas) para 5 modelos matemáticos (%EE para o  
296 3,4-DQA e para o 4,5 DQA, %LC para o 3,4-DQA, para o 3,5-DQA e para a soma  
297 dos DQAs). As demais variáveis dependentes poderiam ter modelos ajustados se  
298 houvessem mais graus de liberdade. Tendo em vista que poucos modelos  
299 descrevem as variáveis com qualidade matemática adequada, a equipe de

300 trabalho optou por não usar os modelos para predição, e optou pela inspeção dos  
301 resultados experimentais.

302 A %EE dos ácidos clorogênicos foi diferente entre os CQAs e DQAs (Tabela  
303 2). Os DQAs apresentaram %EE ~ 90%. Por outro lado, os CQAs apresentaram  
304 variação na %EE entre 31% e 62% (Tabela 1). Os CQAs, são compostos mais  
305 polares os DQAs, aspecto que possivelmente interfere na capacidade de interação  
306 com a zeína. A condição experimental que empregou vazão de alimentação 10,1  
307 mL/h, aliado à temperatura do ar de entrada de 141,9 °C e concentração de extrato  
308 reduzida (48,2%, v/v) foi a condição experimental (exp. 3, Tabela 1) que  
309 apresentou melhor %EE para o CQAs (62,4%).

310 Ainda, o uso de temperatura do ar de entrada intermediária e baixa (110 °C  
311 e 130 °C, respetivamente), condições experimentais 11, 15-17, reduziram a  
312 eficiência de encapsulamento da soma dos CQAs e soma total dos ácidos  
313 clorogênicos. A temperatura do ar de entrada no “spray drier” promove a remoção  
314 da água e do etanol presentes na mistura de extrato de IPC e a zeína, resultando  
315 em um pó seco. Com base nesse aspecto, temperaturas elevadas formam  
316 rapidamente uma camada semi-poroso na superfície das partículas, resultando da  
317 rápida difusão do solvente do interior para a superfície das partículas ((WANG et  
318 al., 2016). Desta forma, acredita-se que pode ter havido a co-difusão dos  
319 compostos com estrutura molecular menor com os solventes, resultando assim,  
320 em reduzida %EE.

321 Elevadas vazões de alimentação em processos que exijam maior  
322 produtividade também podem causar condensação das paredes ou partículas  
323 úmidas na câmara ou ciclone, devido ao aumento da viscosidade, aglomeração e  
324 umidade residual. Esta operação também pode resultar no depósito das partículas  
325 secas nas paredes do secador, o que leva à redução da recuperação de material  
326 particulado (Koker et al., 2014). Por outro lado, baixas vazões de alimentação  
327 resultam em maior condensação de água, aglomerando ou depositando partículas  
328 na câmara de secagem demandando maior tempo de secagem pela técnica de  
329 spray (Espejo-Carpio et al., 2023).

330 A elevada concentração do extrato (v/v) teve impacto negativo na eficiência  
331 de encapsulamento total dos compostos (condição experimental 14). A elevada  
332 concentração dos ácidos clorogênicos provavelmente excederam a capacidade  
333 carreadora da zeína e não foram aprisionados pela proteína. Ainda, é sugerido que

334 alguns compostos fenólicos presentes em extrato de *Sambucus nigra L.* resultaram  
335 em elevada adesão das partículas às paredes do spray drier, desfavorecendo o  
336 encapsulamento (Ribeiro & Esteivinho, 2019). A concentração de extrato de folha  
337 de amoreira encapsulada por spray-drying apresentou influência do material  
338 carreador, o que resultou em uma redução da capacidade de encapsulamento  
339 (Tchabo et al., 2019). Ainda, também houve diferente interação entre os CQAs e  
340 DQAs com a zeína, já que a %EE dos DQAs foi de 91,7%, enquanto a dos CQAs  
341 foi de 31,7% (condição experimental 14). Tal resultado corrobora com a hipótese  
342 de que os CQAs, pela alta polaridade, têm menor afinidade pela estrutura nucleada  
343 da zeína do que os DQAs. Visto que ambos são polares e estão em alta  
344 concentração, a maior afinidade química é dos DQAs (Tabela 1).

345 A %LC do extrato de IPC apresentou comportamento semelhante à %EE,  
346 notavelmente superior para os DQAs em relação aos CQAs. A soma de todos os  
347 isômeros apresentou % LC de 66% a 90% (Tabela 1). Esta elevada capacidade de  
348 carregamento é consequência do processo de spray-drying, o qual promove a  
349 evaporação do solvente com simultâneo aprisionamento dos ácidos clorogênicos.  
350 Os ácidos clorogênicos de extrato de IPC encapsulados por precipitação  
351 antisolvante com zeína apresentaram apenas 23% de %LC (Paim et al., 2023). Por  
352 outro lado, aproximadamente 99,1% de ácidos clorogênicos foram efetivamente  
353 incorporados em filmes de amido modificado por alta pressão hidrostática (ZHANG  
354 et al, 2024).

355 Assim, o método de obtenção de encapsulados para ser considerado uma  
356 boa ferramenta deve possuir como características elevadas %EE e %LC, notável  
357 estabilidade contra condições ambientais (armazenamento a longo prazo,  
358 temperatura, pH), boa biocompatibilidade, liberação controlada eficaz e  
359 bioacessibilidade aprimorada dos materiais principais (ZHANG et al., 2021). Desta  
360 forma, o uso de zeína como carreador de extrato de IPC rico em ácidos  
361 clorogênicos é eficiente quando se utiliza spray-drying para o seu encapsulamento.  
362

### 363       **3.2 Caracterização do extrato de IPC encapsulado (IPCE) por spray-drying.**

#### 364       **3.2.1 Morfologia**

365       Os IPCE apresentam-se na forma de aglomerado de partículas  
366 arredondadas com superfície lisa e regulares (Figura 2). A morfologia dos IPCE  
367 não foi influenciada pelas condições experimentais do delineamento multivariado

368 e todos os IPCE apresentaram partículas com tamanhos variados de até 5 µm  
369 (Tabela 2). A variação de tamanho das partículas é uma característica dos pós  
370 secos por spray-drying (Jansen-Alves et al., 2019). Ainda, partículas agregadas  
371 são frequentemente relatadas quando proteínas são utilizadas como material de  
372 parede para o encapsulamento de diferentes substâncias (Jansen-Alves et al.,  
373 2019; Nimbkar et al., 2023).

374 A vazão de alimentação afeta o tamanho das gotas atomizadas no spray  
375 drying, portanto, o tamanho das partículas secas (Elham et al., 2022). Ainda, a  
376 viscosidade elevada das soluções de proteína e de extrato a ser encapsulado  
377 tende a resultar na formação de partículas com superfícies lisas e pouco  
378 aglomeradas (Nimbkar et al. 2023). Por outro lado, nanopartículas de zeína com  
379 sulfato de condroita produzidas por precipitação antisolvante também exibiram  
380 estruturas esféricas regulares (Yuan et al., 2019). Isso sugere que a zeína contribui  
381 para a formação de partículas secas com superfície lisa e regulares.

382

### 383 3.2.2 Estabilidade térmica

384 A estabilidade térmica dos ácidos clorogênicos presentes nos IPCE foi  
385 verificada pela presença de apenas um evento endotérmico na análise de DSC,  
386 para todas as condições experimentais, o que forneceu a temperatura de fusão do  
387 material analisado (Tabela 2). Dentre as condições experimentais, a maior  
388 estabilidade térmica do IPCE (241-248 °C) foi verificada ao se empregar vazão de  
389 alimentação intermediária 17,5 mL/h (condições experimentais 12 e 13). Estas  
390 condições experimentais apresentaram %EE de 70-73% (Tabela 1). Por outro lado,  
391 quando a maior concentração de extrato de IPC foi adicionada à solução  
392 carreadora de zeína (100%) para produção do IPCE, a estabilidade térmica foi  
393 reduzida (155,9 °C), bem como a %EE (61,8%) (Tabela 1). Este comportamento  
394 leva a crer que há efeito protetor dos ácidos clorogênicos presentes no extrato de  
395 IPC, decorrente do uso da zeína como material carreador. Os IPCE,  
396 independentemente da condição experimental, apresentaram 59,8% de correlação  
397 entre a %EE (61%-79,1%) e a temperatura do pico endotérmico, a qual variou entre  
398 155 °C – 229,8 °C.

399 No entanto, uma pequena parte dos ácidos clorogênicos pode ter sofrido  
400 degradação pelas altas temperaturas empregadas no spray-drying para a completa  
401 secagem. A exposição a altas temperaturas durante o spray-drying pode resultar

402 em degradação térmica de compostos termolábeis (Oikonomopoulou et al., 2022)  
403 como vitaminas (Nimbkar et al., 2023) e compostos fenólicos (Jansen-Alves et al.,  
404 2019). Da mesma forma, o extrato de *Ilex paraguariensis* liofilizado apresentou pico  
405 endotérmico à 150,9 °C, e quando encapsulado com fructo-oligosacarídeos seu  
406 pico endotérmico foi deslocado para 201,6 °C, o que indica maior estabilidade  
407 térmica dos ácidos clorogênicos quando encapsulados (Pilatti-riccio et al., 2019).

408 Para elucidar este comportamento, avaliou-se por termogravimetria (TG) a  
409 zeína, o extrato de IPC liofilizado e o IPCE na condição experimental otimizada  
410 (exp. 5). As três amostras apresentaram um único evento térmico predominante  
411 de perda de massa (Tabela 3). O extrato liofilizado de IPC apresentou  
412 decomposição térmica entre 242,8 °C ( $T_{on}$ ) até 310,4 °C ( $T_{end}$ ), e consequente  
413 perda de massa de 67,6 %. A zeína apresentou perda de massa de 68,1% a 290  
414 °C ( $T_{on}$ ) e 350 °C ( $T_{end}$ ). O IPCE apresentou estabilidade térmica melhorada, com  
415  $T_{on}$  a 284 °C e  $T_{end}$  a 338,1 °C, e consequente perda de massa de 67,1% (Tabela  
416 3). Desta forma, a proteção dos ácidos clorogênicos do extrato de IPC pela zeína  
417 utilizando spray-drying para o encapsulamento aumentou ~ 41 °C.

418 Em nosso primeiro trabalho, a zeína foi utilizada para encapsulamento  
419 antisolvente de extrato de coproduto de *I. paraguariensis* com incremento da  
420 temperatura de encapsulamento de ~ 47°C (Paim et al., 2023). As microparticulas  
421 de zeína carregas com extrato aquoso de cascas de noz pecan apresentaram  
422 estabilidade térmica de até 200 °C e consequente liberação de compostos  
423 fenólicos 2,3 vezes superior que os extratos na sua forma aquosa (Kureck etal.,  
424 2018). Sugere-se que as principais interações entre a zeína e alguns ácidos  
425 fenólicos são as ligações de hidrogênio e as ligações iônicas, além de interações  
426 hidrofóbicas que induzem a um rearranjo da estrutura secundária da zeína (LIU et  
427 al, 2017). Assim, acredita-se que essas interações também contribuem para  
428 ampliar a estabilidade térmica dos ácidos clorogênicos quando encapsulados com  
429 essa proteína.

430

431 3.2.3 Espectroscopia de infravermelho por transformada de Fourier com refletância  
432 total atenuada (FTIR-ATR)

433 A zeína, o extrato de IPC liofilizado e o IPCE (10,1 mL/h vazão de  
434 alimentação, 118,1 °C temperatura do ar de entrada e 86,8% de extrato de IPC na  
435 solução carreadora) foram analisados por FTIR-ATR (Figura 1). A banda 3000-

436 3500 cm<sup>-1</sup>, relacionada à vibração de alongamento -OH da água ligada, é verificada  
437 na zeína, no extrato de IPC liofilizado e no IPCE, com sobreposição da banda em  
438 3300-3400 cm<sup>-1</sup> relacionada a ligação N–H na zeína, decorrente da presença de  
439 amida secundária (LIU et al., 2017). No espectro do IPCE a banda 3350-3250 cm<sup>-1</sup>  
440 está pronunciada, provavelmente relacionada ao estiramento N-H de amida  
441 secundária. As vibrações em 2994 e 2926 cm<sup>-1</sup> relacionadas ao estiramento C–H<sub>3</sub>  
442 foram verificadas na zeína e no extrato de IPC. No IPCE houve um deslocamento  
443 para 2941 cm<sup>-1</sup>, o que indica uma interação entre a zeína e o extrato de IPC (Figura  
444 1).

445 Além disso, as bandas em 1633 cm<sup>-1</sup>, 1679 cm<sup>-1</sup> e 1639 cm<sup>-1</sup> estão  
446 presentes na zeína, no extrato de IPC liofilizado e no IPCE, respectivamente, e  
447 correspondem ao estiramento C–O (Figura 1). As bandas em 1639 cm<sup>-1</sup>  
448 (alongamento C=O da amida I), 1598 cm<sup>-1</sup> (alongamento de C–N da amida II), 1256  
449 cm<sup>-1</sup> e 1133 cm<sup>-1</sup> (alongamento de N–H da amida II) são observados no extrato de  
450 IPC. Dentre estas bandas, apenas em 1633 cm<sup>-1</sup> é observada na zeína e apenas  
451 1639 cm<sup>-1</sup> no IPCE (Figura 1). Este comportamento é indicação de interações entre  
452 o extrato de IPC e os grupos amina da zeína. As bandas 1518 cm<sup>-1</sup> – 1512 cm<sup>-1</sup>  
453 estão presentes nos três espectros. As bandas 1653 cm<sup>-1</sup> e 1539 cm<sup>-1</sup> são  
454 descritas como características para proteínas, como a zeína (Yuan et al. 2019). Os  
455 extratos derivados de *I. paraguariensis* além dos ácidos clorogênicos apresentam  
456 concentrações de metilxantinas como teobromina e cafeína, os quais também são  
457 compostos nitrogenados (Meinhart et al., 2017).

458 As principais interações entre a zeína e os ácidos fenólicos são as ligações  
459 de hidrogênio e as ligações iônicas, além de interações hidrofóbicas que induzem  
460 a um rearranjo da estrutura secundária da zeína (LIU et al, 2019). Desta forma,  
461 outras bandas foram observadas no IPCE, em 1437 cm<sup>-1</sup> e 1236 cm<sup>-1</sup>, sugerindo  
462 que a presença de grupos metil presentes no extrato de IPC e a ligação C–O  
463 presente nos compostos fenólicos (Vargas et al., 2021).

464 Além disso, a ocorrência de interações eletrostáticas durante a  
465 complexação da zeína com a curcumina refletida pela mudança do comprimento  
466 de onda da banda da amida II de 1533 cm<sup>-1</sup> da zeína para 1514 cm<sup>-1</sup> nas  
467 nanopartículas carregadas com curcumina. As mudanças conformacionais na  
468 estrutura secundária de fibras eletrofiadas de zeína carregadas com óleo de peixe  
469 também promoveram a formação de estruturas secundárias em α-hélice da

470 proteína (MOOMAND; LIM, 2014).

471

472 3.3 Estabilidade do IPCE durante o armazenamento

473 O IPCE produzido na condição otimizada foi armazenado a 4 °C por 12  
474 meses. A concentração dos seis isômeros de ácidos clorogênicos (3-CQA, 4-CQA,  
475 5-CQA, 3,4-DQA, 3,5-DQA e 4,5-DQA) presentes no IPCE foram estatisticamente  
476 iguais (com 95% de confiança) quando analisados logo após a secagem e após 6  
477 e 12 meses de armazenamento. Este resultado evidencia que o processo de  
478 encapsulamento por spray-drying utilizando zeína como carreador protegeu os  
479 ácidos clorogênicos que normalmente degradam nessas condições, quando em  
480 solução aquosa ou com outro solvente orgânico.

481

482 **3.4 Aplicação de extrato de IPC livre e IPCE em bolos**

483 A adição de 6-21 mL de extrato de IPC livre em bolos resultou em 8,9 - 27,7  
484 mg de ácidos clorogênicos totais 100 g<sup>-1</sup> de bolo assado, enquanto a adição de  
485 0,5-1,75% de IPCE resultou em 7,6-26,5 mg 100g<sup>-1</sup>. Após o assamento, as  
486 concentrações de 5,1-21,9 mg de ácidos clorogênicos totais em 100 g<sup>-1</sup> de bolo  
487 assando foram verificadas com a adição de extrato de IPC livre e 6,5-26,8 mg 100  
488 g<sup>-1</sup> quando de 0,5-1,75% de IPCE foram incorporados aos bolos (Figura 3). Este  
489 comportamento apresentou variações entre cada isômero do ácido clorogênico,  
490 indicado diferentes estabilidade térmicas de cada composto (Tabela S3), e os  
491 resultados corroboram com a estabilidade térmica estudada por DSC (Tabela 2).

492 Os bolos com adição de extrato livre apresentaram um percentual de  
493 preservação dos ácidos clorogênicos totais após o forneamento de 59,6% a 79,5%  
494 (Tabela 4). A formulação com adição de 10 mL de extrato livre apresentou melhor  
495 desempenho preservando 70,9% dos ácidos clorogênicos totais quando  
496 comparada a quantidades superiores de extrato adicionadas, visto que a  
497 formulação com 21 mL de extrato livre preservou apenas 79,5%. Os bolos com  
498 adição de IPCE apresentaram percentual elevado de preservação dos ácidos  
499 clorogênicos totais após forneamento (Tabela 4), sendo superior a 82 %. A adição  
500 de 1,12%, 1,43% e 1,75% de IPCE resultou em ~100% de preservação do total de  
501 ácidos clorogênicos adicionados em cada formulação de bolo. Com isso podemos  
502 notar que o encapsulamento do extrato de IPC foi uma ótima forma de evitar a  
503 degradação dos compostos após forneamento, sendo uma alternativa para a

504 incorporação eficiente em produtos do tipo bolo e panificados no geral. Alguns dos  
505 ácidos clorogênicos apresentam preservação maior que 100%, o que indica  
506 prováveis isomerizações de posição dos ácidos cafeicos esterificados ao ácido  
507 quínico.

508 A eficiência de encapsulamento de curcumina e α-tocoferol para posterior  
509 aplicação em biscoitos, foi de 90,59% e 98,89%, respectivamente. Este  
510 encapsulamento foi capaz de manter 90% ad capacidade antioxidante dos  
511 compostos bioativos após o forneamento dos biscoitos (PAMUNUWA et al., 2023).  
512 Além disso, extrato de vassoura de açoqueiro (*Ruscus Hyrcanus L.*)  
513 nanoencapsulado com maltodextrina e goma Arabica foi incorporado em bolos e  
514 apresentou uma eficiência de encapsulamento maior que 80%. O extrato  
515 nanoencapsulado, após forneamento a 150 °C, foi capaz de evitar o  
516 desenvolvimento de bolores e leveduras por até 20 dias de armazenamento dos  
517 bolos. Além disso, o nanoencapsulamento foi capaz de reter a capacidade  
518 antioxidante dos compostos bioativos do extrato no bolo após o forneamento  
519 (MAHMOUDI et al., 2020)

520 A inclusão em bolos de extrato de própolis encapsulados com proteína de  
521 ervilha resultou em maior atividade antimicrobiana, quando comparados com a  
522 amostra de bolo utilizando o extrato de própolis livre. A eficiência de  
523 encapsulamento que variou de 49,40% a 97% permitiu que ~50% dos compostos  
524 fenólicos totais fossem reservados após o forneamento dos bolos, quando  
525 comparados ao extrato livre (Jansen-Alves et al. 2019).

526

## 527 **Conclusão**

528

529 O processo de encapsulamento de extrato rico em ácidos clorogênicos por  
530 spray-drying foi estudado, bem como a incorporação dos IPCE em produtos do tipo  
531 bolo. Nossos resultados revelaram que é possível obter 75,2% de eficiência de  
532 encapsulamento, 66% de eficiência de carregamento e estabilidade térmica 40 °C  
533 maior dos ácidos clorogênicos com o uso de zeína como material carreador, que o  
534 extrato de IPC na sua forma livre. Ao ser incorporado em bolos, o extrato  
535 encapsulado preservou 94,4% dos ácidos clorogênicos após forneamento, em  
536 detrimento à 69,3 % quando o extrato livre foi empregado. O IPCE obtido na  
537 condição ótima apresentou estabilidade dos ácidos clorogênicos durante 12

538 meses, sob refrigeração à 4°C, condição que naturalmente resultaria na  
539 degradação destes compostos funcionais. Só esse resultado, já evidencia o  
540 potencial do processo de encapsulamento otimizado. Mais que isso, os resultados  
541 indicam que o extrato obtido a partir de uma matriz natural totalmente  
542 negligenciada como o coproduto de *Ilex paraguariensis* pode ter seus compostos  
543 extraídos e preservados, o que permite a sua utilização em diversos alimentos,  
544 pela adição de compostos com propriedades promotoras de saúde, além de  
545 reaproveitar uma matéria-prima pouco utilizada e que seria descartada pela cadeia  
546 produtiva. Estudos futuros podem apresentar resultados promissores ao investigar  
547 a bioacessibilidade e biodigestibilidade dos compostos nas diferentes formas de  
548 adição em produtos panificados.

## **Financiamento e considerações éticas**

Este estudo foi financiado pela Fundação de Amparo à Pesquisa do Estado do Rio Grande do Sul (FAPERGS) PQ Gaúcho 19/2551-0001637-9, Edital 05/2019. Para a identificação botânica foi realizado depósito de amostra no herbário do Instituto de Biologia da Universidade Federal de Pelotas (26978). A pesquisa está cadastrada no Sistema Nacional de Gestão do Patrimônio Genético e do Conhecimento Tradicional Associado (A937529). A autora Vania Zanella Pinto agradece à Universidade Federal da Fronteira Sul (UFFS) pelo apoio financeiro (PES-2022-0184) e ao Conselho Nacional de Pesquisa (CNPq) pela bolsa de produtividade (303720/2022-0). Os autores agradecem ao Programa SisNANO, ao MCTI, ao CNPq pelo apoio financeiro e ao Laboratório Temático de Microscopia e Nanotecnologia (LTMN) do Instituto Nacional de Pesquisas da Amazônia (INPA). Os autores declaram que não há conflitos éticos para a publicação do trabalho.

## **Referências**

- Elham, S., Kalajahi, M., & Ghandiha, S. (2022). Optimization of spray-drying parameters for encapsulation of Nettle (*Urtica dioica L.*) extract. *LWT*, 158, 113149. <https://doi.org/10.1016/j.lwt.2022.113149>.
- Espejo-Carpio, F. J., Guadix, A., & Guadix, E. M. (2023). *Encapsulation of Bioactive Peptides by Spray-Drying and Electrospraying*.
- Fayad, E., El-Sawalhi, S., Azizi, L., Beyrouthy, M., & Abdel-Massih, R. M. (2020). Yerba Mate (*Ilex paraguariensis*), F. et al. A Comparative Study of Covalent and Non-Covalent Interactions between Zein and Polyphenols in Ethanol-Water Solution. *Food Hydrocolloids*, v. 63, p. 625–634, 2017. Disponível em: <<http://dx.doi.org/10.1016/j.foodhyd.2016.09.041>>.
- MAHMOUDI, L. et al. Ultrasonication and Encapsulation of Butcher Broom (*Ruscus Hyrcanus L.*) Extract and Its Bioactive Effects on Qualitative Properties, Oxidative Stability and Shelf Life of Cake. *Sustainable Chemistry and Pharmacy*, v. 17, n. July, p. 100295, 2020. Disponível em: <<https://doi.org/10.1016/j.scp.2020.100295>>.
- PAMUNUWA, G. K. et al. Effect of Liposomal Encapsulation of Curcumin and α-

Tocopherol on Sensory and Physicochemical Properties, and Retention of Antioxidant Capacity of Fortified Cookies during Baking. **Food Chemistry Advances**, v. 3, n. October, p. 100504, 2023. Disponível em: <<https://doi.org/10.1016/j.foodcha.2023.100504>>.

WANG, Y. et al. Micro-Encapsulation and Stabilization of DHA Containing Fish Oil in Protein-Based Emulsion through Mono-Disperse Droplet Spray Dryer. **Journal of Food Engineering**, v. 175, p. 74–84, 2016. Disponível em: <<http://dx.doi.org/10.1016/j.jfoodeng.2015.12.007>>.

ZHANG, Q. et al. Nanostructures of Protein-Polysaccharide Complexes or Conjugates for Encapsulation of Bioactive Compounds. **Trends in Food Science and Technology**, v. 109, n. January, p. 169–196, 2021. Disponível em: <<https://doi.org/10.1016/j.tifs.2021.01.026>>.

*iensis*) a potential food antibacterial agent and combination assays with different classes of antibiotics. *Lwt*, 125(January), 109267. <https://doi.org/10.1016/j.lwt.2020.109267>

Giraldo, C., & Diego, P. (2020). Effect of flaxseed (*Linum usitatissimum L.*) flour and yerba mate (*Ilex paraguariensis*) extract on physicochemical and sensory properties of a gluten free corn-based snack. *Journal of Food Science and Technology*. <https://doi.org/10.1007/s13197-020-04850-3>

Harris, R., Lecumberri, E., Mateos-Aparicio, I., Mengíbar, M., & Heras, A. (2011). Chitosan nanoparticles and microspheres for the encapsulation of natural antioxidants extracted from *Ilex paraguariensis*. *Carbohydrate Polymers*, 84(2), 803–806. <https://doi.org/10.1016/j.carbpol.2010.07.003>

Heck, R. T., da Rosa, J. L., Vendruscolo, R. G., Cichoski, A. J., Meinhart, A. D., Lorini, A., Paim, B. T., Galli, V., Robalo, S. S., Dos Santos, B. A., de Pellegrin, L. F. V., de Menezes, C. R., Wagner, R., & Campagnol, P. C. B. (2021). Lipid oxidation and sensory characterization of Omega-3 rich buffalo burgers enriched with chlorogenic acids from the mate (*Ilex paraguariensis*) tree harvesting residues. *Meat Science*, 179(February), 108534. <https://doi.org/10.1016/j.meatsci.2021.108534>

Huang, X., Li, T., & Li, S. (2023). Encapsulation of vitexin-rhamnoside based on zein/pectin nanoparticles improved its stability and bioavailability. *Current Research in Food Science*, 6(September 2022), 100419. <https://doi.org/10.1016/j.crfs.2022.100419>

- Jansen-Alves, C., Krumreich, F. D., Zandoná, G. P., Gularte, M. A., Borges, C. D., & Zambiasi, R. C. (2019). Production of Propolis Extract Microparticles with Concentrated Pea Protein for Application in Food. *Food and Bioprocess Technology*, 12(5), 729–740. <https://doi.org/10.1007/s11947-019-2246-2>
- Jiang, G. L., & Zhu, M. J. (2019). Preparation of astaxanthin-encapsulated complex with zein and oligochitosan and its application in food processing. *Lwt*, 106(February), 179–185. <https://doi.org/10.1016/j.lwt.2019.02.055>
- Koker, S. De, Fierens, K., Dierendonck, M., Rycke, R. De, Lambrecht, B. N., Grooten, J., Paul, J., & Geest, B. G. De. (2014). Nanoporous polyelectrolyte vaccine microcarriers. A formulation platform for enhancing humoral and cellular immune responses. *Journal of Controlled Release*, 195, 99–109. <https://doi.org/10.1016/j.jconrel.2014.07.043>
- Kringel, D. H., Max, W., Bárbara, S., Bressan, S., Lim, W. L., Renato, A., Dias, G., & Zavareze, R. (2020). Free and encapsulated orange essential oil into a  $\beta$ -cyclodextrin inclusion complex and zein to delay fungal spoilage in cakes. October 2019, 1–10. <https://doi.org/10.1111/jfpp.14411>
- Kungel, P. T. A. N., Correa, V. G., Corrêa, R. C. G., Peralta, R. A., Soković, M., Calhelha, R. C., Bracht, A., Ferreira, I. C. F. R., & Peralta, R. M. (2018). Antioxidant and antimicrobial activities of a purified polysaccharide from yerba mate (*Ilex paraguariensis*). *International Journal of Biological Macromolecules*, 114, 1161–1167. <https://doi.org/10.1016/j.ijbiomac.2018.04.020>
- Kureck, I., Policarpi, P. D. B., Toaldo, I. M., Vinícius, M., Brisola, D. O., & Block, J. M. (2018). Chemical Characterization and Release of Polyphenols from Pecan Nut Shell [*Carya illinoiensis* (Wangenh) C. Koch] in Zein Microparticles for Bioactive Applications. *Plant Foods for Human Nutrition* <https://doi.org/10.1007/s11130-018-0667-0>.
- López-córdoba, A., Deladino, L., Agudelo-mesa, L., & Martino, M. (2014). Yerba mate antioxidant powders obtained by co-crystallization: Stability during storage. 124, 158–165. <https://doi.org/10.1016/j.jfoodeng.2013.10.010>
- Lorini, A., Aranha, B. C., Antunes, B. da F., Otero, D. M., Jacques, A. C., & Zambiasi, R. C. (2021). Metabolic profile of olive leaves of different cultivars and collection times. *Food Chemistry*, 345(December 2020), 128758. <https://doi.org/10.1016/j.foodchem.2020.128758>
- Lorini, A., Damin, F. M., Oliveira, D. N. De, Rombaldi, C. V., Zavareze, E. R., Dias,

- Á. R. G., Godoy, H. T., Silva, W. P., Galli, V., Meinhart, A. D., Lorini, A., Damin, F. M., Oliveira, D. N. De, Ramires, T., Rombaldi, C. V, Zavareze, E. R., Dias, Á. R. G., Godoy, H. T., Wladimir, P., Meinharta, A. D. (2022). *Revista de Ciência Ambiental e Saúde, Parte B Pesticidas, Contaminantes de Alimentos e Resíduos Agrícolas*. <https://doi.org/10.1080/03601234.2021.2020530>
- Meinhart, A. D., Damin, F. M., Caldeirão, L., da Silveira, T. F. F., Filho, J. T., & Godoy, H. T. (2017). Chlorogenic acid isomer contents in 100 plants commercialized in Brazil. *Food Research International*, 99(March), 522–530. <https://doi.org/10.1016/j.foodres.2017.06.017>
- Nimbkar, S., Leena, M. M., Moses, J. A., & Anandharamakrishnan, C. (2023). Development of iron-vitamin multilayer encapsulates using 3 fluid nozzle spray-drying. *Food Chemistry*, 406(November 2022), 135035. <https://doi.org/10.1016/j.foodchem.2022.135035>
- Nooshkam, M., Varidi, M., & Bashash, M. (2019). The Maillard reaction products as food-born antioxidant and antibrowning agents in model and real food systems. *Food Chemistry*, 275(September 2018), 644–660. <https://doi.org/10.1016/j.foodchem.2018.09.083>
- Oikonomopoulou, V., Stramarkou, M., Plakida, A., & Krokida, M. (2022). Optimization of encapsulation of stevia glycosides through electrospraying and spray-drying. *Food Hydrocolloids*, 131(January), 107854. <https://doi.org/10.1016/j.foodhyd.2022.107854>
- Paim, B. T., Rosas, A. L. G., Lorini, A., Pinto, V. Z., Peres, G. L., Zavareze, E. da R., Galli, V., Hackbart, H. C. dos S., Krugel, D. H., & Meinhart, A. D. (2023). Exploring the potential of *Ilex paraguariensis* coproduct: High concentration of chlorogenic acids and enhanced thermal stability. *Food Chemistry Advances*, 3, 100524. <https://doi.org/10.1016/j.focha.2023.100524>
- Penalva, R., Esparza, I., Larraneta, E., González-Navarro, C. J., Gamazo, C., & Irache, J. M. (2015). Zein-Based Nanoparticles Improve the Oral Bioavailability of Resveratrol and Its Anti-inflammatory Effects in a Mouse Model of Endotoxic Shock. *Journal of Agricultural and Food Chemistry*, 63(23), 5603–5611. <https://doi.org/10.1021/jf505694e>
- Petroselli, G., Parapugna, T. L., Lagorio, M. G., & Erra-Balsells, R. (2019). MALDI- and LDI-MS saponin fingerprint of leaves and stick components of commercial yerba mate (*Ilex paraguariensis*). *Journal of Mass Spectrometry*, 54(2), 195–203.

<https://doi.org/10.1002/jms.4324>

Pilatti-riccio, D., Fernando, D., Dillenburg, A., Antonio, M., Cristina, H., & Zanella, V. (2019). Impact of the use of saccharides in the encapsulation of *Ilex paraguariensis* extract. *Food Research International*, 125(June), 108600. <https://doi.org/10.1016/j.foodres.2019.108600>

Ribeiro, A. M., & Estevinho, B. N. (2019). *Spray-drying Encapsulation of Elderberry Extract and Evaluating the Release and Stability of Phenolic Compounds in Encapsulated Powders*. 1381–1394.

Tchabo, W., Ma, Y., Kaptso, G. K., Kwaw, E., Cheno, R. W., Xiao, L., Osae, R., Wu, M., & Farooq, M. (2019). Process Analysis of Mulberry (*Morus alba*) Leaf Extract Encapsulation: Effects of Spray-drying Conditions on Bioactive Encapsulated Powder Quality. *Food and Bioprocess Technology*, 12(1), 122–146.

<https://doi.org/10.1007/s11947-018-2194-2>

Thompson, M., Ellison, S. L. R., & Wood, R. (2002). Harmonized guidelines for single - Laboratory validation of methods of analysis (IUPAC Technical Report). **Pure and Applied Chemistry**, 74(5), 835–855.

Vargas, B. K., Frota, E. G., Franco dos Santos, L., Gutkoski, J. P., Lopes, S. T., Bertol, C. D., & Bertolin, T. E. (2021). Yerba mate (*Ilex paraguariensis*) microparticles modulate antioxidant markers in the plasma and brains of rats. *Food Bioscience*, 41(March). <https://doi.org/10.1016/j.fbio.2021.100999>

Wong, J. J. L., Wong, A. I. C., Xu, Y., & Yuliarti, O. (2020). Zein as a water insoluble excipient for spray dry encapsulation of hydrophilic bioactives. *Journal of Food Engineering*, 283, 110054. <https://doi.org/10.1016/j.jfoodeng.2020.110054>

Yuan, Y., Li, H., Liu, C., Zhu, J., Xu, Y., Zhang, S., Fan, M., Zhang, D., Zhang, Y., Zhang, Z., & Wang, D. (2019). Fabrication of stable zein nanoparticles by chondroitin sulfate deposition based on antisolvent precipitation method. *International Journal of Biological Macromolecules*, 139, 30–39. <https://doi.org/10.1016/j.ijbiomac.2019.07.090>

Yuan, Y., Li, H., Zhu, J., Liu, C., Sun, X., Wang, D., & Xu, Y. (2020). Fabrication and characterization of zein nanoparticles by dextran sulfate coating as vehicles for delivery of curcumin. *International Journal of Biological Macromolecules*, 151, 1074–1083. <https://doi.org/10.1016/j.ijbiomac.2019.10.149>

Zhang, H., Fu, Y., Xu, Y., Niu, F., Li, Z., Ba, C., Jin, B., Chen, G., & Li, X. (2019). One-step assembly of zein/caseinate/alginate nanoparticles for encapsulation and

improved bioaccessibility of propolis. *Food and Function*, 10(2), 635–645.  
<https://doi.org/10.1039/c8fo01614c>

Tabela 1: Variáveis independentes e respostas obtidas no planejamento multivariado composto central para eficiência de encapsulamento dos ácidos clorogênicos do coproduto de *Ilex paraguariensis*

| Exp | Variáveis e Níveis Codificados <sup>(1)</sup> |           |          | Variáveis e Níveis Decodificados |                  |                 | Eficiência de Encapsulamento (%EE) <sup>(2)</sup> |             |             |             |             |             |             |           |             |
|-----|---|-----------|----------|----------------------------------|------------------|-----------------|---|-------------|-------------|-------------|-------------|-------------|-------------|-----------|-------------|
|     | A   | B         | C        | Vazão (mL/h)                     | Temperatura (°C) | Extrato (% v/v) | 5-CQA   | 3-CQA       | 4-CQA       | 3,4-DQA     | 3,5-DQA     | 4,5-DQA     | Sum CQA     | Sum DQA   | Total       |
| 1   | -1  | -1        | -1       | 10,1                             | 118,1            | 48,2            | 50,5  | 58,1        | 57,5        | 74,7        | 94,7        | 95,3        | 55,9        | 93,1      | 74,9        |
| 2   | 1   | -1        | -1       | 24,9                             | 118,1            | 48,2            | 49,3  | 56,8        | 55,5        | 79,6        | 88,4        | 90,5        | 54,5        | 88,6      | 71,6        |
| 3   | -1  | 1         | -1       | 10,1                             | 141,9            | 48,2            | 58,1  | 64,8        | 62,4        | 86,8        | 97          | 95,8        | 62,4        | 95,4      | 79,1        |
| 4   | 1   | 1         | -1       | 24,9                             | 141,9            | 48,2            | 45,3  | 54,3        | 51          | 79,2        | 96,7        | 95,6        | 51          | 94,4      | 72,9        |
| 5   | <b>-1</b>                                     | <b>-1</b> | <b>1</b> | <b>10,1</b>                      | <b>118,1</b>     | <b>86,8</b>     | <b>52,5</b>                                       | <b>60,1</b> | <b>57,9</b> | <b>86,1</b> | <b>94,4</b> | <b>93,1</b> | <b>57,5</b> | <b>93</b> | <b>75,2</b> |
| 6   | 1   | -1        | 1        | 24,9                             | 118,1            | 86,8            | 52,6  | 60,7        | 58,6        | 83,1        | 94,4        | 92,8        | 58          | 92,8      | 75,3        |
| 7   | -1  | 1         | 1        | 10,1                             | 141,9            | 86,8            | 35,4  | 43,4        | 40,5        | 88          | 98,2        | 92,1        | 40,5        | 94,2      | 67,7        |
| 8   | 1   | 1         | 1        | 24,9                             | 141,9            | 86,8            | 44,3  | 52,5        | 49,3        | 84,9        | 94,7        | 92,7        | 49,4        | 92,8      | 71          |
| 9   | -1,68   | 0         | 0        | 5                                | 130              | 67,5            | 33,1  | 41,2        | 37,4        | 86,1        | 98,5        | 91,1        | 38          | 93,7      | 66,1        |
| 10  | 1,68  | 0         | 0        | 30                               | 130              | 67,5            | 33,3  | 39,7        | 36,7        | 82,9        | 98,2        | 92,9        | 37,2        | 94,1      | 66          |
| 11  | 0   | -1,68     | 0        | 17,5                             | 110              | 67,5            | 35  | 40,7        | 38,2        | 83,2        | 98          | 92,1        | 38,5        | 93,7      | 66,3        |
| 12  | 0   | 1,68      | 0        | 17,5                             | 150              | 67,5            | 40,7  | 48,3        | 44,8        | 87          | 98,6        | 94,4        | 45,4        | 95,5      | 70,7        |
| 13  | 0   | 0         | -1,68    | 17,5                             | 130              | 35              | 45,9  | 52,6        | 49,4        | 78,9        | 98,8        | 96,2        | 50          | 95,5      | 73,2        |
| 14  | 0   | 0         | 1,68     | 17,5                             | 130              | 100             | 26,6  | 34,6        | 31          | 88,4        | 97,5        | 87,6        | 31,6        | 91,7      | 61,8        |
| 15  | 0   | 0         | 0        | 17,5                             | 130              | 67,5            | 34,6  | 42,6        | 39,8        | 86,6        | 98,2        | 92,2        | 39,8        | 94,1      | 67,1        |
| 16  | 0   | 0         | 0        | 17,5                             | 130              | 67,5            | 28,8  | 36,1        | 32,4        | 84,4        | 98,1        | 91,4        | 33,2        | 93,5      | 63,7        |
| 17  | 0   | 0         | 0        | 17,5                             | 130              | 67,5            | 34,1  | 41,5        | 38,4        | 84,4        | 98,5        | 93,3        | 38,7        | 94,7      | 67,2        |

(1) A: Vazão de alimentação (mL/h), B: Temperatura de atomização (°C) e C: % Extrato (v/v) na solução polimérica. (2) 5-CQA: ácido 5-cafeoilquínico; 3-CQA: ácido 3-cafeoilquínico; 4-CQA: ácido 4-cafeoilquínico; 3,4-DQA: ácido 3,4-dicafeoilquínico; 3,5-DQA: ácido 3,5-dicafeoilquínico; 4,5-DQA: ácido 4,5-dicafeoilquínico

Tabela 2: Variáveis independentes e respostas obtidas no planejamento multivariado composto central para eficiência de carregamento dos ácidos clorogênicos, estabilidade térmica e tamanho dos encapsulados do coproduto de *Ilex paraguariensis*

| Exp | Variáveis e Níveis Codificados <sup>(1)</sup> |           |          | Variáveis e Níveis Decodificados |                                    |                 | Capacidade de Carregamento (%LC) <sup>(2)</sup> |             |           |             |             |             |             |             | Tamanho ( $\mu\text{m}$ ) | Estabilidade térmica ( $^{\circ}\text{C}$ ) |              |
|-----|---|-----------|----------|----------------------------------|------------------------------------|-----------------|---|-------------|-----------|-------------|-------------|-------------|-------------|-------------|---------------------------|---|--------------|
|     | A   | B         | C        | Vazão (mL/h)                     | Temperatura ( $^{\circ}\text{C}$ ) | Extrato (% v/v) | 5-CQA   | 3-CQA       | 4-CQA     | 3,4-DQA     | 3,5-DQA     | 4,5-DQA     | Sum CQA     | Sum DQA     | Total                     |   |              |
| 1   | -1  | -1        | -1       | 10,1                             | 118,1                              | 48,2            | 79,3  | 74,8        | 77,6      | 100,3       | 81          | 83,6        | 76,7        | 84          | 79,8                      | 3,1   | 194,2        |
| 2   | 1   | -1        | -1       | 24,9                             | 118,1                              | 48,2            | 90,2  | 85,7        | 88        | 85,7        | 92,8        | 96,5        | 87,5        | 94          | 90,1                      | 3,8   | 229,5        |
| 3   | -1  | 1         | -1       | 10,1                             | 141,9                              | 48,2            | 77,2  | 73,8        | 75,9      | 94,4        | 78,9        | 83,6        | 75,3        | 82,6        | 78,3                      | 3,8   | 209,9        |
| 4   | 1   | 1         | -1       | 24,9                             | 141,9                              | 48,2            | 76,2  | 71,7        | 73,9      | 91,9        | 70,2        | 75,7        | 73,5        | 74,9        | 74,1                      | 4,2   | 225,1        |
| 5   | <b>-1</b>                                     | <b>-1</b> | <b>1</b> | <b>10,1</b>                      | <b>118,1</b>                       | <b>86,8</b>     | <b>66,3</b>                                     | <b>63,3</b> | <b>66</b> | <b>71,1</b> | <b>65,4</b> | <b>71,2</b> | <b>64,8</b> | <b>68,8</b> | <b>66,5</b>               | <b>3,7</b>                                  | <b>229,8</b> |
| 6   | 1   | -1        | 1        | 24,9                             | 118,1                              | 86,8            | 84,5  | 81,8        | 85,5      | 72,4        | 87,5        | 91,5        | 83,5        | 88,1        | 85,4                      | 4,0   | 190,8        |
| 7   | -1  | 1         | 1        | 10,1                             | 141,9                              | 86,8            | 78  | 73,7        | 77,5      | 73          | 68          | 77,7        | 75,8        | 73,2        | 74,7                      | 3,3   | 197,9        |
| 8   | 1   | 1         | 1        | 24,9                             | 141,9                              | 86,8            | 77,4  | 72,1        | 74,9      | 73,9        | 70,4        | 77,5        | 74,2        | 74,2        | 74,2                      | 3,1   | 216,9        |
| 9   | -1,68   | 0         | 0        | 5                                | 130                                | 67,5            | 91,7  | 86,4        | 88,4      | 83,8        | 78,9        | 87,5        | 88,3        | 83,6        | 86,4                      | 4,4   | 174          |
| 10  | 1,68  | 0         | 0        | 30                               | 130                                | 67,5            | 80,4  | 76          | 78,6      | 80,2        | 68,8        | 76,4        | 77,8        | 73,6        | 76,1                      | 4,7   | 187,8        |
| 11  | 0   | -1,68     | 0        | 17,5                             | 110                                | 67,5            | 89,9  | 84,5        | 86,8      | 85,5        | 77          | 85,4        | 86,5        | 81,9        | 84,6                      | 3,8   | 181          |
| 12  | 0   | 1,68      | 0        | 17,5                             | 150                                | 67,5            | 82,7  | 78,2        | 80,2      | 81,6        | 74,7        | 80,5        | 79,9        | 78,2        | 79,2                      | 3,2   | 248,6        |
| 13  | 0   | 0         | -1,68    | 17,5                             | 130                                | 35              | 91,6  | 86,5        | 88,7      | 94,3        | 85,6        | 91,1        | 88,4        | 89,1        | 88,7                      | 3,1   | 241,1        |
| 14  | 0   | 0         | 1,68     | 17,5                             | 130                                | 100             | 84,6  | 79,8        | 82,4      | 69,5        | 70,2        | 81          | 81,7        | 75,4        | 79,1                      | 5,0   | 155,9        |
| 15  | 0   | 0         | 0        | 17,5                             | 130                                | 67,5            | 89,4  | 85,7        | 88        | 85,1        | 77,6        | 86,9        | 87,3        | 82,9        | 85,5                      | 3,8   | 214,3        |
| 16  | 0   | 0         | 0        | 17,5                             | 130                                | 67,5            | 88,2  | 83,7        | 85,5      | 81,8        | 74,4        | 81,9        | 85,3        | 78,7        | 82,6                      | 3,0   | 179,8        |
| 17  | 0   | 0         | 0        | 17,5                             | 130                                | 67,5            | 77,1  | 72,5        | 74,8      | 77,2        | 67,6        | 73,3        | 74,3        | 71,3        | 73,1                      | 4,9   | 200,5        |

(1) A: Vazão de alimentação (mL/h), B: Temperatura de atomização e C: % Extrato (v/v) na solução polimérica. <sup>(2)</sup> 5-CQA: ácido 5-cafeoilquínico; 3-CQA: ácido 3-cafeoilquínico; 4-CQA: ácido 4-cafeoilquínico; 3,4-DQA: ácido 3,4-dicafeoilquínico; 3,5-DQA: ácido 3,5-dicafeoilquínico; 4,5-DQA: ácido 4,5-dicafeoilquínico

Tabela 3: Propriedades térmicas do extrato de coproduto de *Ilex paraguariensis* encapsulado (IPCE)

| Descrição      | Propriedades Termicas |                       |                    |
|----------------|-----------------------|-----------------------|--------------------|
|                | T <sub>on</sub> [°C]  | T <sub>end</sub> [°C] | D <sub>m</sub> [%] |
| Extrato de IPC | 242,8                 | 310,4                 | 67,6               |
| Zeína          | 290                   | 349                   | 68,1               |
| IPCE           | 284                   | 338,1                 | 67,1               |

T<sub>on</sub>: Temperatura Inicial; T<sub>end</sub>: Temperatura final; D<sub>m</sub>: Perda de massa

Tabela 4: Ácidos clorogênicos preservados em bolo adicionados de extrato do coproducto de *Ilex paraguariensis* (IPC) livre e IPCE em diferentes concentrações

| Compostos preservados (%) | Extrato de IPC (mL) |             |             |             |             |
|---------------------------|---------------------|-------------|-------------|-------------|-------------|
|                           | 6                   | 10          | 13          | 17          | 21          |
| 5-CQA                     | 43,3                | 53,5        | 58,9        | 52,6        | 57,8        |
| 3-CQA                     | 86,2                | 100         | 94,3        | 90,0        | 109,7       |
| 4-CQA                     | 38,6                | 48,8        | 47,5        | 45,4        | 55,3        |
| 3,4-DQA                   | 238,9               | 266,1       | 259,6       | 226,4       | 250,6       |
| 3,5-DQA                   | 34,4                | 41,8        | 46,0        | 45,9        | 56,7        |
| 4,5-DQA                   | 52,9                | 64,1        | 60,1        | 60,7        | 72,6        |
| Soma CQA                  | 61,8                | 73,5        | 72,2        | 68,0        | 81,2        |
| Soma DQA                  | 57,0                | 67,8        | 67,0        | 65,0        | 77,6        |
| <b>Total</b>              | <b>59,6</b>         | <b>70,9</b> | <b>69,8</b> | <b>66,6</b> | <b>79,5</b> |
| Concentração de IPCE (%)  |                     |             |             |             |             |
|                           | 0,5                 | 0,81        | 1,12        | 1,43        | 1,75        |
| 5-CQA                     | 75,2                | 84,5        | 97,6        | 96,0        | 95,4        |
| 3-CQA                     | 96,1                | 101,3       | 116,7       | 111,6       | 108,9       |
| 4-CQA                     | 104,7               | 110,6       | 128,9       | 129,4       | 127,2       |
| 3,4-DQA                   | 316,4               | 340,3       | 378,8       | 372,9       | 369,4       |
| 3,5-DQA                   | 41,7                | 48,6        | 65,6        | 62,5        | 65,6        |
| 4,5-DQA                   | 70,0                | 71,6        | 75,1        | 74,8        | 75,6        |
| Soma CQA                  | 92,0                | 98,3        | 113,6       | 110,2       | 108,2       |
| Soma DQA                  | 73,9                | 79,2        | 90,6        | 88,7        | 90,2        |
| <b>Total</b>              | <b>82,9</b>         | <b>88,7</b> | <b>102</b>  | <b>99,4</b> | <b>99,1</b> |

5-CQA: ácido 5-cafeoilquínico; 3-CQA: ácido 3-cafeoilquínico; 4-CQA: ácido 4-cafeoilquínico; 3,4-DQA: ácido 3,4-dicafeoilquínico; 3,5-DQA: ácido 3,5-dicafeoilquínico; 4,5-DQA: ácido 4,5-dicafeoilquínico

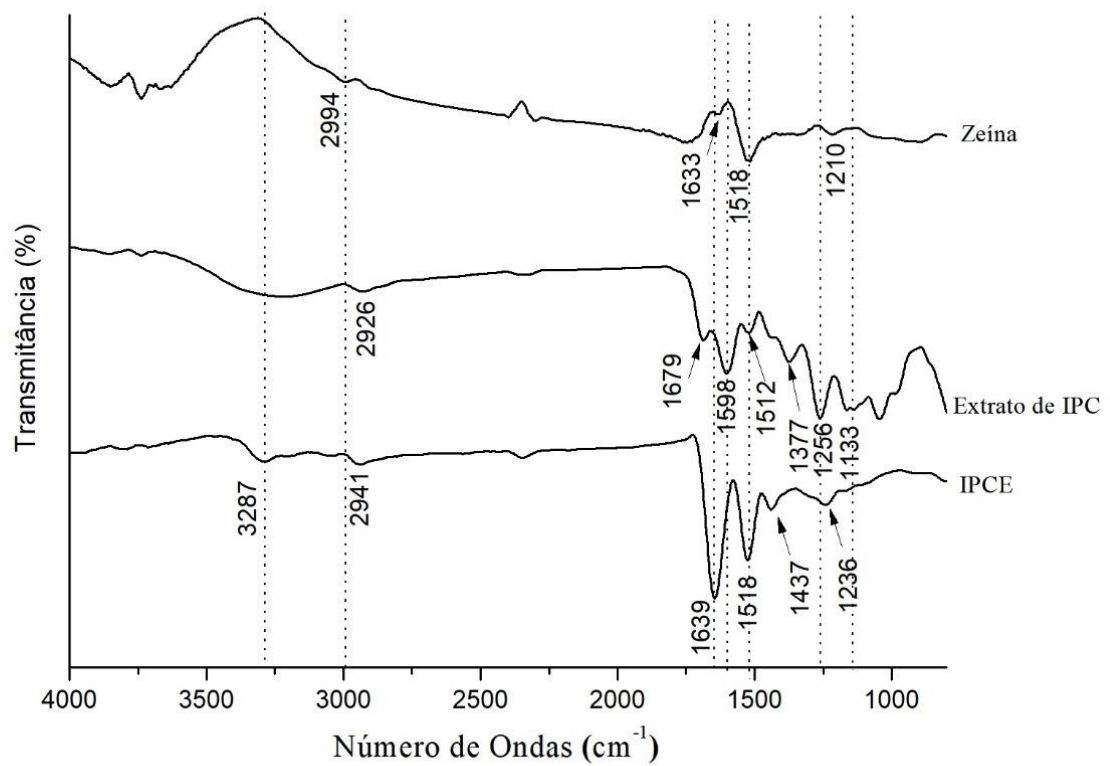


Figura 1: Espectroscopia de infravermelho com transformada de Fourier (FTIR) da zeína, extrato de co-produto de *Ilex paraguariensis* (IPC) liofilizado e do extrato de IPC encapsulado (IPCE).

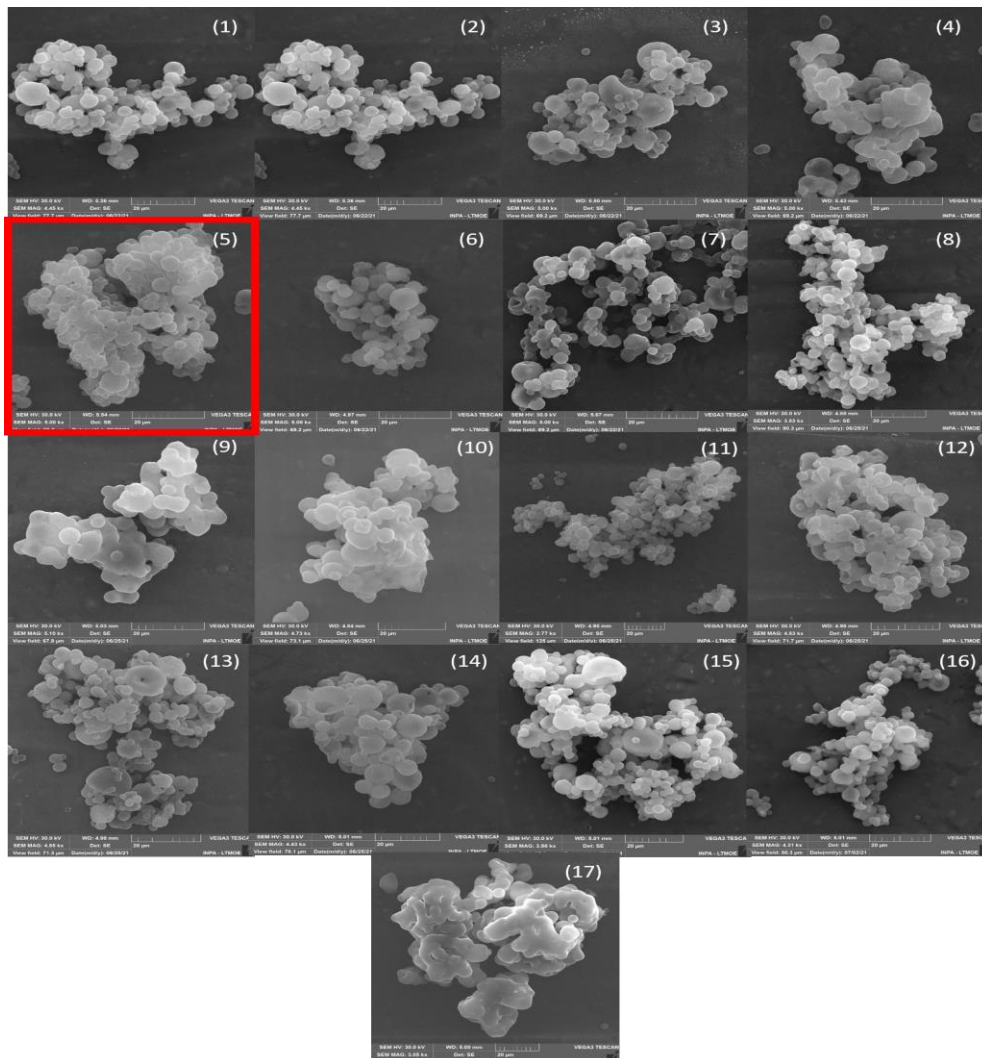


Figura 2: Micrografias obtidas por microscopia eletrônica de varredura (MEV) dos extratos de IPC encapsulados (IPCE) por spray-drying empregando planejamento multivariado. 1: Experimento 1; 2: Experimento 2; 3: Experimento 3; 4: Experimento 4; 5: Experimento 5; 6: Experimento 6; 7: Experimento 7; 8: Experimento 9; 10: Experimento 10; 11: Experimento 11; 12: Experimento 12; 13: Experimento 13; 14: Experimento 14; 15: Experimento 15; 16: Experimento 16; 17: Experimento 17. \*número da condição experimental referente ao planejamento.

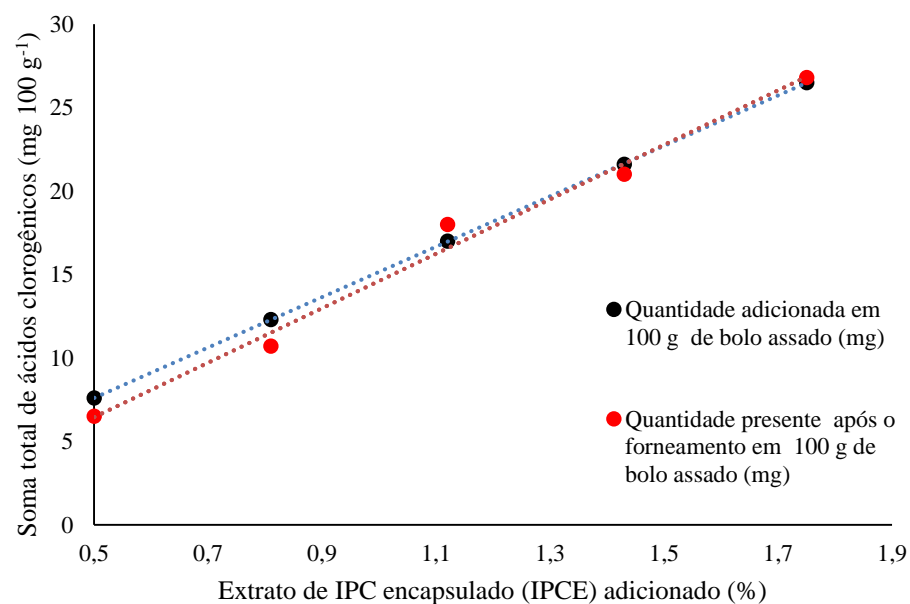
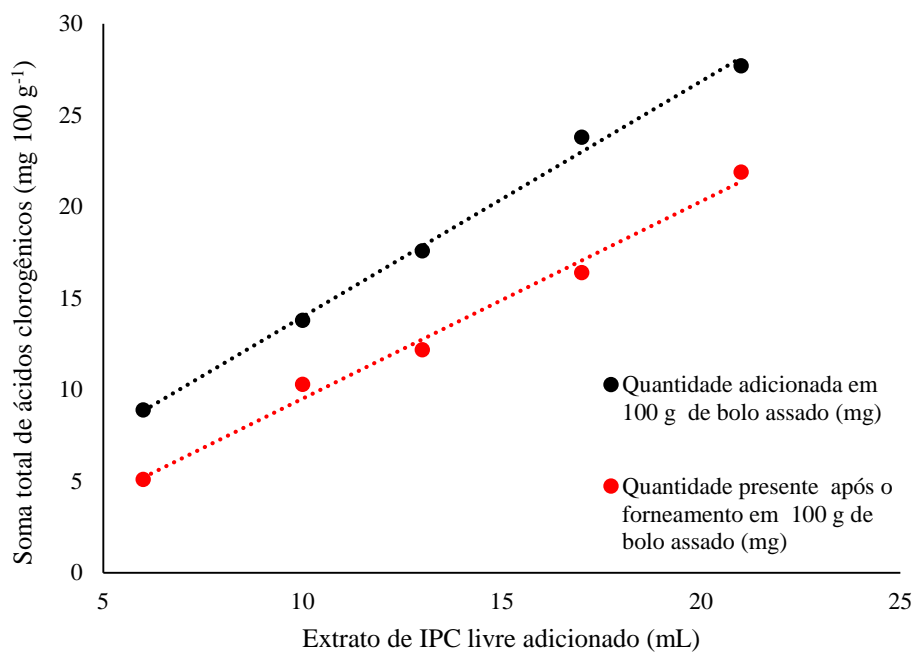


Figura 3: Soma dos isômeros de ácidos clorogênicos adicionados em bolo com extrato do coproducto de *Ilex paraguariensis* (*IPC*) livre e IPCE em diferentes concentrações

Material Suplementar

Tabela S 1: Validação dos modelos matemáticos obtidos no planejamento multivariado para o encapsulamento de coproduto de *Ilex paraguariensis*

| Resposta         | Compostos | Modelo | Coeficiente Significativo dos modelos (erro) |                |                 |   |                |                |                |    |    | Falta de Ajuste (F) | Significância da Regressão (F) |          |
|------------------|-----------|--------|--|----------------|-----------------|---|----------------|----------------|----------------|----|----|---------------------|--------------------------------|----------|
|                  |           |        | Intercept                                    | A              | B               | C | A <sup>2</sup> | B <sup>2</sup> | C <sup>2</sup> | AB | AC | BC                  |                                |          |
| Eficiência (%EE) | 5-CQA     | Mean   | 41,18<br>(2,27)                              |                |                 |   |                |                |                |    |    |                     | 9,57 (NS)                      |          |
|                  | 3-CQA     | Mean   | 48,71<br>(2,29)                              |                |                 |   |                |                |                |    |    |                     | 8,26 (NS)                      |          |
|                  | 4-CQA     | Mean   | 45,93<br>(2,42)                              |                |                 |   |                |                |                |    |    |                     | 7,24 (NS)                      |          |
|                  | 3,4-DQA   | Linear | 84,78<br>(0,57)                              | 1,60<br>(0,64) | 2,77<br>(0,64)  |   |                |                |                |    |    |                     | 3,86 (NS)                      | 9,31 (S) |
|                  | 3,5-DQA   | Mean   | 96,64<br>(0,64)                              |                |                 |   |                |                |                |    |    |                     | 186,19 (S)                     |          |
|                  | 4,5-DQA   | Linear | 92,89<br>(0,42)                              |                | -1,54<br>(0,47) |   |                |                |                |    |    |                     | 3,66 (NS)                      | 4,22 (S) |
|                  | Sum CQA   | Mean   | 45,98<br>(2,32)                              |                |                 |   |                |                |                |    |    |                     | 8,19 (NS)                      |          |
|                  | Sum DQA   | Mean   | 93,58<br>(0,40)                              |                |                 |   |                |                |                |    |    |                     | 8,53 (NS)                      |          |
|                  | Total     | Mean   | 69,99<br>(1,15)                              |                |                 |   |                |                |                |    |    |                     | 6,30 (NS)                      |          |

Tabela S1: Continuação...

| Resposta <sup>(1)</sup>   | Compostos <sup>(2)</sup> | Modelo           | Coeficiente Significativo dos modelos (erro) <sup>(3)</sup> |   |                 |   |                 |                |                |    | Falta de Ajuste (F) <sup>(4)</sup> | Significância da Regressão (F) <sup>(5)</sup> |           |           |
|---------------------------|--------------------------|------------------|---|---|-----------------|---|-----------------|----------------|----------------|----|------------------------------------|---|-----------|-----------|
|                           |                          |                  | Intercept   | A | B               | C | A <sup>2</sup>  | B <sup>2</sup> | C <sup>2</sup> | AB | AC                                 | BC  |           |           |
| Carregamento (%LC)        | 5-CQA                    | Mean             | 82,63<br>(1,70)   |   |                 |   |                 |                |                |    |                                    |   | 1,08 (NS) |           |
|                           | 3-CQA                    | Mean             | 78,25<br>(1,63)   |   |                 |   |                 |                |                |    |                                    |   | 0,88 (NS) |           |
|                           | 4-CQA                    | Mean             | 80,75<br>(1,60)   |   |                 |   |                 |                |                |    |                                    |   | 0,87 (NS) |           |
|                           | 3,4-DQA                  | Linear           | 82,45<br>(0,86)   |   | -9,06<br>(0,96) |   |                 |                |                |    |                                    |   | 0,75 (NS) | 30,84 (S) |
|                           | 3,5-DQA                  | 2Fl              | 75,82<br>(1,32)   |   | -4,21<br>(1,47) |   | -5,03<br>(1,92) |                |                |    |                                    |   | 1,16 (NS) | 3,73 (S)  |
|                           | 4,5-DQA                  | Mean             | 82,43<br>(1,67)   |   |                 |   |                 |                |                |    |                                    |   | 1,00 (NS) |           |
|                           | Sum CQA                  | Mean             | 80,05<br>(1,64)   |   |                 |   |                 |                |                |    |                                    |   | 0,92 (NS) |           |
|                           | Sum DQA                  | 2Fl              | 79,68<br>(1,17)   |   | -3,97<br>(1,31) |   | -4,50<br>(1,71) |                |                |    |                                    |   | 0,59 (NS) | 3,81 (S)  |
|                           | Total                    | Mean             | 79,91<br>(1,55)   |   |                 |   |                 |                |                |    |                                    |   | 0,96 (NS) |           |
| Estabilidade térmica (°C) | Mean                     | 204,54<br>(6,17) |   |   |                 |   |                 |                |                |    |                                    |   | 2,31 (NS) |           |
| Tamanho de partícula (μm) | Mean                     | 3,83<br>(0,16)   |   |   |                 |   |                 |                |                |    |                                    |   | 0,36 (NS) |           |

(1) EE: Eficiência de encapsulamento (EE), C: Capacidade de Carregamento (LC); (2) 5-CQA: ácido 5-cafeoilquínico, 3-CQA: ácido 3-cafeoilquínico, 4-CQA: ácido 4-cafeoilquínico, 3,4-DQA: ácido 3,4-dicafeoilquínico, 3,5-DQA: ácido 3,5-dicafeoilquínico, 4,5-DQA: ácido 4,5-dicafeoilquínico. (3) A: Fluxo de alimentação (mL/h), B: Temperatura de atomização e C: % Extrato (v/v) na solução polimérica; <sup>(4)</sup> NS quando o F crítico foi menor que o F<sub>cal</sub>; <sup>(5)</sup> (S) quando o F crítico foi maior que o F<sub>cal</sub>

Tabela S2: Percentual de ingredientes das formulações dos bolos controle, com adição do extrato de coproducto de *Ilex paraguariensis* encapsulado e extrato de coproducto de *Ilex Paraguariensis* não encapsulado

| Descrição               | Formulação | Extrato<br>(mL) | Concentração<br>IPCE (%) | Ingredientes (g) |         |        |     |     |           |          |
|-------------------------|------------|-----------------|--------------------------|------------------|---------|--------|-----|-----|-----------|----------|
|                         |            |                 |                          | Água             | Farinha | Açúcar | Sal | Ovo | Margarina | Fermento |
| Controle                | F 0        | -               | -                        | 40               | 100     | 90     | 1   | 41  | 11        | 5,2      |
|                         | F 1        | -               | 0,5                      | 40               | 99,5    | 90     | 1   | 41  | 11        | 5,2      |
| IPCE<br>encapsulado     | F 2        | -               | 0,81                     | 40               | 99,2    | 90     | 1   | 41  | 11        | 5,2      |
|                         | F 3        | -               | 1,12                     | 40               | 96,9    | 90     | 1   | 41  | 11        | 5,2      |
|                         | F 4        | -               | 1,43                     | 40               | 98,6    | 90     | 1   | 41  | 11        | 5,2      |
|                         | F 5        | -               | 1,75                     | 40               | 98,3    | 90     | 1   | 41  | 11        | 5,2      |
|                         | F 6        | 6               | -                        | 34               | 100     | 90     | 1   | 41  | 11        | 5,2      |
| IPCE não<br>encapsulado | F 7        | 10              | -                        | 30               | 100     | 90     | 1   | 41  | 11        | 5,2      |
|                         | F 8        | 13              | -                        | 27               | 100     | 90     | 1   | 41  | 11        | 5,2      |
|                         | F 9        | 17              | -                        | 23               | 100     | 90     | 1   | 41  | 11        | 5,2      |
|                         | F 10       | 21              | -                        | 19               | 100     | 90     | 1   | 41  | 11        | 5,2      |

Tabela S3: Ácidos clorogênicos presentes em bolo com extrato do coproduto de *Ilex paraguariensis* (IPC) livre e IPCE em diferentes concentrações.

| Descrição   | Formulação                    | Extrato de IPC (mL) | Concentração de IPCE (%) | Compostos (mg 100 g <sup>-1</sup> ) |       |       |         |         |         |          |          |
|---|-------------------------------|---------------------|--------------------------|-------------------------------------|-------|-------|---------|---------|---------|----------|----------|
|   |                               |                     |                          | 5-CQA                               | 3-CQA | 4-CQA | 3,4-DQA | 3,5-DQA | 4,5-DQA | Soma CQA | Soma DQA |
| Quantidade adicionada em 100 g de bolo assado (mg)                  | Bolo com extrato de IPC livre | 6                   | -                        | 1,3                                 | 2,2   | 1,2   | 0,3     | 1,7     | 2,1     | 4,8      | 4,1      |
|   |                               | 10                  | -                        | 2,1                                 | 3,4   | 1,9   | 0,4     | 2,6     | 3,3     | 7,4      | 6,4      |
|   |                               | 13                  | -                        | 2,6                                 | 4,4   | 2,5   | 0,5     | 3,3     | 4,3     | 9,5      | 8,1      |
|   |                               | 17                  | -                        | 3,6                                 | 5,9   | 3,3   | 0,7     | 4,5     | 5,7     | 12,8     | 11,0     |
|   |                               | 21                  | -                        | 4,1                                 | 6,9   | 3,9   | 0,8     | 5,3     | 6,7     | 14,8     | 12,9     |
|   | Bolo com IPCE                 | -                   | 0,5                      | 1,0                                 | 2,2   | 0,6   | 0,2     | 1,6     | 2,0     | 3,8      | 3,8      |
|   |                               | -                   | 0,81                     | 1,6                                 | 3,6   | 0,9   | 0,4     | 2,6     | 3,2     | 6,1      | 6,2      |
|   |                               | -                   | 1,12                     | 2,2                                 | 5,0   | 1,3   | 0,5     | 3,6     | 4,4     | 8,4      | 8,6      |
|   |                               | -                   | 1,43                     | 2,8                                 | 6,3   | 1,6   | 0,7     | 4,6     | 5,7     | 10,7     | 10,9     |
|   |                               | -                   | 1,75                     | 3,4                                 | 7,7   | 2,0   | 0,9     | 5,6     | 6,9     | 13,1     | 13,4     |
| Quantidade presente após o forneamento em 100 g de bolo assado (mg) | Bolo com extrato de IPC livre | 6                   | -                        | 0,6                                 | 1,8   | 0,5   | 0,6     | 0,6     | 1,1     | 2,9      | 2,3      |
|   |                               | 10                  | -                        | 1,2                                 | 3,6   | 1,0   | 1,2     | 1,1     | 2,2     | 5,8      | 4,5      |
|   |                               | 13                  | -                        | 1,6                                 | 4,1   | 1,2   | 1,3     | 1,5     | 2,6     | 6,8      | 5,5      |
|   |                               | 17                  | -                        | 2,0                                 | 5,5   | 1,6   | 1,6     | 2,2     | 3,6     | 9,1      | 7,3      |
|   |                               | 21                  | -                        | 2,4                                 | 7,5   | 2,1   | 2,1     | 3,0     | 4,8     | 12,0     | 9,9      |
|   | Bolo com IPCE                 | -                   | 0,5                      | 0,7                                 | 2,3   | 0,6   | 0,8     | 0,7     | 1,4     | 3,6      | 2,9      |
|   |                               | -                   | 0,81                     | 1,3                                 | 3,5   | 1,0   | 1,3     | 1,2     | 2,3     | 5,9      | 4,9      |
|   |                               | -                   | 1,12                     | 2,3                                 | 6,1   | 1,7   | 2,1     | 2,4     | 3,4     | 10,1     | 7,9      |
|   |                               | -                   | 1,43                     | 2,7                                 | 6,8   | 2,0   | 2,5     | 2,8     | 4,2     | 11,5     | 9,5      |
|   |                               | -                   | 1,75                     | 3,3                                 | 8,7   | 2,6   | 3,2     | 3,8     | 5,2     | 14,6     | 12,2     |

5-CQA: ácido 5-cafeoilquínico; 3-CQA: ácido 3-cafeoilquínico; 4-CQA: ácido 4-cafeoilquínico; 3,4-DQA: ácido 3,4-dicafeoilquínico; 3,5-DQA: ácido 3,5-dicafeoilquínico; 4,5-DQA: ácido 4,5-dicafeoilquínico

## **7 Considerações Finais**

O processo descrito, envolvendo extração seguida do encapsulamento por antissolvente, é promissor para a obtenção de partículas ricas em ácidos clorogênicos e pode ser empregado em vários produtos. Mediante a otimização da obtenção de um extrato, foi possível alcançar uma condição ótima de extração capaz de extrair 10,16 g de ácidos clorogênicos, resultando em um extrato eficiente para ser empregado em um método de encapsulamento.

O aumento da estabilidade térmica é uma resposta muito interessante para a etapa posterior de aplicação dessas partículas nos alimentos, representando uma vantagem para utilização em processos que necessitem de tratamento térmico durante seu preparo.

O processo de encapsulamento por spray-drying resultou em cápsulas com 75,2% de eficiência e uma estabilidade maior do que o extrato não encapsulado. Ao ser aplicado em bolos, o encapsulado preservou os ácidos em 94% após o forneamento. O processo de otimização do extrato encapsulado encoraja a utilização do CIP em produtos submetidos ao processo de forneamento, sendo viável a aplicação em bolos e até mesmo em outros produtos, tornando o alimento mais funcional.

Este estudo apresenta a extração dos ácidos clorogênicos do coproducto de *Ilex paraguariensis*, seu encapsulamento e apresenta aplicação, onde foi obtida a estabilidade térmica dos ácidos clorogênicos, o que gera perspectivas para futuras aplicações benéficas à saúde humana. Além dos métodos serem simples e rápidos, o emprego do coproducto prospecta o uso de uma matriz negligenciada até o momento para agregar renda a pequenos agricultores da América do Sul e gerar produtos funcionais.

## Referências Bibliográficas

- Andreotti, C., Ravaglia, D., Ragaini, A., & Costa, G. (2008). Phenolic compounds in peach (*Prunus persica*) cultivars at harvest and during fruit maturation. **Annals of Applied Biology**, 153(1), 11–23.  
<https://doi.org/10.1111/j.1744-7348.2008.00234.x>
- CLIFFORD, M. N. et al. Hierarchical scheme for LC-MSn identification of chlorogenic acids. **Journal of Agricultural and Food Chemistry**, v. 51, n. 10, p. 2900–2911, 2003.
- COELHO, S. C. et al. A New Approach to the Production of Zein Microstructures with Vitamin B12 , by Electrospinning and Spray Drying Techniques. v. 392, p. 47–57, 2021.
- CÓRDOBA, A. L.; DELADINO, L.; MARTINO, M. Release of Yerba Mate Antioxidants from Corn Starch-Alginate Capsules as Affected by Structure. **Carbohydrate Polymers**, v. 99, p. 150–157, 2014. Disponível em: <<http://dx.doi.org/10.1016/j.carbpol.2013.08.026>>.
- DELADINO, L.; NAVARRO, A. S.; MARTINO, M. N. Carrier Systems for Yerba Mate Extract (*Ilex Paraguariensis*) to Enrich Instant Soups. Release Mechanisms under Different PH Conditions. **LWT - Food Science and Technology**, v. 53, n. 1, p. 163–169, 2013. Disponível em: <<http://dx.doi.org/10.1016/j.lwt.2013.01.030>>.
- DILLENBURG, A. et al. LWT - Food Science and Technology Optimization of Frying Oil Composition Rich in Essential Fatty Acids by Mixture Design. v. 84, 2017.
- ELHAM, S.; KALAJAHI, M.; GHANDIHA, S. Optimization of Spray Drying Parameters for Encapsulation of Nettle (*Urtica Dioica L.*) Extract. **LWT**, v. 158, p. 113149, 2022. Disponível em: <<https://doi.org/10.1016/j.lwt.2022.113149>>.
- ESPEJO-CARPIO, F. J.; GUADIX, A.; GUADIX, E. M. Encapsulation of Bioactive Peptides by Spray-Drying and Electrospraying. 2023.
- FENOGLIO, D. et al. Active Food Additive Based on Encapsulated Yerba Mate (*Ilex Paraguariensis*) Extract: Effect of Drying Methods on the Oxidative

Stability of a Real Food Matrix (Mayonnaise). **Journal of Food Science and Technology**, v. 58, n. 4, p. 1574–1584, 2021.

FRANCIS, S. S. et al. Optimization of the Encapsulation Process of Cupuassu ( *Theobroma Grandiflorum* ) Pulp by Spray Drying as an Alternative for the Valorization of Amazonian Fruits. v. 184, n. June, 2023.

HUANG, X.; LI, T.; LI, S. Encapsulation of Vitexin-Rhamnoside Based on Zein/Pectin Nanoparticles Improved Its Stability and Bioavailability. **Current Research in Food Science**, v. 6, n. September 2022, p. 100419, 2023.

JIE, J. et al. Zein as a Water Insoluble Excipient for Spray Dry Encapsulation of Hydrophilic Bioactives. **Journal of Food Engineering**, v. 283, n. March, p. 110054, 2020. Disponível em: <<https://doi.org/10.1016/j.jfoodeng.2020.110054>>.

KALTBACH, P. et al. Mate ( *Ilex Paraguariensis* ) Tea Preparations : Understanding the Extraction of Volatile and Non-Volatile Compounds upon Variations of the Traditional Consecutive Infusions. **Food Chemistry**, v. 374, n. August 2021, p. 131756, 2022. Disponível em: <<https://doi.org/10.1016/j.foodchem.2021.131756>>.

KAMALI, L. et al. Trends in Food Science & Technology Use of Encapsulation Technology to Enrich and Fortify Bakery , Pasta , and Cereal-Based Products. **Trends in Food Science & Technology**, v. 118, n. PA, p. 688–710, 2021. Disponível em: <<https://doi.org/10.1016/j.tifs.2021.10.029>>.

KIM, S. Y. et al. Anti-Obesity Effects of Yerba Mate ( *Ilex Paraguariensis* ): A Randomized, Double-Blind, Placebo-Controlled Clinical Trial. **BMC Complementary and Alternative Medicine**, v. 15, n. 1, p. 1–8, 2015.

KURECK, I. et al. Chemical Characterization and Release of Polyphenols from Pecan Nut Shell [ *Carya Illinoiensis* ( Wangenh ) C . Koch ] in Zein Microparticles for Bioactive Applications. 2018.

LIU, F. et al. A Comparative Study of Covalent and Non-Covalent Interactions between Zein and Polyphenols in Ethanol-Water Solution. **Food Hydrocolloids**, v. 63, p. 625–634, 2017. Disponível em: <<http://dx.doi.org/10.1016/j.foodhyd.2016.09.041>>.

LIU, Q. et al. Fabrication of Curcumin-Loaded Zein Nanoparticles Stabilized by Sodium Caseinate / Sodium Alginate : Curcumin Solubility , Thermal Properties , Rheology , and Stability. **Process Biochemistry**, v. 94, n. March, p. 30–38, 2020. Disponível em: <<https://doi.org/10.1016/j.procbio.2020.03.017>>.

LOBO, R. R. et al. Inclusion of Yerba Mate (*Ilex Paraguariensis*) Extract in the Diet of Growing Lambs: Effects on Blood Parameters, Animal Performance, and Carcass Traits. **Animals**, v. 10, n. 6, p. 1–14, 2020.

LOPES, D. R.; SANTOS, L. O.; PRENTICE-HERNÁNDEZ, C. Antioxidant and Antibacterial Activity of a Beverage Obtained by Fermentation of Yerba-Maté (*Ilex Paraguariensis*) with Symbiotic Kombucha Culture. **Journal of Food Processing and Preservation**, v. 45, n. 2, p. 0–2, 2021.

LÓPEZ-CÓRDOBA, A. et al. Yerba Mate Antioxidant Powders Obtained by Co-Crystallization : Stability during Storage. v. 124, p. 158–165, 2014.

LORINI, A. et al. Multivariate Optimization Results in an Edible Extract from *Ilex Paraguariensis* Unexplored Residues with a High Amount of Phenolic Compounds. **Journal of Environmental Science and Health, Part B**, v. 0, n. 0, p. 1–16, 2022. Disponível em: <<https://doi.org/10.1080/03601234.2021.2020530>>.

MAHMOUDI, L. et al. Ultrasonication and Encapsulation of Butcher Broom (*Ruscus Hyrcanus* L.) Extract and Its Bioactive Effects on Qualitative Properties, Oxidative Stability and Shelf Life of Cake. **Sustainable Chemistry and Pharmacy**, v. 17, n. July, p. 100295, 2020. Disponível em: <<https://doi.org/10.1016/j.scp.2020.100295>>.

MERCADO, D. F. et al. Yerba Mate Applications: Magnetic Response of Powders and Colloids of Iron Oxide Nanoparticles Coated with *Ilex Paraguariensis* Derivatives. **Journal of Magnetism and Magnetic Materials**, v. 462, p. 13–21, 2018. Disponível em: <<https://doi.org/10.1016/j.jmmm.2018.04.048>>.

NIU, B. et al. Food Chemistry : X Co-Encapsulation of Chlorogenic Acid and Cinnamaldehyde Essential Oil in Pickering Emulsion Stablized by Chitosan

Nanoparticles. **Food Chemistry**: X, v. 14, n. February, p. 100312, 2022.

Disponível em: <<https://doi.org/10.1016/j.fochx.2022.100312>>.

NUNES, G. L. et al. Microencapsulation of Freeze Concentrated *Ilex Paraguariensis* Extract by Spray Drying. **Journal of Food Engineering**, v. 151, p. 60–68, 2015.

OIKONOMOPOULOU, V. et al. Optimization of Encapsulation of Stevia Glycosides through Electrospraying and Spray Drying. **Food Hydrocolloids**, v. 131, n. January, p. 107854, 2022.

PAMINUWA, G. K. et al. Effect of Liposomal Encapsulation of Curcumin and α-Tocopherol on Sensory and Physicochemical Properties, and Retention of Antioxidant Capacity of Fortified Cookies during Baking. **Food Chemistry Advances**, v. 3, n. October, p. 100504, 2023. Disponível em: <<https://doi.org/10.1016/j.focha.2023.100504>>.

PILATTI-RICCIO, D. et al. Impact of the Use of Saccharides in the Encapsulation of *Ilex Paraguariensis* Extract. **Food Research International**, v. 125, 2019.

PO, E. et al. Yerba Mate (*Ilex Paraguarensis*) as a Novel Feed Supplement for Growing Lambs. **Small Ruminant Research**, v. 106, n. 2–3, p. 131–136, 2012. Disponível em: <<http://dx.doi.org/10.1016/j.smallrumres.2012.05.016>>.

PRADO MARTIN, J. G. et al. Actividad Antimicrobiana de La Yerba Mate (*Ilex Paraguariensis* St. Hil.) Contra Patógenos Alimentarios. **Revista Argentina de Microbiología**, v. 45, n. 2, p. 93–98, 2013. Disponível em: <[http://dx.doi.org/10.1016/S0325-7541\(13\)70006-3](http://dx.doi.org/10.1016/S0325-7541(13)70006-3)>.

SHUKLA, R.; CHERYAN, M. Zein : The Industrial Protein from Corn. v. 13, p. 171–192, 2001.

STREIT, N. M. et al. Relation among Taste-Related Compounds (Phenolics and Caffeine) and Sensory Profile of Erva-Mate (*Ilex Paraguariensis*). **Food Chemistry**, v. 102, n. 3, p. 560–564, 2007.

TCHABO, W. et al. Process Analysis of Mulberry (*Morus Alba*) Leaf Extract Encapsulation: Effects of Spray Drying Conditions on Bioactive Encapsulated

Powder Quality. **Food and Bioprocess Technology**, v. 12, n. 1, p. 122–146, 2019.

WANG, Y. et al. Micro-Encapsulation and Stabilization of DHA Containing Fish Oil in Protein-Based Emulsion through Mono-Disperse Droplet Spray Dryer. **Journal of Food Engineering**, v. 175, p. 74–84, 2016. Disponível em: <<http://dx.doi.org/10.1016/j.jfoodeng.2015.12.007>>.

YUAN, Y. et al. Trends in Food Science & Technology Surface Coating of Zein Nanoparticles to Improve the Application of Bioactive Compounds : A Review. **Trends in Food Science & Technology**, v. 120, n. November 2021, p. 1–15, 2022. Disponível em: <<https://doi.org/10.1016/j.tifs.2021.12.025>>.

ZHANG, Q. et al. Nanostructures of Protein-Polysaccharide Complexes or Conjugates for Encapsulation of Bioactive Compounds. **Trends in Food Science and Technology**, v. 109, n. January, p. 169–196, 2021. Disponível em: <<https://doi.org/10.1016/j.tifs.2021.01.026>>.

Pagliosa, C. M., de Simas, K. N., Amboni, R. D. M. C., Murakami, A. N. N., Petkowicz, C. L. O., Medeiros, J. d. D., ... Amante, E. R. (2010). Characterization of the bark from residues from mate tree harvesting (*Ilex paraguariensis* St. Hil.). **Industrial Crops and Products**, 32(3), 428–433. <https://doi.org/10.1016/j.indcrop.2010.06.010>

Kringel, D.H.; da Silva, W.M.F.; Biduski, B.; Waller, S.B.; Lim, L.T.; Dias, A.R.G.; Zavareze, E.D.R. Free and encapsulated orange essential oil into a  $\beta$ -cyclodextrin inclusion complex and zein to delay fungal spoilage in cakes. **J. Food Process. Preserv.** 2020, 44, e14411.

Yoneyama, F., Fukao, M., Zendo, T., Nakayama, J., & Sonomoto, K. (2008). Biosynthetic characterization and biochemical features of the third natural nisin variant, nisin Q, produced by *Lactococcus lactis* 61-14. **Journal of Applied Microbiology**, 105(6), 1982–1990. <https://doi.org/10.1111/j.1365-2672.2008.03958.x>.